

# re radioelektronik

**3 '85**

miesięcznik  
elektroników  
radioamatorów  
i krótkofalowców

WYDAWNICTWO 'NOT'  SIGMA



Ogłoszenia drobne (do 50 słów) w cenie 30 zł za słowo przyjmuje Dział Ogłoszeń i Reklamy WCIKT SIGMA, ul. Bartycka 30 00-716 Warszawa, tel. 40-30-89 od 9-15. Za treść ogłoszeń redakcja nie odpowiada



## COLOR TEST

Jest lokalizatorem uszkodzeń przeznaczonym do odbiorników czarno-białych i kolorowych systemu SECAM oraz odbiorników radiowych i wzmacniaczy mcz. Mogą się nim posługiwać zarówno profesjonalści jak i amatorzy.

Sygnał z COLOR-TESTU przyłożony do w.cz., p.cz. i detektorów AM/FM w OTV daje fonię oraz wizję w postaci 12 pasów poziomych.

W OTVC pasy poziome są czarno-czerwone lub czarno-niebieskie, także z wejścia dekodera.

W OR i wzmacniaczach mcz., także hi-fi, daje z każdego punktu sygnał fonii.

## Dane techniczne

Częstotliwość regulowana 3,7...5,4 MHz  
 Użytkowe harmoniczne: 650 Hz...500 MHz  
 Poziom wyjściowy: 2 V/75 Ω  
 Wymiary: 97x3 cm  
 Zasilanie: 4,5 V/30 mA  
 Wyposażenie: przewody, instrukcja, schemat.  
 Cena w 1985 r. 2000 zł

## Poza tym POLECAMY

FONO-TEST generator radiowy sygnału fonii. Użytkowe harmoniczne od 1 kHz do 30 MHz

Cena w 1985 r. 950 zł

GTV-0/2 do regulacji obrazu w OTVC, dający w całym III paśmie TV testy; kraty, kropek, gradacji, bieli, tła

Cena w 1985 r. 14 000 zł

Przepraszamy za opóźnienia w realizacji wersji GTV-0/2C z koderem oraz samego kodera KS-1

Przyrządy wykonujemy na zamówienie. Wysyłka pocztą. Płatne przy odbiorze. W przypadku niezrealizowania zamówienia w terminie 30 dni, wysyłamy informację, także w razie zmiany ceny. Roczna gwarancja. Instrukcja obsługi.

## ELTEST

81-605 Gdynia skr. poczt. 89  
 ul. Słoneczna 64, tel. 24-39-96

## Radioelektronik



MARZEC 1985 • ROCZNIK XXXVI (70)

3'85

Z KRAJÓW I ZE ŚWIATA	1
ELEKTROAKUSTYKA	
Moc zestawów głośnikowych	3
MIERNICTWO	
Scalony przetwornik napięcie-częstotliwość typu AD 537 w zastosowaniach	5
Przetworniki analogowo-cyfrowe (3)	8
KLUB MŁODYCH ELEKTRONIKÓW	
Regulator częstotliwości pracy wycieraczek	11
ELEKTRONIKA W DOMU	
Programowany zegar do ciemni fotograficznej	14
SCHEMATY	
Kasetowe odtwarzacze samochodowe P211 i PS212	15
PODZESPÓŁY ELEKTRONICZNE	
Dane techniczne elementów półprzewodnikowych produkowanych w CEMI (11) - Układy scalone	17
TECHNIKA I RYT	
Precyzyjny wskaźnik tunera FM	22
URZĄDZENIA ZASILAJĄCE	
Akumulatory zasadowe szczelnie zamknięte	23
ROŻNE	
Leksykon techniki hi-fi i wideo (11)	25
KRÓTKOPALOWISĆ POLSKI	27
35-lecie działalności wydawniczej Wydawnictwa Czasopism i Książek Technicznych SIGMA	30
26 Międzynarodowe Targi Maszynowe w Brnie	30

Adres redakcji: ul. Nowowiejska 1, 00-643 Warszawa. Tel. 25-29-85

KOLEGIUM REDAKCYJNE: red. nac. - prof. dr inż. Andrzej Sowiński, z-ca red. nac. - inż. Janusz Justat, sekr. red. - Eugenia Grudzińska, redaktorzy działów: inż. Zenon Budynek, mgr inż. Tadeusz Górnicki, dr inż. Michał Nadachowski, inż. Zdzisław Tkaczyk, inż. Jerzy Węglewski SP5WW, doc. mgr inż. Aleksander Witort.

Redaktor techniczny - Henryk Wieczorek. Sekretariat - Ewa Serocka.  
 Laboratorium: mgr inż. Leszek Halicki, Sławomir Graas

Artykułów nie zamówionych nie zwracamy.

Zastrzegamy sobie prawo dokonywania skrótów nadesłanych materiałów.

Opisy urządzeń i układów elektronicznych oraz ich usprawnień, zamieszczane w „Radioelektroniku”, mogą być wykorzystywane wyłącznie do własnych potrzeb. Wykorzystywanie ich do innych celów, zwłaszcza do działalności zarobkowej, wymaga zgody autora opisu.

Przedruk całości lub fragmentów publikacji zamieszczonych w „Radioelektroniku” jest dozwolony po uzyskaniu zgody redakcji.

WYDAWNICTWO CZASOPISM I KSIĄŻEK TECHNICZNYCH

SIGMA

PRZEDSIĘBIORSTWO NACZELNEJ ORGANIZACJI TECHNICZNEJ

Prenumerata: kwartalna 150 zł, półroczna 300 zł, roczna 600 zł. Informacji o warunkach prenumeraty udzielają miejscowe oddziały RSW „Prasa-Książka-Ruch” oraz urzędy pocztowe.



Druk: Zakłady Graficzne „Dom Słowa Polskiego” w Warszawie. Zam. 75/CD. Nakład 200 000 egz. Ark. druk. 4,5. Skład techniką fotograficzną. Cena zł 50. Numer zamknięto 1985.02.11. N-38.

**Pierwszy francuski satelita telekomunikacyjny.** Francja postanowiła umieścić na orbicie za pomocą rakiety Ariane, satelitę Telecom 1. Telecom jest przeznaczony do przeprowadzania rozmów telefonicznych, przesyłania danych oraz do wideokonferencji. Jego 5 transponderów może przesyłać informacje z szybkością od 2,4 kb/s do 2 Mb/s. Kanały satelity będą wypóżycone użytkownikom, którymi są głównie duże przedsiębiorstwa francuskie posiadające filie w całej Europie, na określony czas. Zasięg satelity obejmuje, z anteną o średnicy 3,5 m, obszar od południowej Skandynawii po Rzym oraz od Austrii po Anglię. Z większą anteną Francja może za jego pośrednictwem utrzymywać kontakty ze swoimi posiadłościami karaibskimi oraz na oceanie Indyjskim. Centralna stacja nadzorująca pracę satelity została zbudowana w Mulhouse koło Bazylei. Projekt satelity powstał w 1979 r. Głównymi realizatorami projektu są firmy: Matra i Thomson CSF.

**Mania mikrokomputerowa.** „Electronics Week” tak określa popyt na małe komputery, zarówno osobiste jak i domowe, w Europie. Zapotrzebowanie na komputery osobiste (PC) wzrosło w 1984 r., w zależności od kraju, od 35% do 70%. Pod koniec 1984 r. w pięciu krajach (W. Brytanii, RFN, Francji, Włoszech i Hiszpanii) liczba komputerów osobistych typu profesjonalnego osiągnęła 1,4 mln sztuk. Ma ona wzrosnąć do 2,05 mln sztuk do końca 1985 r. Popyt na komputery spowodował zaangażowanie się w ich produkcję około 200 firm. Znana firma marketingowa Diebold sądzi, że do końca 1987 r. pozostanie z nich na rynku najwyżej 40. Komputer domowy (Home Computer) rozprzestrzeni się jeszcze szybciej. Na przełomie 1983/1984 r. tempo wzrostu sprzedaży komputerów domowych wyniosło 75% w ciągu 6 miesięcy. W 1984 r. sprzedaż osiągnęła liczbę 3 mln sztuk. Gwałtownie wzrosła również sprzedaż programów komputerowych oraz urządzeń peryferyjnych do komputerów domowych. Największy popyt na te urządzenia jest w W. Brytanii. Oczekuje się, że w 1985 r. najwięcej komputerów domowych kupią użytkownicy w Niemczech Zachodnich. Wśród producentów komputerów domowych pierwsze miejsce pod względem ilości wyprodukowanego sprzętu zajęła firma Sinclair Research, głównie dzięki modelowi „Spectrum”; odnośnie wartości wytworzonego sprzętu przoduje firma Commodore Computers.

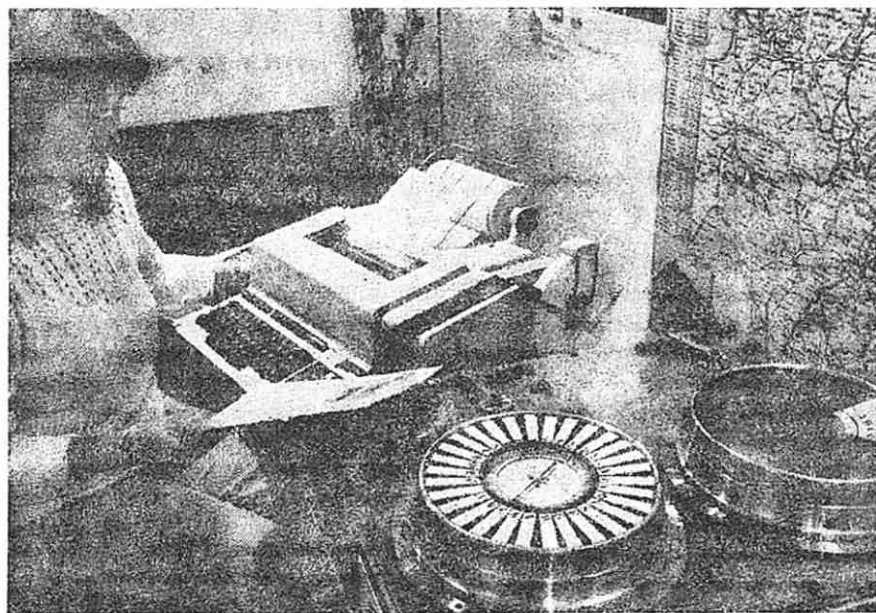
**Światłowody w samochodzie.** Przewody światłowodowe są już stosowane w samochodach wojskowych i w pojazdach kosmicznych. Głównymi argumentami, które przemawiają za tymi zastosowaniami, są: mały ciężar, odporność na zakłócenia elektromagnetyczne oraz duża szybkość przesyłania informacji. Zalety te spowodowały rozpoczęcie eksperymentów z wykorzystaniem światłowodów w samochodzie osobowym. Obecnie, w niektórych droższych modelach spotyka się światłowody, lecz służą one jako przewody świetlne o dużej niezawodności do oświetlania mierników i do sygnalizacji niesprawności. Do miejsc, w których światłowody zostaną zastosowane w pierwszej kolejności w celu przenoszenia sygnałów elektrycznych, należą: systemy przecipoślizgowe i systemy nawigacji pokładowej. Ponieważ odcinki światłowodów w samochodzie są bardzo krótkie, ich koszt nie ma dużego znaczenia, szczególnie wobec znacznego podwyższenia jakości działania systemu i zapewnienia jego niezawodności.

**Lampy analizujące do kamer tv.** Mimo poważnych wad, do których należy zaliczyć dość duży ciężar, duże wymiary i duży pobór mocy, lampy analizujące do kamer telewizyjnych nie mają wciąż konkurentów w fotoczułych macierzach półprzewodnikowych typu CCD, czy czujników MOS. Lampy gorącej nad elementami półprzewodnikowymi przede wszystkim czułością, rozdzielczością, gradacją obrazu i poziomem szumów. Poza tym są dużo tańsze. Dlatego nawet producenci pół-

przewodników opracowują nowe modele lamp analizujących. Firma Sony opracowała model lampy analizującej o średnicy 1/2 cala, która razem z ekranem mieści się w walcu o średnicy 18 mm i długości 62 mm. Masa lampy z ekranem wynosi zaledwie 16 g. Efekt ten osiągnięto dzięki zastosowaniu elektrostacyjnego ogniskowania i odchylenia, co umożliwiło wyeliminowanie ciężkiego zespołu odchyłającego, niezbędnego przy odchyleniu magnetycznym.

**Przenośny zestaw „Mini”.** Urządzenia przenośne mimo coraz lepszych parametrów i większej liczby funkcji mają coraz mniejszą objętość. Model RS 2000 firmy Loewe (fot. niżej) zawiera dwa dość duże zestawy głośnikowe (dwudrożne) o mocy 10 W każdy i pełnowartościowy zestaw stereofoniczny: tuner, magnetofon kasetowy i wzmacniacz. Ma tylko 60 cm szerokości i 11,2 cm głębokości. Podczas projektowania zwrócono uwagę zarówno na ergonomiczność jak i poziom techniczny zestawu. Tuner cyfrowy z synteza częstotliwości i z cyfrowym wskaźnikiem częstotliwości zawiera układ do automatycznego przeszukiwania zakresu i dysponuje pięcioma przyciskami do zaprogramowania 10 stacji (UKF + AM - Śr) przez wykorzystanie podwójnego położenia przycisku. Wbudowany timer kwarcowy umożliwia spełnienie funkcji budzika, jak również zaprogramowanie włączenia wybranych audycji. W magnetofonie znajdują się dwa mikrofony pojemnościowe i automatyczny stop oraz układ przeszukiwania nagranej taśmy. Zasilanie: z sieci, baterii lub akumulatora.





**50 lat teleksu.** W związku z upływem 50 lat od czasu założenia pierwszej służby dalekopisowej, jej założyciel, firma Siemens, opublikowała zdjęcie, na którym przedstawiono obok siebie telegraf wskazówkowy, stanowiący pierwszy produkt tej firmy oraz współczesną, bezgłosną, automatyczną aparaturę teleksową. Niedługo (1847 r.) podczas pracy telegrafu

należało zapisywać kolejno każdą literę, na której zatrzymała się wskazówka, dziś wiadomość teleksowa może być drukowana z szybkością 50 bit/s (6 2/3 znaków/s) ze stopą błędów równą  $10^{-6}$ . Technika dalekopisowa korzysta obecnie ze wszystkich form transmisji, łącznie z kablami podmorskimi, jak też połączeniami satelitarnymi. W 1934 r. uruchomiono po

raz pierwszy sieć łączności dalekopisowej między Niemcami, Szwajcarią i Holandią. Od 1959 r. podjęto teleksową komunikację międzykontynentalną. Obecnie pracuje na świecie 1,6 mln dalekopisów, zaś roczny ich przyrost wynosi 10%.

**Brazylijskie roboty.** Stosowana przez rząd brazylijski polityka elektronizacji odnosi coraz większe sukcesy. Opracowano tam pierwszy robot według własnej koncepcji, oparty na mikroprocesorze Z8. Jest on programowany w języku dostosowanym do języka portugalskiego. Robot stanowi ramię mechaniczne o pięciu osiach swobody, sterowane pneumatycznie. Kontrola cyfrowa ramienia robota umożliwia zbliżenie się chwytaka do obiektu z dokładnością do kilku milimetrów. Cena robota wynosi 12 tys. dolarów. Konstrukcja robota została opracowana w Instytucie Komputerów Przemysłowych CTI. Instytut pracuje obecnie nad robotem przeznaczonym do procesów lutowania i spawania. Ponadto we współpracy z zachodniemiecką firmą Volkswagen, która przekazała instytutowi swój model robota K-15, instytut podjął temat robotyzacji pełnych procesów produkcyjnych.

## ELEKTROAKUSTYKA

mgr JAN KORALEWSKI

# Moc zestawów głośnikowych

Licznym rzeszom melomanów elektronika dała możliwość przeżywania wrażeń muzycznych w zaciszu domowym. Co prawda istnieje opinia, że prawdziwy meloman przeżywa pełnię wzruszeń dopiero w sali koncertowej, uczestnicząc w zbiorowym misterium, jakim jest dobry koncert. Wiele osób lubiących muzykę oddalonych jest od wielkich ośrodków muzycznych i pozostaje im płyta, taśma lub radio. Aby stworzyć odpowiednie warunki słuchania muzyki, trzeba posiadać odpowiednią aparaturę, która składa się ze źródła sygnału (np. gramofonu, magnetofonu, tunera), wzmacniacza i zestawów głośnikowych. W dalszych rozważaniach zajmiemy się tylko ostatnim ogniwem toru teletransmisyjnego jakim są zestawy głośnikowe, a jeszcze bardziej szczegółowo ich mocą. W tej problematyce istnieje dużo niejasności i nieporozumień również wśród melomanów, którzy posiadają określone przygotowanie elektrotechniczne lub elektroniczne. Dla tych przeznaczony jest głównie niniejszy artykuł.

Podjęliśmy decyzję nabycia lub skonstruowania zestawów głośnikowych. Pomijając problem czasowo nienormalnej sytuacji rynkowej, jedyny krajowy producent – Zakłady Wytwórcze głośników Tonsil – wytwarza i oferuje dość bogaty asortyment głośników i zestawów głośnikowych. Produkuje się zestawy głośnikowe powszechnego użytku o mocy od 15 do 100 W oraz krótkie serie zestawów profesjonalnych dla dyskotek i zespołów również zestawów firm zagranicznych, które różnymi drogami trafiają do kraju.

W pierwszej kolejności musimy odpowiedzieć sobie na pyta-

nie, jakie pomieszczenie chcemy nagłośnić, czyli gdzie będziemy słuchać muzyki, gdyż od tego zależy również moc zestawów głośnikowych. Jedną z ważnych cech jest objętość pomieszczenia, co wiąże się z ilością energii, jaka musi być promieniowana przez zestaw, aby można było uzyskać odpowiedni poziom natężenia dźwięku. Ogólnie rzecz biorąc, im większe jest pomieszczenie, tym większą moc powinny mieć zestawy głośnikowe.

Wszyscy narzekamy obecnie na hałas jako zmartwienie naszego wieku, ale mało kto zdaje sobie sprawę z tego, że praktycznie nie ma idealnej ciszy. W każdym pomieszczeniu występują dźwięki stanowiące tło akustyczne. Są nawet normy międzynarodowe, które określają wartości dopuszczalne; i tak w bibliotekach i pomieszczeniach pracy twórczej poziom hałasu nie powinien być większy niż 30 dB, w pokoju mieszkalnym do 40 dB, w lokalach gastronomicznych do 60 dB. W przypadku przekroczenia tych wartości mówimy, że w danym pomieszczeniu jest zbyt hałaśliwie. Aby jednak w tych tak różnych warunkach usłyszeć najcichsze tony muzyczne wykonywane pianissimo, musimy dostarczyć odpowiednią ilość energii akustycznej. Wszystkie te przypadki narzucają więc nam wartość energii potrzebnej do zapewnienia wystarczającego poziomu natężenia dźwięku, a więc również – moc zestawów głośnikowych.

W naszych rozważaniach nie możemy pominąć dynamiki

<sup>1</sup> Dynamiką nazywamy różnicę poziomów natężenia dźwięku, dźwięków najcichszych i najgłośniejszych. Dokładniejsze wyjaśnienie można znaleźć w nrze 3/1982 „Re”.



dźwięku, której uwzględnienie uprości określenie mocy zestawów<sup>1</sup>. Dynamika zapisu bardzo dobrej płyty gramofonowej lub taśmy magnetofonowej wynosi około 60 dB. Aby tony najcichsze były dobrze rozróżnialne od tła akustycznego, musimy zapewnić 10 dB przewyższenia, czyli np. w pokoju mieszkaniowym minimalny poziom natężenia dźwięku sygnału użytecznego powinien wynieść 50 dB. Daje to poziom najgłośniejszych dźwięków ok. 110 dB. Przeciętny zestaw głośnikowy wytwarza w odległości 1 m przy zasilaniu sygnałem sinusoidalnym o mocy 1 W poziom natężenia dźwięku ok. 90 dB. Jest to jego tzw. efektywność. Z prostych przeliczeń wynika więc, że aby otrzymać pożądane 110 dB należy zainstalować zestawy o mocy 100 W i móc je zasilać ze wzmacniaczy o odpowiedniej mocy. Zapewni to, że wszystkie dźwięki, nawet te najgłośniejsze, zostaną przeniesione w nie zniekształconej postaci. Warto podkreślić, że w praktyce niezmiernie rzadko mamy do czynienia z dynamiką rzędu 60 dB. A jeżeli założymy, że wystarczy nam poziom natężenia dźwięku równy 100 dB, to moc potrzebnych zestawów głośnikowych i wzmacniaczy zmniejszy się 10-krotnie.

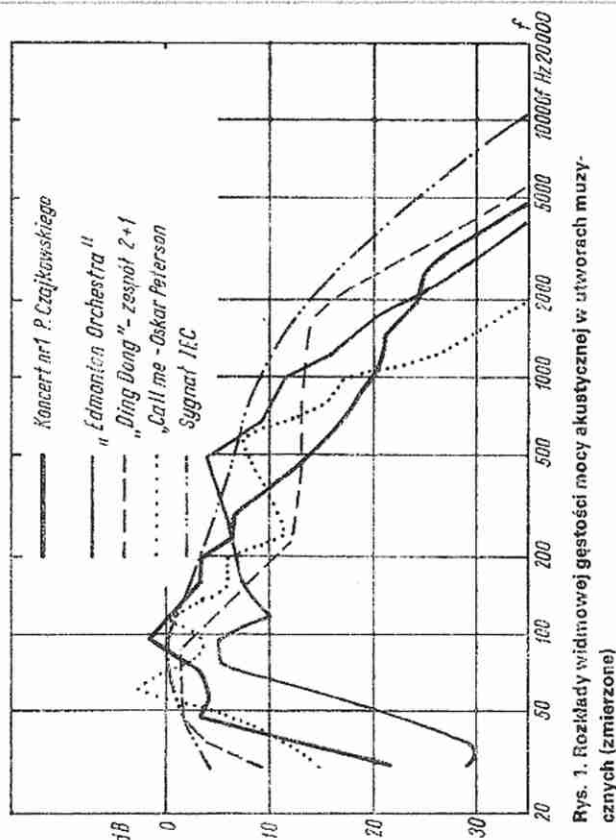
Niemniej jednak, chcąc zapewnić sobie pewien komfort w słuchaniu muzyki powinniśmy posiadać dobry gramofon z adapterem magnotoelektrycznym, wzmacniacz stereofoniczny 2x30 W oraz dwa zestawy głośnikowe o mocy 40 W każdy. W nieco większych pomieszczeniach mieszkalnych (20...40 m<sup>2</sup>) minimalna moc zestawów powinna wynosić 60...80 W.

Głośnik w przypadku dostarczenia zbyt dużej mocy elektrycznej narażony jest na uszkodzenia mechaniczne spowodowane nadmierną amplitudą wychyleń układu drgającego oraz na uszkodzenia termiczne wynikające z przegrzania cewki. Mamy więc do czynienia z odpornością mechaniczną oraz termiczną głośnika. Pierwsze z tych narażeń występuje przede wszystkim przy małych częstotliwościach, zwłaszcza w okresie rezonansu układu drgającego, natomiast drugie pojawia się przy wielkich częstotliwościach, gdy amplituda drgań cewki w szczeliny obwodu magnetycznego, jest bardzo mała, co nie zapewnia

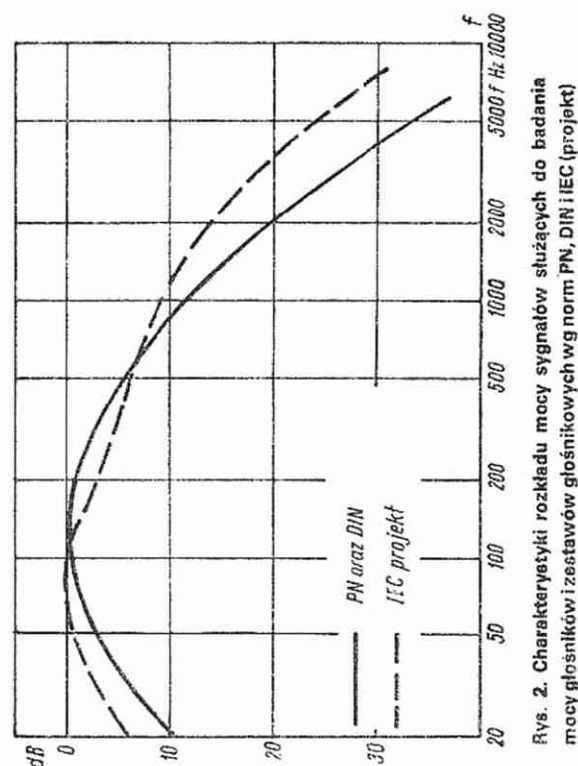
odpowiednio jej chłodzenia. Przy bardzo dużych wychyleniach układu drgającego występują znaczne zniekształcenia nieliniowe wynikające z ograniczeń jakie wnoszą zawieszania membrany i cewki oraz długość cewki i szczeliny magnetycznej głośnika.

Powstaje jednak problem: jak ująć sprawę mocy ilościowo. W tym celu zostały opracowane metody testowania poszczególnych typów głośników. Warunki, w jakich poddawane są one próbie mocy, powinny być zbliżone do rzeczywistych warunków ich pracy w zestawach przy odtwarzaniu sygnałów dźwiękowych. W sygnale służącym do badania głośników muszą występować wszystkie częstotliwości zawarte w pasmie akustycznym, tj. 20... 20 000 Hz. Stosuje się więc tzw. biały szum, który spełnia powyższy warunek. Nazwa „biały” została nadana przez analogię do światła białego, w skład którego wchodzi wszystkie częstotliwości fali elektromagnetycznej zawarte w pasmie widzialnym. Jednak pod względem rozkładu energii szum biały, który ma równą gęstość energetyczną, tzn. na każdą częstotliwość przypada taka sama ilość energii, nie nadaje się do użycia bezpośrednio jako sygnał testujący. Rozkład energii w utworach muzycznych jest bowiem inny. Wynika to z rys. 1, na którym przedstawiono charakterystyki widmowej gęstości mocy niektórych utworów muzyki rozrywkowej i symfonicznej. Z charakterystyk tych wynika, że gęstość mocy na krańcach widma jest znacznie mniejsza niż w jego części środkowej. Dotyczy to jednak utworów wykonywanych na instrumentach konwencjonalnych (akustycznych).

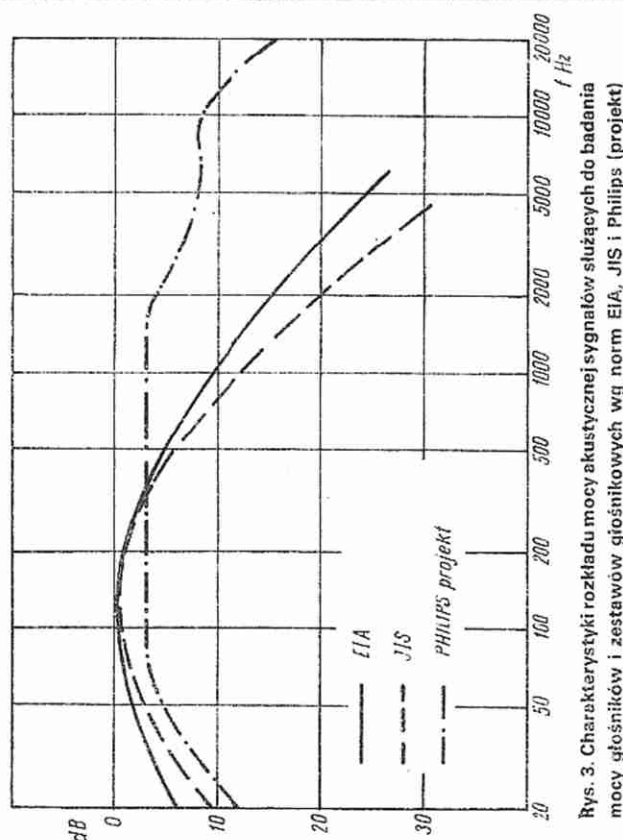
Zupełnie inaczej wygląda sytuacja w przypadku muzycznych instrumentów elektronicznych, takich jak organy i syntezatory. Poziom mocy jest prawie jednakowy w całym pasmie akustycznym. Dlatego zestawy głośnikowe przeznaczone do odtwarzania muzyki otrzymywanej za pomocą instrumentów konwencjonalnych nie mogą być zastosowane do instrumentów elektronicznych. Zespoły estradowe używają profesjonalnych zestawów głośnikowych znacznie bardziej odpornych mocowo na małe, a zwłaszcza na wielkie częstotliwości akustyczne.



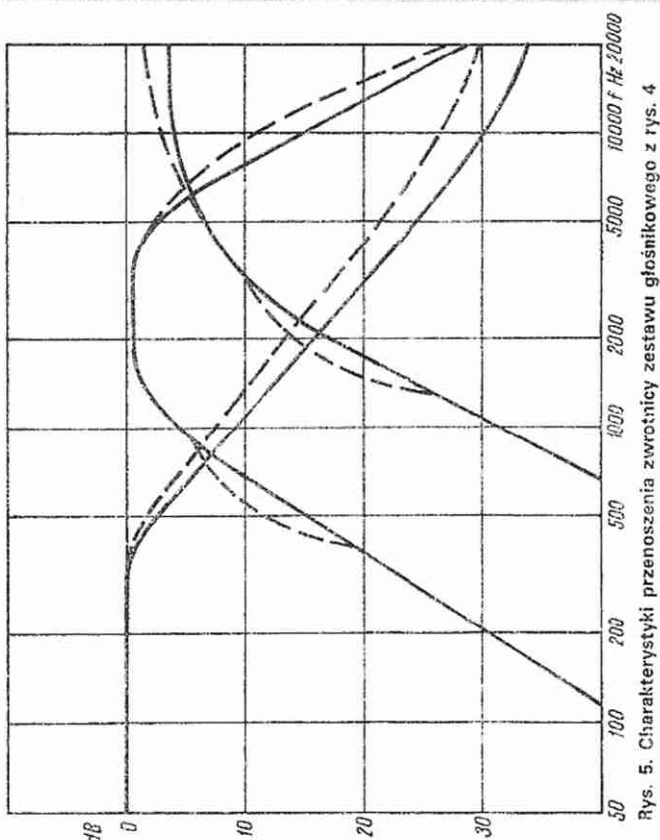
Rys. 1. Rozkłady widmowej gęstości mocy akustycznej w utworach muzycznych (zmierzone)



Rys. 2. Charakterystyki rozkładu mocy sygnałów służących do badania mocy głośników i zestawów głośnikowych wg norm PN, DIN i IEC (projekt)

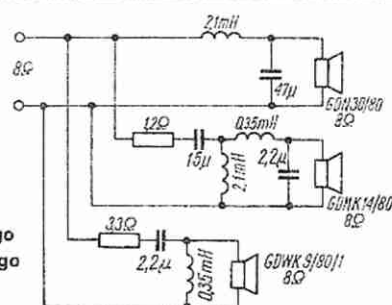


Rys. 3. Charakterystyki rozkładu mocy akustycznej sygnałów służących do badania mocy głośników i zestawów głośnikowych wg norm EIA, JIS i Philips (projekt)



Rys. 5. Charakterystyki przenoszenia zwrotnicy głośnikowej z rys. 4

Rys. 4.  
Schemat tródrożnego  
zestawu głośnikowego  
o mocy 100 W



Na podstawie pomierzonych rozkładów widmowej gęstości mocy orkiestr zaproponowano charakterystykę rozkładu mocy sygnału do sprawdzania odporności mocowej głośników i zestawów głośnikowych. Najbardziej znane są zalecenia IEC (International Electrotechnical Commission). Opierając się na nich, krajowe urzędy normalizacyjne opracowały swoje wymagania. Do bardziej znanych norm dotyczących głośników należą: zachodniemiecka DIN, japońska JIS oraz Polska Norma (PN-75/T-04751). Ostrzejsze wymagania stawiane są przez wytyczne IEC z 1975 r. oraz amerykańską normę EIA (Electronic Industries Association).

Charakterystyki odpowiadające wspomnianym normom są przedstawione na rys. 2 i 3. W celu przeprowadzenia badania głośnika (zestawu głośnikowego), między źródło szumu białego i wzmacniacz zasilający włącza się filtr elektryczny o wymaganej charakterystyce.

Moc (głośnika, zestawu głośnikowego) określa się, mierząc napięcie skuteczne szumów na rezystorze włączonym zamiast badanego głośnika, bądź zestawu głośnikowego. Wartość rezystora jest równa wartości modułu impedancji znamionowej głośnika (zestawu głośnikowego).

Badania mocy są przeprowadzane w czasie 100 bądź 300 godzin, przy czym sygnał po 1 min. jest przerywany na okres 2 min., a więc sumaryczny czas pracy wynosi również 100

godzin. W pierwszym przypadku powstają trudniejsze warunki co do wytrzymałości cieplnej głośnika, natomiast w drugim przypadku cewka ulega ochłodzeniu w czasie przerwy, ale momenty włączania i wyłączania powodują większe obciążenie konstrukcji mechanicznej głośnika. W Polsce stosuje się w odniesieniu do głośników standardowych wymagania PN, natomiast głośniki przeznaczone do zestawów Hi-Fi i same zestawy głośnikowe są poddawane próbom według nowych zaleceń IEC. Jeżeli porównamy charakterystyki z rys. 2, stanie się jasne uzasadnienie takiego postępowania. W przypadku zestawów Hi-Fi, które są wielodrożne i mają szerokie pasmo przenoszenia, ważne jest sprawdzanie ich wytrzymałości również na krańcach pasma akustycznego. Natomiast pojedyncze głośniki standardowe, stosowane w radioodbiornikach są narażone najbardziej na silne obciążenie w środkowej części pasma. W odniesieniu do zestawów profesjonalnych stosowany jest obecnie rozkład gęstości mocy według charakterystyki przedstawionej na rys. 3, zaproponowany przez firmę Philips. Porównując tę charakterystykę z innymi zrozumiemy dlaczego „domowe” zestawy głośnikowe nie mogą być używane do celów estradowych.

W tym miejscu warto zwrócić uwagę na często popełniany błąd przy sprawdzaniu sygnałem sinusoidalnym poprawność i pracy głośników w zestawach, czyli przy tzw. „przegwizdywaniu” zestawów głośnikowych. Nie wolno tego czynić, stosując sygnał sinusoidalny o mocy znamionowej zestawu. W przypadku stosowania sygnału sinusoidalnego o zbyt dużej mocy ulegną zniszczeniu głośniki wysokotonowe, a nieraz i średnionowe. Typowy zestaw tródrożny składa się z trzech głośników. Czasami stosuje się dwa głośniki w którymś z torów. Najczęściej jest to spowodowane niedostateczną mocą, bądź zbyt małą efektywnością jednego głośnika. Rozdział składowych sygnałów o różnych częstotliwościach na poszczególne głośniki następuje w zespole filtrów zwanych zwrotnicą elektryczną. Jest to zespół biernych filtrów elektrycznych z elementami w postaci cewek indukcyjnych, kondensatorów i czasami rezystorów.



Częstotliwości rozdzielu filtrów wynoszą: 500...2000 Hz w odniesieniu do głośników niskotonowych i średnionotonowych, a 5...8 kHz w odniesieniu do głośników średnionotonowych i wysokotonowych.

W zestawach dwudrożnych rozdziel następuje przy częstotliwości 3...5 kHz. Należy jednak zwrócić uwagę, że rozdziel składowych sygnałów o różnych częstotliwościach nie jest idealny, gdyż nachylenie charakterystyk zwrotnicy bywa różne w zależności od typu stosowanych filtrów.

Producent podaje w katalogach wartość mocy, na jaką dany typ głośnika został zaprojektowany. Dotyczy to badania głośnika w sposób wyjaśniony wyżej. Ponadto, w przypadku głośników średnionotonowych i wysokotonowych, stosowany jest filtr o ustalonych przez producenta parametrach. Wszystkie te informacje są zawarte w kartach katalogowych opracowanych dla każdego typu głośnika.

Na rys. 4 jest przedstawiony schemat trójdrożnego, zamkniętego zestawu głośnikowego o objętości obudowy 100 dm<sup>3</sup> i mocy 100 W. zastosowano w nim następujące głośniki „Tonsil”:

niskotonowy GDN 30/80 – 8  $\Omega$

średnionotonowy GDMK 14/80 – 8  $\Omega$ /80 W (pasmo 1...10 kHz)

wysokotonowy GDWK 9/80/1 – 8  $\Omega$ /80 W (pasmo powyżej 4 kHz).

Charakterystykę zwrotnicy tego zestawu przedstawiono na rys.

5, przy czym linią ciągłą oznaczono przebiegi przy obciążeniu jej rezystorami o wartości 8  $\Omega$ , a linią przerywaną – przy obciążeniu głośnikami.

Częstotliwości rozdzielu zwrotnicy wynoszą 800 Hz i 6000 Hz. Moc obciążająca poszczególne głośniki wynosi około: niskotonowy – 65 W, średnionotonowy – 20 W, wysokotonowy – 1,5 W. W elementach zwrotnicy jest tracona moc około 13 W.

Teraz możemy wyjaśnić prawidłowy sposób sprawdzania pracy zestawu głośnikowego sygnałem sinusoidalnym. Znając częstotliwości rozdzielu oraz moce przypadające na poszczególne głośniki należy doprowadzać takie napięcia z generatora akustycznego, aby w poszczególnych pasmach nie przekroczyć założonych mocy.

Instrukcje ZWG Tonsil przewidują przeważnie sprawdzanie zestawu trójdrożnego sygnałem sinusoidalnym o mocy równej 0,5 mocy znamionowej – w zakresie pracy głośnika niskotonowego, 0,1 mocy znamionowej – w zakresie pracy głośnika średnionotonowego i 0,02 mocy znamionowej – w zakresie pracy głośnika wysokotonowego.

Należy podkreślić, że przy projektowaniu głośników i zestawów głośnikowych ich moc jest tylko jednym z problemów, który trzeba odpowiednio rozwiązać. Pozostają jeszcze problemy dotyczące innych parametrów elektroakustycznych, a w przypadku zestawów – również ich estetyki. Nie można też pominąć sfery zagadnień ekonomicznych.

mgr Jan Koralewski

## MIERNICTWO

# Scalony przetwornik napięcie-częstotliwość typu AD537 w zastosowaniach

KRZYSZTOF BROMIRSKI

W poprzednim artykule o scalonym przetworniku napięcie-częstotliwość AD537 (nr 12/84) opisano właściwości oraz podano podstawowe schematy aplikacyjne układu scalonego AD537. Niniejszy artykuł jest przeglądem wybranych zastosowań przetwornika AD537: do pomiaru temperatury, naprężeń, siły, ciśnienia, określania położenia lub wielkości przesunięcia liniowego. Podano poza tym przykład zastosowania układu AD537 w przetworniku częstotliwość-napięcie.

### POMIAR TEMPERATURY

Układ przedstawiony na rys. 1 umożliwia pomiar temperatury (w skali bezwzględnej). Stała przetwarzania wynosi 10 Hz/K, tzn. zmianom temperatury otoczenia w zakresie od -55 do +125°C (218...498 K) odpowiadają zmiany częstotliwości  $f_0$  od 2,18 do 4,98 kHz przebiegu wyjściowego przetwornika. Dzięki bezpośredniemu wykorzystaniu wewnętrznego, wysokostabilnego źródła odniesienia  $U_{ref}$  o nachyleniu charakterystyki 1 mV/K jest możliwe uzyskanie błęd pomiaru  $< \pm 0,1\%$  w całym zakresie przetwarzania. Podczas bardziej precyzyjnych pomiarów, w celu eli-

minacji napięcia niezrównoważenia wzmacniacza wejściowego, a tym samym uzyskania bardziej liniowej charakterystyki przetwarzania, niezbędna jest kalibracja w dwóch punktach charakterystyki pomiarowej, np. dla 0°C i 100°C.

Stosując kombinację napięć z obu wyjść: napięcia  $U_T$  oraz napięcia  $U_R$  z wewnętrznego źródła napięcia odniesienia oraz odpowiednio połączony dzielnik rezystorowy, jest możliwy pomiar temperatury w innych skalach. I tak na przykład:

• W celu uzyskania współczynnika przetwarzania 10 Hz/°C, tzn. do pomiaru temperatury w skali Celsjusza, rezystor  $R_1$  powinien być przyłączony do napięcia odniesienia  $U_{ref}$  o wartości 273,15 mV za pomocą dzielnika  $R_2$ ,  $R_3$ , co przedstawiono na rys. 2. W układzie tym mierząc temperaturę w zakresie od zera do +125°C uzyskuje się zmianę częstotliwości przebiegu wyjściowego od 0 do 1,25 kHz.

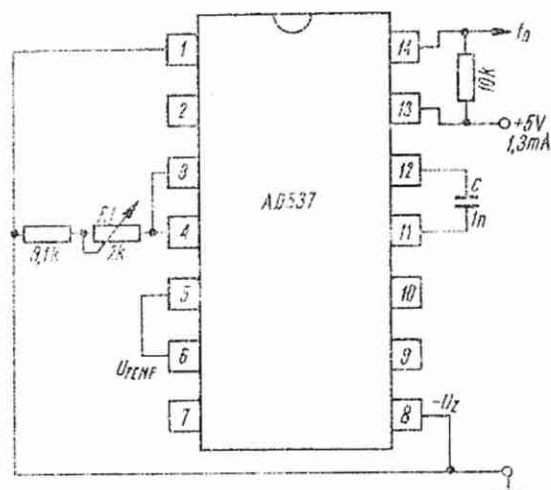
• Aby uzyskać możliwość pomiaru temperatury w skali Fahrenheita, napięcie doprowadzone do dzielnika  $R_2$  i  $R_3$  (rys. 3) musi wynosić 255,37 mV, co odpowiada zakresowi pomiarowemu od zera do

257°F, tj. od -17,78 do 125°C, a podczas zmian częstotliwości wyjściowej od zera do 1,25 kHz.

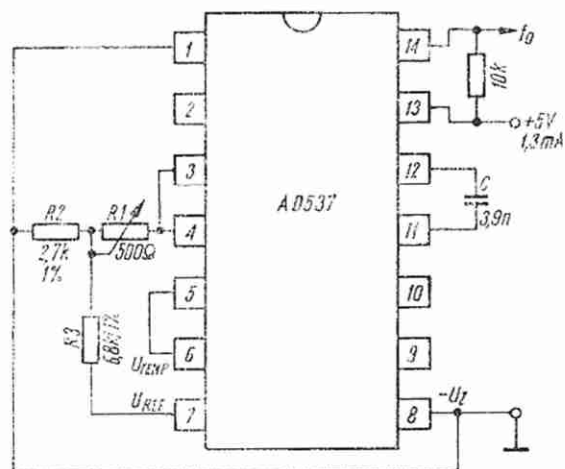
Należy jednak zwrócić uwagę na fakt, że tylko układ scalony typu AD537S umożliwia poprawną pracę do temperatury +125°C, natomiast odmiany z literami K i J tylko do 70°C.

Dotychczas opisane układy umożliwiają pomiar temperatury w zakresie dopuszczalnej temperatury pracy układu scalonego AD537. Do pomiaru temperatury wyższej wykorzystuje się termopary.

Przykładowy układ do pomiaru temperatury od zera do +700°C przedstawiono na rys. 4. Obwód czujników temperatury tworzą szeregowo połączone dwie termopary typu Chromel-Konstantan, tj. termopara pomiarowa TPm i termopara odniesienia TPodn. Zastosowanie dwóch termopar wynika z tego, że temperatura końców swobodnych termopary pomiarowej jest różna od zera. W celu kompensacji uchybu temperaturowego należy zastosować drugą termoparę, zwaną termoparą odniesienia, którą umieszcza się w termosacie w temperaturze 0°C.



Rys. 1. Schemat układu do pomiaru temperatury



Rys. 2. Schemat układu do pomiaru temperatury od 0 do 125°C

Termopara pomiarowa dostarcza napięcia od 0 do 53,14 mV w zakresie zmian temperatury od 0 do 700°C, co wynika z nachylenia charakterystyki wynoszącego 80,673  $\mu\text{V}/^\circ\text{C}$ . Układ przedstawiony na rys. 4 generuje dla napięcia 53,14 mV sygnał wyjściowy  $f_o$  o częstotliwości 7 kHz. Ponieważ zadowalająca liniowość charakterystyki leży w przedziale temperatury od 300 do 700°C, więc w celu rozszerzenia zakresu pomiarowego do 0°C wprowadzono do układu dodatkowe napięcie korekcyjne  $U_r$  o wartości -3,34 mV uzyskane z dzielnika napięcia wykonanego z rezystorami R1, R2 i R4. Kalibrację układu przeprowadza się ustawiając odpowiednio wartość rezystora R1. Błąd pomiaru wynosi  $\pm 0,2\%$  w podanym zakresie pomiarowym temperatury. Sygnał wyjściowy z przetwornika doprowadza się do częstotliomierza, a typowy czas trwania impulsu bramki powinien wynosić 100 ms.

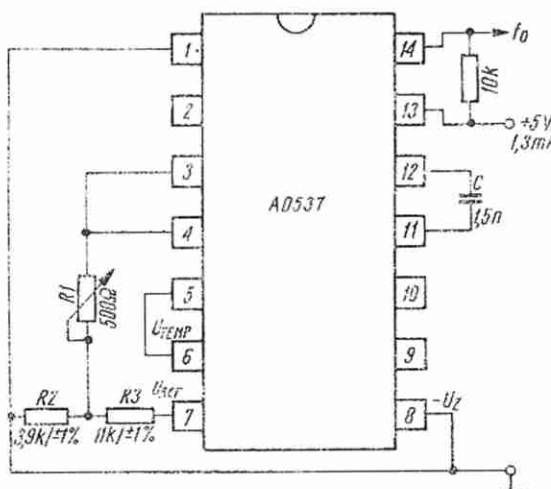
#### POMIARY SIŁY, NAPRĘŻEŃ lub CIŚNIENIA

Do pomiarów siły, naprężeń lub ciśnienia są wykorzystywane powszechnie tensometry. Wadami tensometrycznych układów pomiarowych są: duża wrażliwość na temperaturę i niewielkie zmiany rezystancji tensometru w funkcji zmian wielkości mierzonej (mała czułość, wymagająca stosowania bardzo stabilnych wzmacniaczy o dużym wzmacnieniu). W celu kompensacji uchybów termicznych tensometrów wykorzystuje się mostkowe układy pomiarowe, jak np. przedstawiony na rysunku 5.

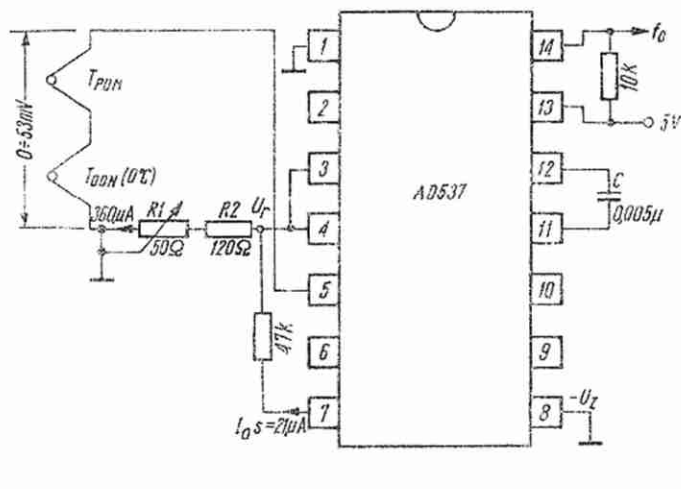
Czujniki C1 i C2 nakleja się na badany element, a czujniki C3 i C4 umieszcza się w pobliżu, aby zapewnić im takie same jak dla C1 i C2 warunki termiczne. Czujniki C3 i C4 nie są poddane działaniu czynnika mierzonego, dzięki czemu, niepożądane zmiany rezystancji tensometrów pomiarowych spowodowane zmianami tempe-

ratury otoczenia wzajemnie się kompensują. Uchyb przekształcenia nie przekracza 2%. Wymiary i przewodność cieplna badanego elementu (pełniącego funkcję radiatora), na którym naklejone są czujniki, określają dopuszczalne wartości prądu pomiarowego płynącego przez tensometry. Mostek tensometryczny jest zasilany ze źródła napięcia  $U_r = 1\text{ V}$  przez separujący wzmacniacz operacyjny A. W ten sposób warunki pracy mostka są niezależne zarówno od zmian napięcia zasilającego, jak i zmian temperatury, ponieważ to samo napięcie odniesienia jest wykorzystywane do zasilania mostka i do sterowania przetwornika I/f. Ponieważ typowe wartości współczynnika  $\alpha$  są małe, stąd np. dla  $R \gg 5r$ ,  $r = 100\ \Omega$  i  $\alpha \leq 0,1$  błąd pomiaru wynosi ok. 0,1%.

I tak: dla  $F_{\min} \alpha \approx \alpha_{\min}$  i wtedy  $f_o = 1\text{ kHz}$  oraz dla  $F_{\max} \alpha \approx \alpha_{\max}$  i wtedy  $f_o = 100\text{ kHz}$ .

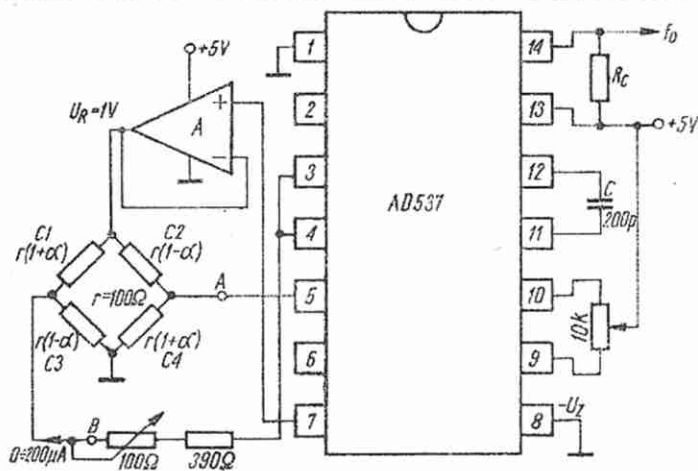


Rys. 3. Schemat układu do pomiaru temperatury w skali Fahrenheita

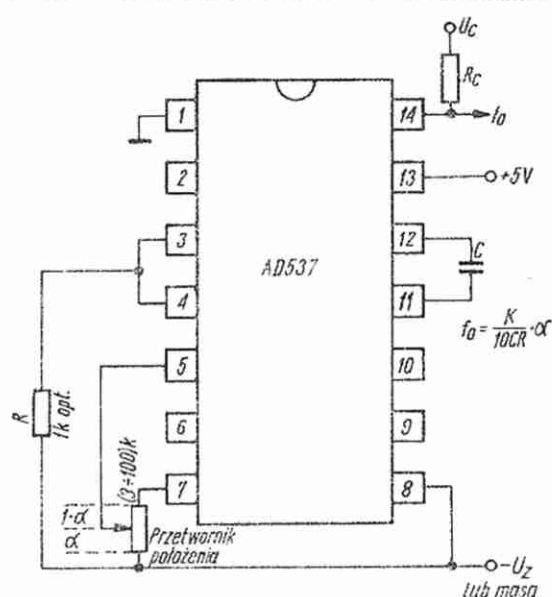


Rys. 4. Schemat układu do pomiaru temperatury od 0 do 700°C





Rys. 5. Schemat układu współpracującego z czujnikami tensometrycznymi  
Rys. 6. Schemat układu do pomiaru położenia



## WSPÓŁPRACA Z PRZETWORNIKAMI POŁOŻENIA

Liniowy przetwornik położenia jest prze-  
ważnie potencjometrem drutowym z su-  
wakiem połączonym mechanicznie z ele-  
mentem ruchomym, którego położenie  
należy określić. Czułość tego typu prze-  
tworników jest stosunkowo niewielka,  
gdyż zawiera się w zakresie od 3 do 5  
V/mm i zależy w dużym stopniu od kon-  
strukcji czujnika. Uchyb przekształce-  
nia jest zależny od stabilności napięcia za-  
silającego i parametrów potencjometru  
(temperaturowego współczynnika rezys-  
tywności drutu, przekroju drutu, równo-  
mierności nawinięcia uzwojenia). Można  
wyróżnić dwa podstawowe układy po-  
miarowe. W pierwszym częstotliwość  
wyjściowa  $f_0$  jest wprost proporcjonalna  
do wartości przesunięcia (rys. 6). Prze-  
twornik położenia zasilany jest bezpo-  
średnio, ze źródła napięcia  $U_R = 1,00$  V  
o rezystancji wyjściowej  $380 \Omega$ .

Zmiany rezystancji przetwornika wywołują  
jednak efekt obciążenia źródła  $U_R$ , a za-

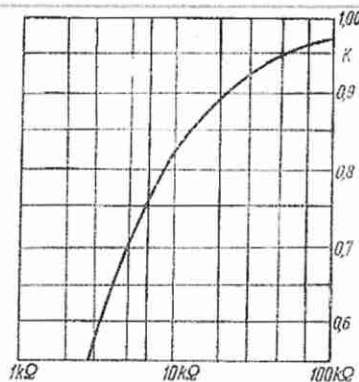
tem są przyczyną zmniejszania się tego  
napięcia. Dlatego do wzoru określającego  
częstotliwość  $f_0$  wprowadzono współ-  
czynnik  $K$ , którego wartość koryguje bocz-  
nikujący wpływ rezystancji przetwornika.  
Przebieg zależności korekcyjnego współ-  
czynnika  $K$  w funkcji rezystancji przetwor-  
nika przedstawiono na rys. 7. W celu wy-  
eliminowania wpływu obciążenia na źró-  
dło napięcia  $U_R$  można zastosować dodat-  
kowy wzmacniacz separujący, np. wtór-  
nik napięciowy przedstawiony na rys. 5,  
umożliwiający zastosowanie potencjo-  
metrycznych przetworników położenia  
o mniejszej rezystancji, np.  $100 \Omega$ . Z dru-  
giej strony, nie należy stosować przetwor-  
ników o rezystancji większej od  $100 \text{ k}\Omega$ ,  
gdyż pojawia się znaczny błąd przekształ-  
cenia spowodowany przepływem prądów  
polaryzacji (około  $100 \text{ nA}$ ). I tak, np.  
w środkowym położeniu suwaka poten-  
cjometru o rezystancji  $100 \text{ k}\Omega$ , napięcie  
błędu wynosi  $2,5 \text{ mV}$ , tj.  $0,25\%$  zakresu  
pomiarowego  $1 \text{ V}$ . Problem ten można  
jednak rozwiązać stosując większe od  $1 \text{ V}$   
napięcie zasilające lub dobierając dodat-

kowy wzmacniacz operacyjny o bardzo  
małych prądach polaryzujących.

Drugi układ pomiarowy, przedstawiony  
na rys. 8, umożliwia uzyskanie relacji bę-  
dącej odwrotną proporcjonalnością mię-  
dzy częstotliwością wyjściową  $f_0$  a war-  
tością przesunięcia liniowego (przesunię-  
cie jest więc proporcjonalne do okresu  
przebiegu wyjściowego). Należy zwrócić  
uwagę na to, że wartość napięcia zasilają-  
cego przetwornik potencjometryczny  $U_R$   
jest określona przez stosunek wartości  
rezystancji dzielnika napięcia  $U_R$  ( $R_1, R_2$ ,  
 $R_3$ ). Nie występuje tu obciążający wpływ  
przetwornika położenia na źródło napię-  
cia  $U_R$ , ale występuje ograniczenie wyni-  
kające z konieczności doboru optymalnej  
wartości prądu płynącego przez prze-  
twornik potencjometryczny i przez prze-  
twornik I/f.

## OPIS DZIAŁANIA PRZETWORNIKA CZĘSTOTLIWOŚĆ-NAPIĘCIE

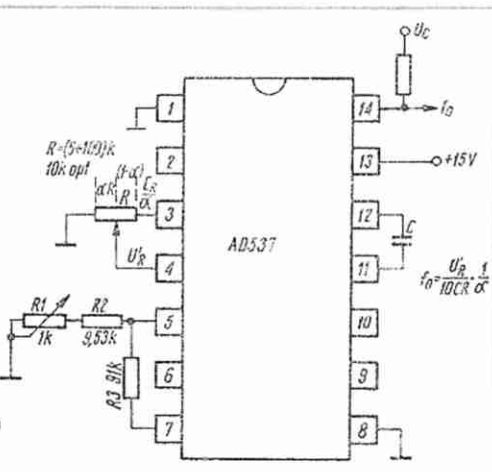
Działanie przetwornika częstotliwość-na-  
pięcie przedstawionego na rys. 9, przebie-  
ga w sposób następujący. Komparator  
fazy sygnałów: mierzonego o częstotli-  
wości  $f_x$  i sygnału z wewnętrznego oscyla-  
tora o częstotliwości  $f_0$ , który jest zbudowa-  
wany w oparciu o cztery bramki TTL typu  
NAND, wytwarza sygnał korekcyjny, pro-  
porcjonalny do różnicy częstotliwości  
obu sygnałów. Sygnał korekcyjny w po-  
staci ciągu impulsów prostokątnych (ich  
czas trwania jest tym większy, im mniej-  
sza jest różnica częstotliwości obu prze-  
biegów) jest doprowadzany zwrotnie do  
układu AD537 i powoduje zmianę jego  
częstotliwości wyjściowej (częstotliwości  
odniesienia). W ciągu 4 do 5 cykli zmian  
częstotliwości  $f_0$  następuje zrównanie  
częstotliwości obu przebiegów, a napię-  
cie korekcyjne  $U_0$  (wartość średnia), które  
przez filtr dolnoprzepustowy jest dopro-



Rys. 7. Zależność współczynnika  $K$   
od rezystancji przetwornika położenia

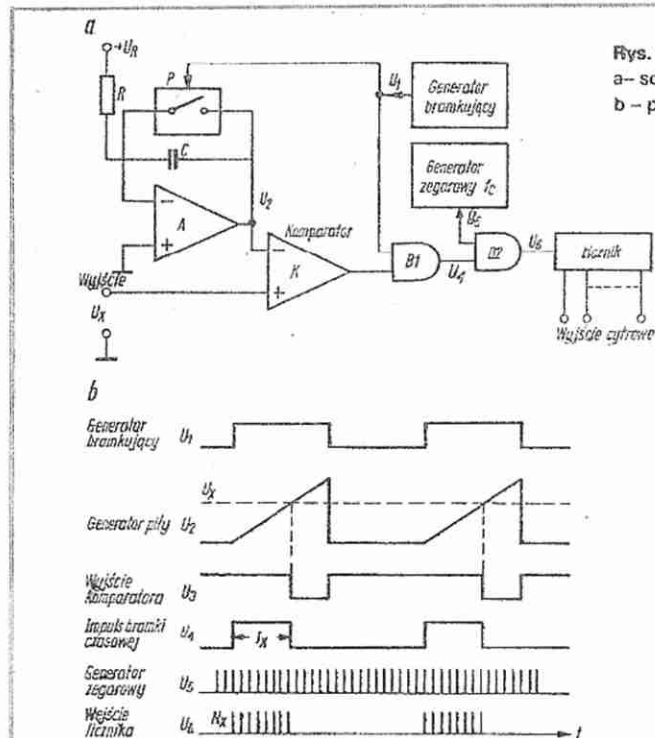
Rys. 8.

Schemat układu do pomiaru położenia z odwrotnym współczynnikiem proporcjonalności

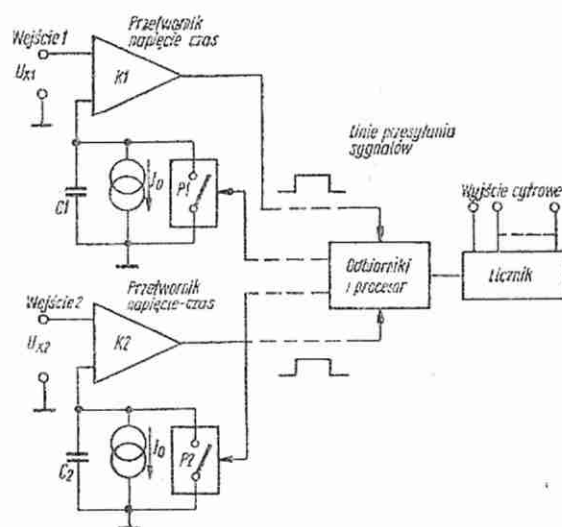








Rys. 1. Przetwarzanie a/c metodą czasową prostą  
a – schemat blokowy przetwornika,  
b – przebiegi czasowe napięć



Rys. 2. System zdalnego przesyłania sygnałów  
z przerzutników napięcie-czas

liniowo narastającego  $U_2$  z napięciem przetwarzanym  $U_x$ , gdy na wyjściu komparatora  $K$  pojawia się niski stan napięciowy. Ustaje wówczas zliczanie impulsów zegarowych w liczniku, a zawartość licznika  $N$  jest proporcjonalna do napięcia przetwarzanego  $U_x$  zgodnie ze wzorem:

$$N = \frac{U_x}{U_0} \cdot f_c$$

w którym:

$f_c$  – częstotliwość generatora zegarowego,

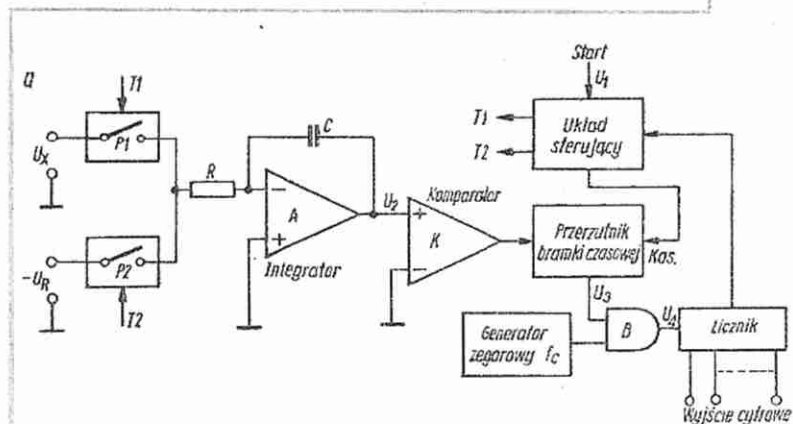
$I_0$  – prąd ładowania kondensatora równy  $U_R/R$ .

Proste przetworniki a/c, oparte na opisanej zasadzie działania nazywanej też napięcie-czas, charakteryzują się niezbyt dużą dokładnością, rzędu 0,1%. Większa dokładność jest trudna do osiągnięcia z powodu błędów przetwarzania powstających w układzie, których głównymi źródłami są nieliniowość przebiegu liniowo narastającego, niestabilność elementów  $R$ ,  $C$  oraz opóźnienie początku przebiegu пилоkształtnego, spowodowane głównie nierównoważeniem wzmacniacza operacyjnego. W metodzie czasowej prostej uzyskuje się 8...10-bitową rozdzielczość przetworników przy dość prostych rozwiązaniach układowych i ograniczonej szybkości.

Szybkość przetwarzania jest ograniczona przez czas sekwencyjnego zliczania impulsów zegarowych, który zależy bezpośrednio od częstotliwości generatora zegarowego. Ostatnio, wobec rozwoju szybkiej techniki cyfrowej, to ograniczenie nie ma zasadniczego znaczenia i stosuje się generatory zegarowe o częstotliwości do kilkuset MHz.

Dziedziną zastosowania prostej metody czasowej były głównie pierwsze woltomierze i multimetry cyfrowe. Obecnie metoda jest wykorzystywana raczej w przetwornikach do specjalnych celów, m. in. w przypadku przesyłania danych ze źródeł sygnałów analogowych rozmieszczonych w większych odległościach od centrum pomiarowego i jest także stosowana w przetwornikach amplitudy impulsów.

Na rys. 2 przedstawiono system przeznaczony do zdalnego przesyłania przetworzonych sygnałów analogowych. Wejście



Rys. 3. Przetwarzanie a/c metodą podwójnego całkowania  
a – schemat blokowy przetwornika, b – przebiegi czasowe napięć

we sygnały napięciowe  $U_{x1}$ ,  $U_{x2}$  zamieniane są w dwóch, przedstawionych na rysunku w uproszczeniu, przetwornikach napięcie-czas na impulsy o szerokościach proporcjonalnych do wartości obu napięć wejściowych. Impulsy te, o stałej amplitudzie (określonej poziomami logicznymi) i o zmiennej szerokości, są przesyłane do procesora i tam przetwarzane na wartość cyfrową. Sygnały impulsowe o modulowanej szerokości są podczas przesyłania bardziej odporne na szumy i zakłócenia niż analogowe sygnały napięciowe. Jest to zaleta omawianego systemu.

Inna zaleta polega na łatwości rozdzielania mas układu sterującego i poszczególnych źródeł sygnałów analogowych za pomocą izolacji optycznej lub transformatorowej nie trudnej do zrealizowania w przypadku sygnałów przenoszących informację zawartą w ich szerokości.

**Metoda podwójnego całkowania**, wynaleziona w 1963 r. przez R.W. Gilberta, jest jednym z najdokładniejszych sposobów przetwarzania a/c i umożliwia w znacznym stopniu uniezależnienie wyniku pomiaru od tych czynników, które pogarszają dokładność przetwarzania w metodzie czasowej prostej. Zasadę przetwarzania z podwójnym całkowaniem zilustrowano na rys. 3 na przykładzie schematu funkcjonalnego przetwornika oraz przebiegów czasowych napięć.

Cały proces przetwarzania odbywa się w dwóch fazach. W pierwszej fazie przełącznik analogowy P1 jest włączony i napięcie przetwarzane  $U_x$  jest dołączone do wejścia integratora. Jednocześnie sygnałem z przerzutnika bramki czasowej (przebieg  $U_3$ ) jest otwierana bramka B i licznik zlicza impulsy z generatora zegarowego. W wyniku całkowania napięcia wejściowego pojawia się na wyjściu integratora liniowo narastające napięcie (przebieg  $U_2$ ) o nachyleniu równym  $U_x/RC$ . Czas trwania pierwszej fazy jest wyznaczony przez licznik. W chwili przepełnienia licznika, czyli przejścia ze stanu 11...1 do stanu 00...0 jest wysyłany sygnał do układu sterującego, który powoduje zakończenie fazy pierwszej i wyłączenie przełącznika P1. Czas trwania fazy pierwszej  $T_1$  jest więc równy:

$$T_1 = \frac{N_{\max}}{f_c}$$

przy czym:

$N_{\max}$  – pojemność licznika,

$f_c$  – częstotliwość generatora zegarowego.

Po tym czasie napięcie z integratora osiąga wartość:

$$U_{2\max} = \frac{1}{RC} U_x \cdot T_1 = \frac{1}{RC} U_x \cdot \frac{N_{\max}}{f_c}$$

a więc wartość proporcjonalną do średniej wartości napięcia

wejściowego  $U_x$ . Wynika to z faktu, że napięcie  $U_x$  jest całkowane w integratorze przez cały okres  $T_1$  i wszelkie jego zmiany następujące w tym czasie podlegają uśrednieniu.

Bezpośrednio po zakończeniu fazy pierwszej zostaje włączony przełącznik P2 rozpoczynając drugą fazę pomiaru. Podczas tej fazy jest dołączone do wejścia integratora wzorcowe napięcie odniesienia o wartości  $-U_R$ . W liczniku, po jego przejściu przez stan 00...0, nadal trwa zliczanie impulsów z generatora zegarowego. Pod wpływem napięcia  $-U_R$  następuje liniowe opadanie napięcia na wyjściu integratora z nachyleniem  $-U_R/RC$ . Po pewnym czasie równym  $T_2$  napięcie z integratora osiąga wartość zerową, co jest sygnalizowane zmianą stanu komparatora K powodującą zamknięcie przez przerzutnik bramki B. Przełącznik P2 zostaje wyłączony, a zliczanie impulsów zegarowych kończy się.

Czas  $T_2$  jest okresem koniecznym do spadku napięcia  $U_{2\max}$  do wartości zerowej przy liniowym opadaniu z szybkością  $U_R/RC$ , tak więc można obliczyć:

$$T_2 = \frac{U_{2\max}}{U_R} RC$$

Korzystając z poprzednio obliczonej wartości  $U_{2\max}$  mamy:

$$T_2 = \frac{N_{\max}}{f_c} \cdot \frac{U_x \cdot \text{sr}}{U_R}$$

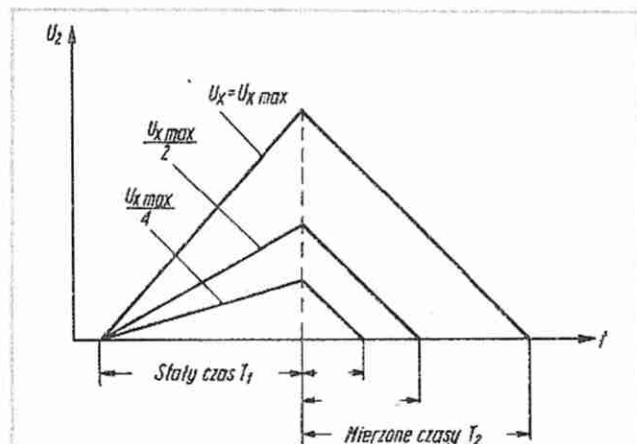
Licznik w czasie  $T_2$  zdąży zliczyć pewną liczbę  $N_x$  impulsów zegarowych, równą  $N_x = T_2 \cdot f_c$ . Podstawiając  $T_2$  z powyższego wzoru uzyskujemy:

$$N_x = N_{\max} \cdot \frac{U_x \cdot \text{sr}}{U_R}$$

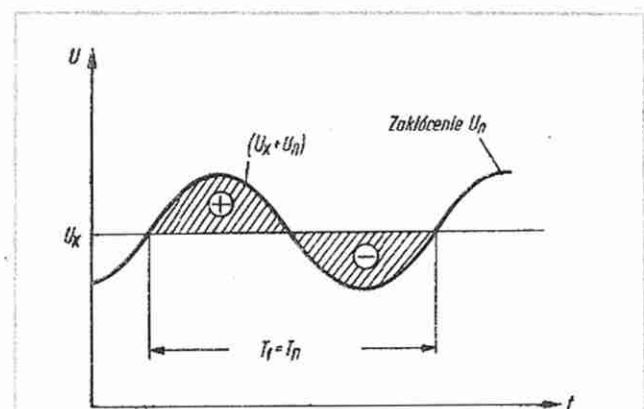
W rezultacie liczba zliczeń  $N_x$  uzyskana w liczniku po całej operacji przetwarzania jest proporcjonalna do wartości  $U_x \cdot \text{sr}$ , jest zatem cyfrową reprezentacją średniej wartości napięcia przetwarzanego.

W celu lepszego zilustrowania metody podwójnego całkowania przedstawiono na rys. 4 przebiegi napięcia na wyjściu integratora przy różnych wartościach napięcia przetwarzanego  $U_x$  – dla wartości odpowiadającej pełnemu zakresowi przetwarzania oraz połowie i ćwiartce zakresu. Obliczenia, które powyżej przeprowadziliśmy, są słuszne zarówno dla napięć przetwarzanych dodatnich, jak i ujemnych, przy czym polaryzacja napięcia odniesienia  $U_R$  powinna być zawsze odwrotna niż polaryzacja napięcia przetwarzanego, a jego wartość równa co najmniej pełnemu zakresowi przetwarzania.

Ze wzoru na  $N_x$  wynikają dwa ważne fakty. Po pierwsze, teoretycznie na wynik przetwarzania nie mają wpływu wartości  $R$ ,  $C$ ,  $f_c$ , a tylko wartości napięcia odniesienia  $U_R$  i stała wielkość  $N_{\max}$ . Wynika stąd duża dokładność metody, gdyż ciepłota i długoczasowa niestabilność częstotliwości zegarowej oraz



Rys. 4. Napięcie z integratora w przetworniku a/c z podwójnym całkowaniem przy różnych wartościach napięcia przetwarzanego  $U_x$



Rys. 5. Uśrednianie nałożonego zakłócenia podczas przetwarzania metodą integracyjną



elementów R, C nie powodują błędów przetwarzania. Po drugie, wynik przetwarzania jest proporcjonalny do wartości średniej napięcia  $U_x$  w okresie  $T_1$ , zatem metoda należy do grupy metod integracyjnych. Integracyjnymi nazywane są metody przetwarzania, w których następuje uśrednianie napięcia przetwarzanego. Zaletą przetworników integracyjnych jest zdolność znacznego tłumienia wpływu zakłóceń o charakterze okresowym, np. zakłóceń sieci energetycznej 50 Hz.

Warunkiem skuteczności tłumienia jest taki dobór wartości czasu uśredniania  $T_1$  w przetworniku, aby był on wielokrotnością okresu zakłóceń  $T_n$ , co ilustruje rys. 5. Dlatego okres uśredniania  $T_1$  w przetwornikach z podwójnym całkowaniem dobiera się równy co najmniej okresowi napięcia sieciowego, czyli 20 milisekund, z czego wynika całkowity czas przetwarzania równy 40 milisekund. Tak więc typowy przetwornik z podwójnym całkowaniem może dokonywać 25 przetworzeń na sekundę.

Jak wynika z powyższych rozważań, przetworniki z podwójnym całkowaniem charakteryzują się małą szybkością działania. Ich zaletą jest duża dokładność przetwarzania odpowiadająca rozdzielczości 12...14-bitowej. Metoda czasowa z podwójnym

całkowaniem jest obecnie drugim po metodzie kompensacji wagowej (o której będzie mowa w dalszej części artykułu) najpowszechniej stosowanym sposobem przetwarzania. Ocenia się, że na tych dwóch sposobach przetwarzania jest opartych ponad 90% użytkowanych i produkowanych obecnie na świecie przetworników a/c.

Próbowano wprowadzić różne udoskonalenia do metody podwójnego całkowania. Jednym z nich są rozmaite sposoby autokalibracji poprawiające jeszcze bardziej dokładność przetwarzania i stosowane głównie w przetwornikach przeznaczonych do woltomierzy cyfrowych i multimetrów. Innym udoskonaleniem jest tzw. potrójne całkowanie, którego celem było skrócenie czasu przetwarzania. Ta odmiana metody jest bardzo rzadko stosowana. Najbardziej interesującym ulepszeniem jest metoda poczwórnego całkowania, w której przez wprowadzenie dwóch dodatkowych okresów do cyklu przetwarzania uzyskuje się znaczną kompensację błędów spowodowanych niedoskonałościami elementów przetwornika, zmianami napięć zasilających i temperatury.

Innym rodzajem metody pośredniej przetwarzania a/c jest metoda częstotliwościowa, która będzie opisana w następnej części artykułu.

## KLUB MŁODYCH ELEKTRONIKÓW

MARIA I WOJCIECH NOWAKOWSCY

# Regulator częstotliwości pracy wycieraczek

W regulatory częstotliwości pracy wycieraczek wyposażone są tylko niektóre typy krajowych samochodów. Regulatory te, np. produkcji zakładów WAREL, są zawodne ponieważ zastosowano w nich przełącznik, a ponadto są niewygodne w obsłudze, gdyż przełącznik obrotowy utrudnia kierowcy ocenę, jaka będzie częstotliwość pracy wycieraczek po włączeniu układu. Zmusza go to do dobierania tej częstotliwości, co nie jest ani wygodne, ani bezpieczne. Opisany niżej pięciobiegowy regulator nie zawiera przełącznika, działa niezależnie od standardowego układu pobudzania wycieraczek i może być montowany do każdego samochodu z instalacją 12 V i „-” na masie.

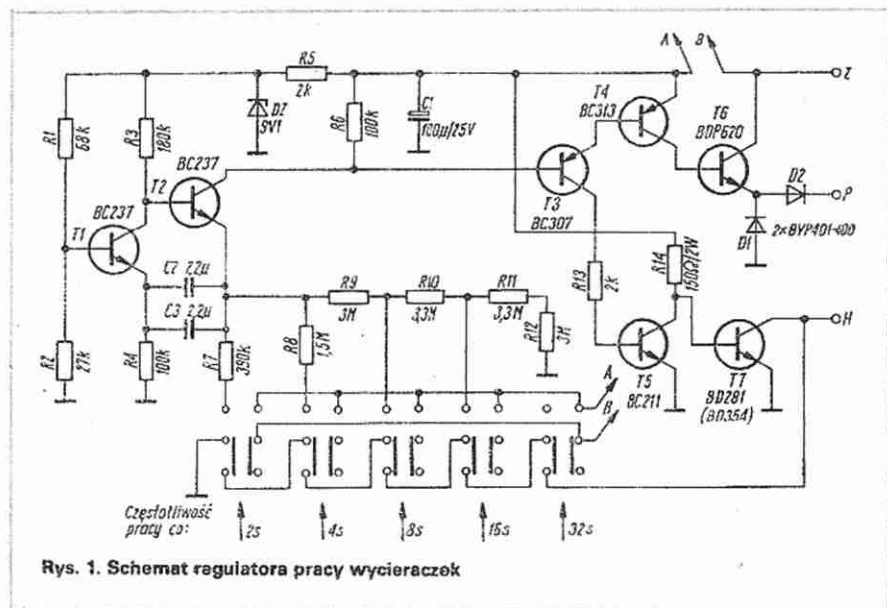
Urządzenie nie wymaga stosowania trójpółosiowego przełącznika wycieraczek (wyłączone – praca przerywana – praca ciągła) i umożliwia włączenie wycieraczek z wybraną częstotliwością pracy jednym ruchem ręki, bez kontroli wzrokowej. Nadaje się zarówno do silników wycieraczek z obwodem hamowania w położeniu spoczynkowym wycieraków, jak i bez tego obwodu.

Układ regulatora, którego schemat przedstawiono na rys. 1, składa się z przerzutnika astabilnego o przełączanej częstotliwości generacji impulsów, w którym pracują tranzystory T1 i T2, wzmacniacza prądu

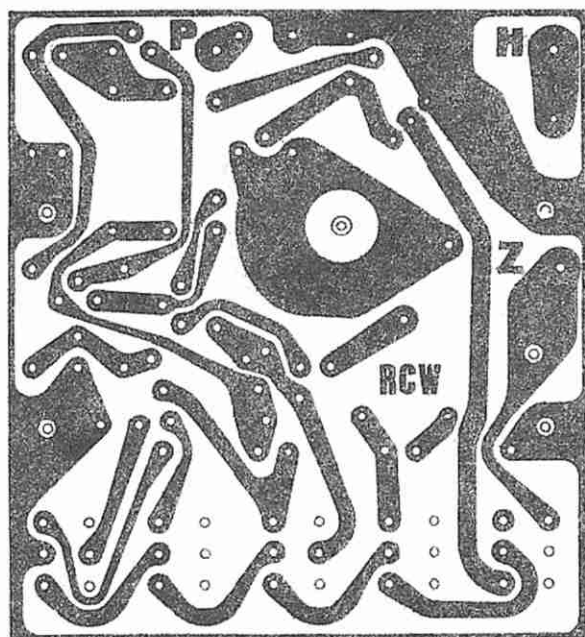
pobudzającego z tranzystorami T3, T4, T6 oraz układu zwierania uzwojenia silnika wycieraczek, wyposażonego w tranzystory T5, T7.

Przerzutnik astabilny typu Bowesa jest zasilany przez lokalny stabilizator napięcia z diodą Zenera DZ, dzięki czemu częstotliwość pracy wycieraczek nie zależy od wahań napięcia w instalacji samochodowej. Częstotliwość ta jest regulowana skokowo za pomocą pięcioklawiszowego

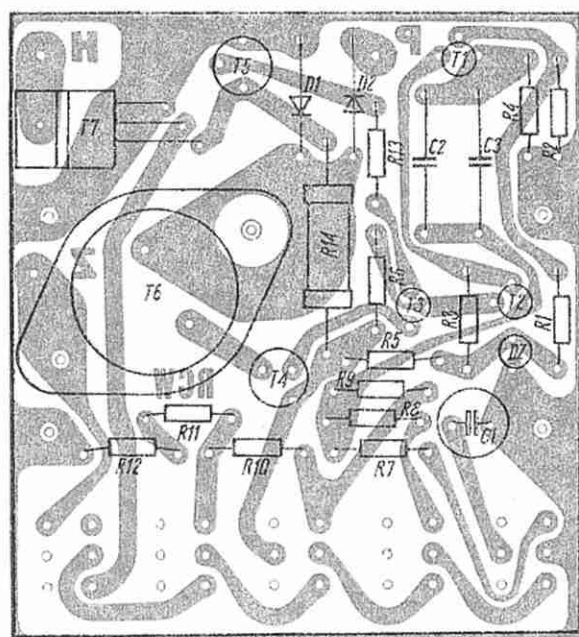
zależnego przełącznika typu Isostat, zmieniającego wartość stałej czasu obwodu emiterowego przerzutnika. W rezultacie, na kolektorze tranzystora T2 są generowane impulsy o nastawionej częstotliwości i czasie trwania 0,5 s, które wzmacnione przez tranzystory T3, T4 i T6, sterują pracą silnika wycieraczek. Diody D1 i D2 służą do zabezpieczenia tranzystora T6 przed przepięciami wynikającymi z indukcyjnego charakteru obciążenia.



Rys. 1. Schemat regulatora pracy wycieraczek



Rys. 2. Płytki z połączeniami drukowanymi



Rys. 3. Schemat montażowy

W przerwie między impulsami uzwojenie silnika powinno być zwierane do masy w celu szybkiego zatrzymania wycieraków w momencie dojścia do pozycji spoczynkowej. Elementem realizującym tę

funkcję jest tranzystor T7, nasycony w czasie przerwy między impulsami, a zatykany na czas trwania impulsu przez tranzystor T5. Jeśli regulator jest wyłączony, uzwojenie hamujące jest zwarte

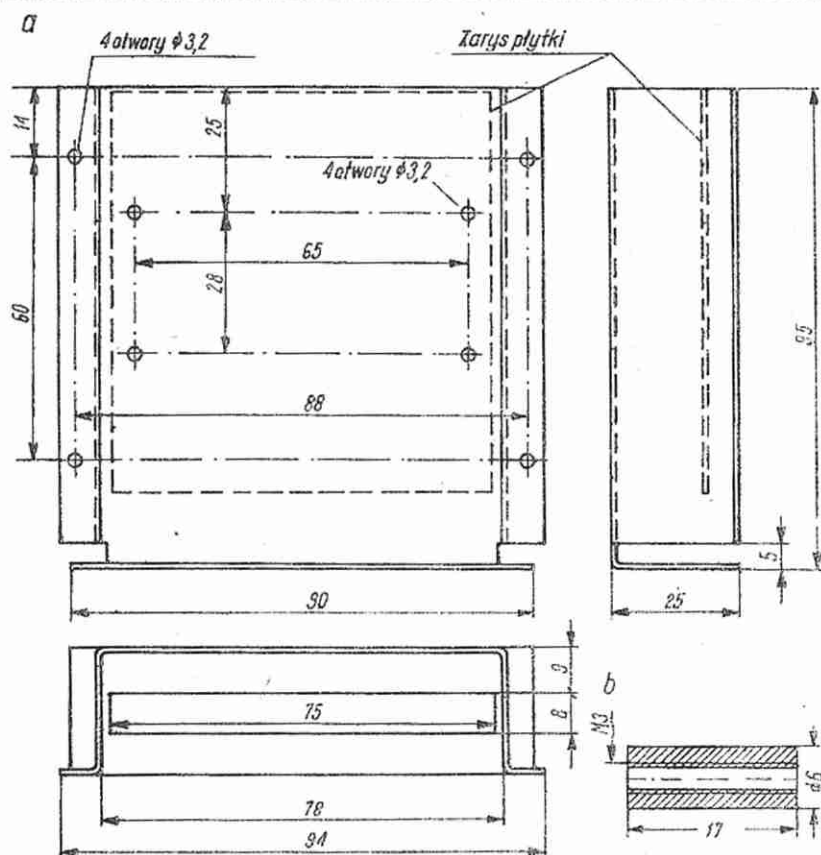
z masą samochodu przez zestyki przełącznika.

Ze względu na większy dopuszczalny prąd kolektora zastosowano tranzystor T7 typu BD281. Zastępczo można użyć tranzystora BD354 po odpowiednim dostosowaniu płytki montażowej z połączeniami drukowanymi.

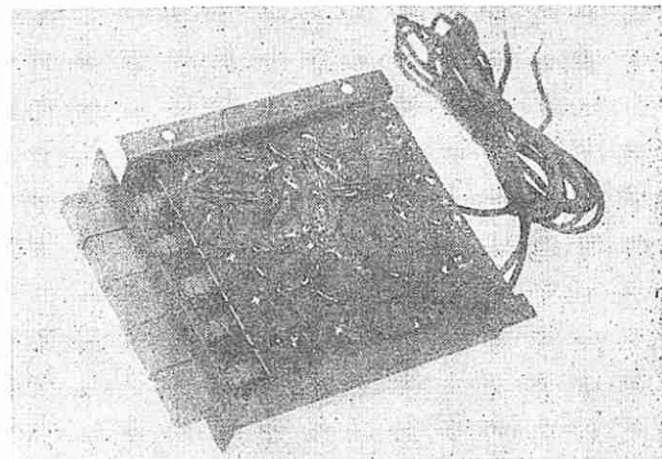
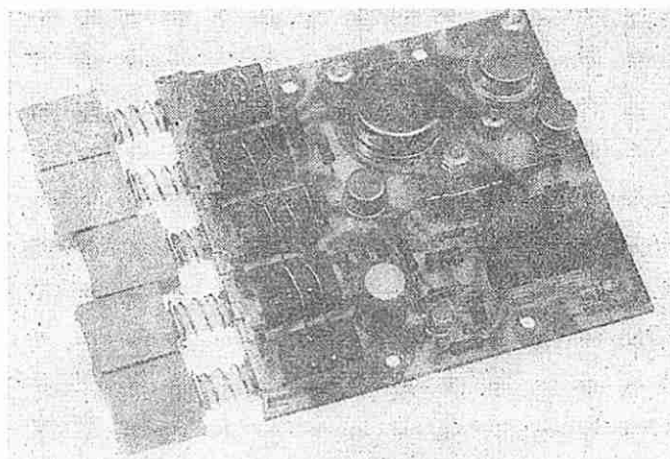
Na rys. 2 przedstawiono płytkę drukowaną, a na rys. 3 schemat montażowy regulatora wycieraczek. Płytkę wraz z przełącznikiem umieszczono w blaszanej obudowie, której szkic znajduje się na rys. 4. Na rys. 5 uwidoczniono wygląd od strony elementów i od strony druku zmontowanego urządzenia.

Sposób dołączenia regulatora do instalacji pojazdu przedstawiono w dwóch wariantach, na przykładzie samochodu Polski Fiat 126p. Pierwszy wariant, prostszy (rys. 6), polega na bezpośrednim połączeniu przewodów regulatora z instalacją, np. za pomocą lutowania lub kostek łącznikowych. W wariantcie tym konieczne jest przerwanie jednego z przewodów instalacji, łączącego samochodowy wyłącznik wycieraczki z masą i połączenie go z punktem H. Dołączenie regulatora do masy może być w tym przypadku wykonane przez przykręcenie jego obudowy do oczyszczonego z lakieru miejsca nadwozia, za pomocą wkręta samogwintującego.

Wariant drugi, polegający na dołączeniu regulatora do instalacji poprzez typowe samochodowe złącza nożowe (rys. 7), jest bardziej pracochłonny, ale zapewnia rozłączalność wykonanych połączeń i natychmiastowy powrót do pierwotnego stanu instalacji w razie uszkodzenia układu



Rys. 4. Szkic elementów obudowy  
a – pokrywa (blacha aluminiowa lub mosiężna 1 mm); b – tulejka dystansowa – 4 szt.  
(materiał: pręt aluminiowy lub mosiężny)



Rys. 5. Wygląd zewnętrzny regulatora (od strony elementów i od strony druku)

elektronicznego. W tym wariancie należy rozdzielić istniejące złącze wiązki włącznika wycieraczek, zaś przewody regulatora zakończyć odpowiednio wtykiem i gniazdem identycznego złącza w taki sposób,

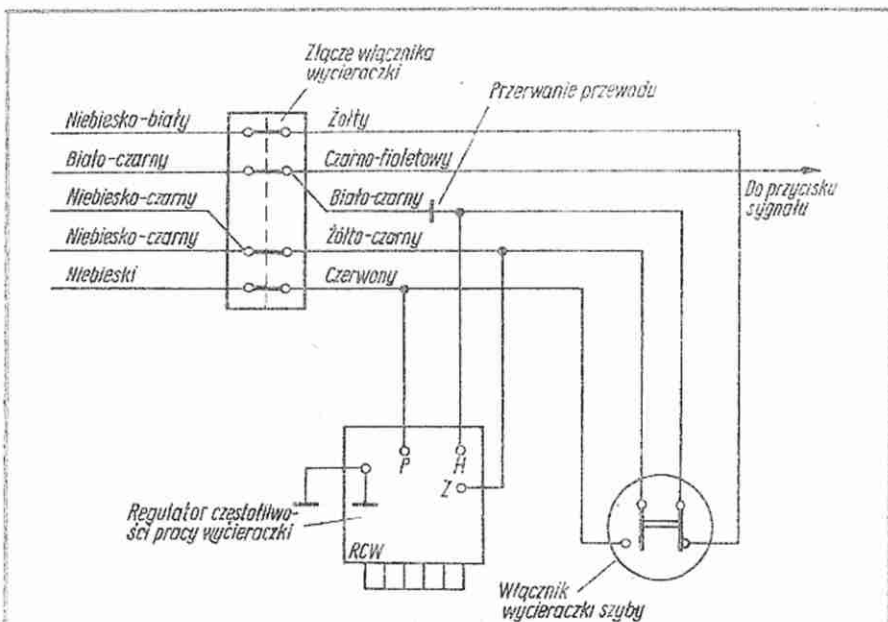
aby zrealizować połączenia przedstawione na rys. 7. Konieczne jest przy tym przeprowadzenie innej drogą czarno-fioletowego przewodu sygnału, który po odcięciu od złącza wiązki wyłącznika wycie-

raczki powinien być przez pojedyncze, osobne złącze nożowe dołączony do masy pojazdu lub w miejsce zaznaczone na rysunku linią przerywaną.

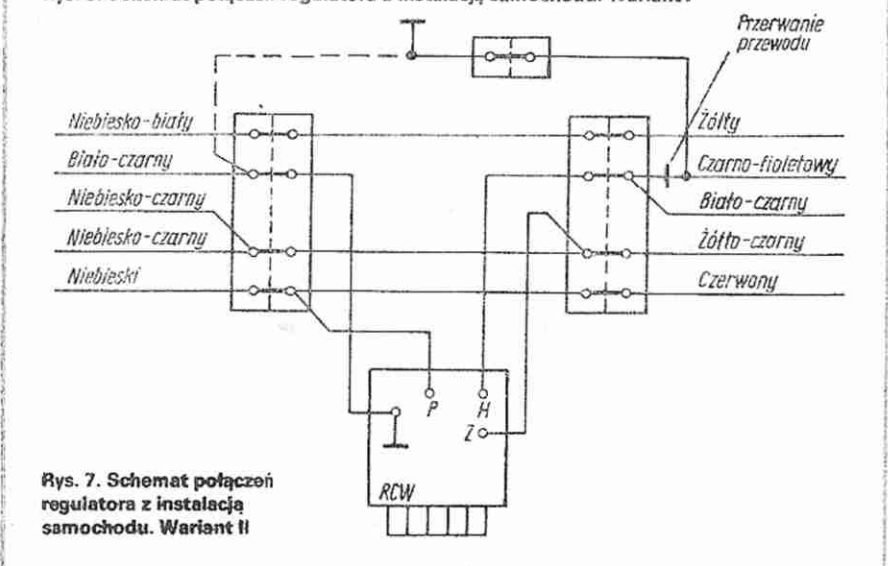
Zaprojektowana obudowa regulatora wycieraczek jest dostosowana do samochodu Polski Fiat 126 p. Najlepiej jest ją przykręcić do blaszanej przegrody, między bagażnikiem a kabiną, z lewej strony kolumny kierownicy, jak najbliższej kierowcy. W samochodzie Polski Fiat 125p regulator może być przymocowany bez obudowy, bezpośrednio do pomocniczej deski rozdzielczej, znajdującej się po lewej stronie kierowcy, na wysokości kolan kierowcy. Takie mocowanie, możliwe również w innych samochodach, wymaga użycia listwy przełącznika Isostat z uchwyty oraz wykonania podłużnego otworu na klawisze przełącznika.

Korzystanie z urządzenia jest bardzo proste. Jeśli klawisze nie są wciśnięte, układ jest wyłączony, nie pobiera prądu i zachowane są normalne połączenia standardowej instalacji samochodowej. Wciśnięcie któregośkolwiek klawisza włącza układ regulatora i powoduje przerywaną pracę wycieraczek z częstotliwością charakterystyczną dla tego klawisza, przy czym natychmiast po włączeniu następuje pierwsze wahnięcie wycieraczek. Włączenie wycieraczek dźwignią przy kolumnie kierownicy podczas pracy regulatora nie powoduje jego uszkodzenia, oba układy działają niezależnie od siebie. Wyłączenie regulatora polega na lekkim naciśnięciu któregośkolwiek z klawiszy tak, aby żaden z nich nie pozostał włączony, zastosowano bowiem przełącznik z przyciskami zależnymi. W zależności od naciśniętego klawisza uzyskuje się pracę wycieraczek co 2, 4, 8, 16 i 32 s.

Układ opracowano przy współudziale G. Czajkowskiego.



Rys. 6. Schemat połączeń regulatora z instalacją samochodu. Wariant I



Rys. 7. Schemat połączeń regulatora z instalacją samochodu. Wariant II



# Programowany zegar do ciemni fotograficznej

W praktyce fotoamatorskiej, przy obróbce błon i papierów fotograficznych jest wymagana dokładna kontrola czasu poszczególnych czynności oraz duża powtarzalność odmierzanych czasów. Funkcję taką spełnia opisany niżej zegar fotograficzny. Układ umożliwia zaprogramowanie czasów dla 15 czynności. Wyeliminowano w nim przełącznik mechaniczny i zastosowano elektroniczne wybieranie czasów w sposób automatyczny lub ręczny.

## OPIS DZIAŁANIA

Schemat układu programowanego zegara przedstawiono na rys. 1.

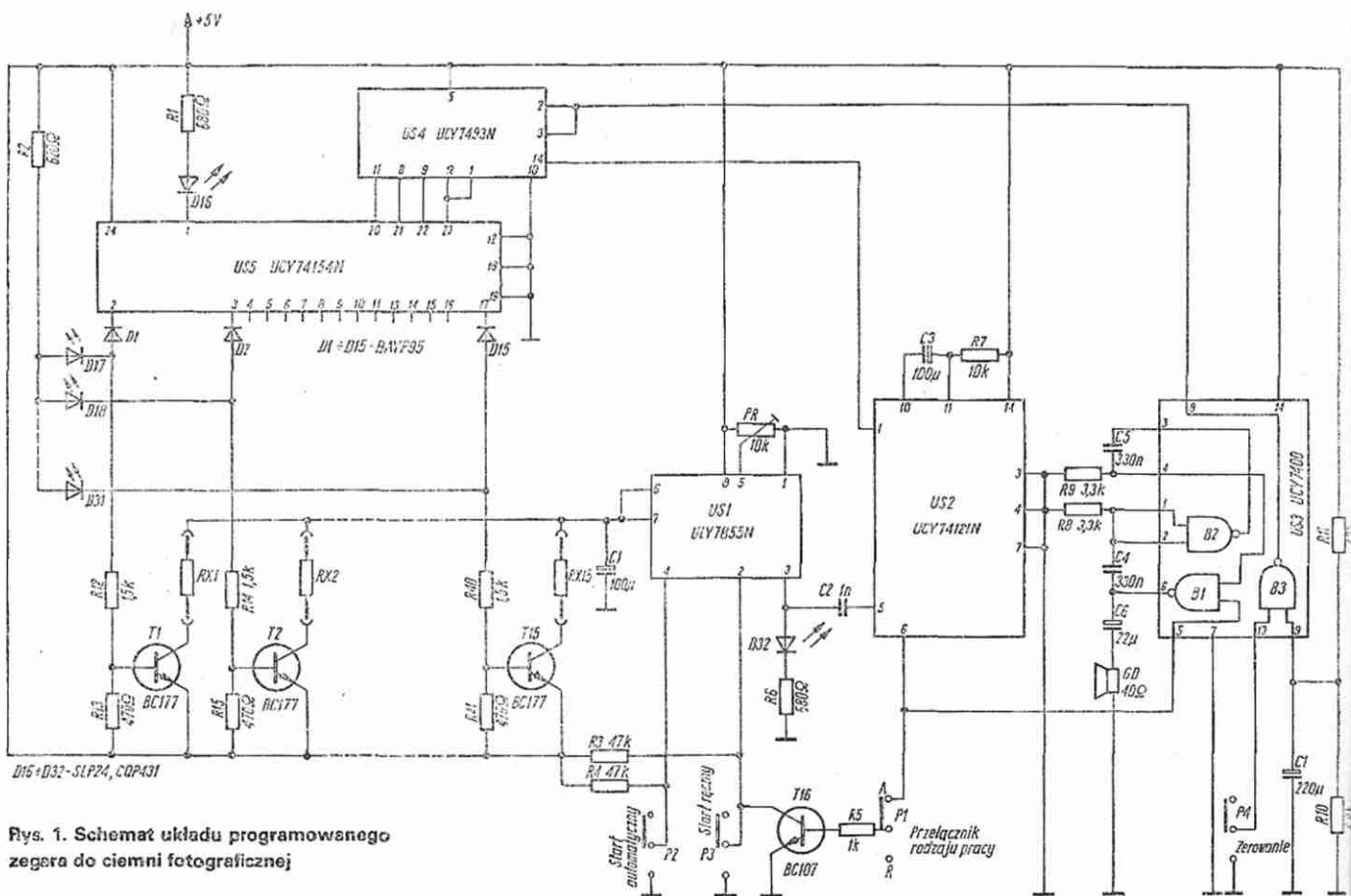
Po włączeniu napięcia zasilającego wejście bramki B3 układu scalonego US3 przez kondensator C3 zostaje zwarte do masy. Stan wysoki wyjścia bramki B3 zeruje licznik US4. Wyjście demultiplexera US5, połączone z wyprowadzeniem 1 będzie wówczas w stanie niskim. Po czasie określonym przez stałą czasu obrotu utworzonego z rezystorów R10, R11

i kondensatora C7, kondensator C7 zostanie naładowany do potencjału wysokiego. Zmienia się stan bramki B3. Wejścia zerujące układu US4 (wyprowadzenia 2 i 3) będą sterowane niskim stanem z wyjścia bramki B3. Zegar uzyskuje stan gotowości do pracy. Sygnalizuje to świecenie diody D16.

Jeżeli przełącznik rodzaju pracy P1 jest w położeniu A (wyzwalanie automatyczne), odmierzanie zaprogramowanych czasów rozpoczyna się po wciśnięciu przycisku P2. Wówczas wyjście timera US1 (wyprowadzenie 3) przejdzie w stan wysoki. Przy zmianie stanu timera, przez kondensator różniczkujący C2 jest wyzwalany uniwibrator US2. Uniwibrator generuje impuls, który jest zliczany przez licznik US4. W wyniku zmiany stanu licznika US4 zmienia się stan wyjścia demultiplexera US5, na którym jest stan niski. Stan niski pojawi się po pierwszym impulsie na wyjściu połączonym z wyprowadzeniem 2. Sygnalizuje to świecenie diody D17. Sterowany z tego wyjścia tranzystor

T1 przewodzi i dołącza do wejścia timera US1 rezystor  $R_{X1}$ . Po czasie określonym przez stałą czasu  $R_{X1} C1$ , na wyjściu timera US1 zmienia się stan. W czasie zmiany stanu z wysokiego na niski zostaje ponownie uruchomiony uniwibrator US2. Impuls z uniwibratora zmienia stan licznika US4 i demultiplexera US5. W demultiplexersze US5 stan niski będzie na trzecim wyjściu (wyprowadzenie 3), co sygnalizuje świecenie diody D18. Wówczas przewodzi tranzystor T2 i powoduje włączenie do wejścia timera US1 rezystor  $R_{X2}$ . Po czasie określonym przez stałą czasu  $R_{X2} C1$  nastąpi zmiana stanu timera US1. Cykl trwa do zakończenia odmierzania ostatniego odcinka czasu.

Zegar może być także sterowany ręcznie. Przełącznik rodzaju pracy P1 trzeba przełączyć w pozycję R. Przyciskiem P2 należy spowodować, aby stan niski był na drugim wyjściu demultiplexera US5 (wyprowadzenie 2), co jest sygnalizowane świeceniem diody D17. Przewodzący tranzystor T1 powoduje włączenie do



Rys. 1. Schemat układu programowanego zegara do ciemni fotograficznej

## Kasetowe odtwarzacze samochodowe P211 i PS212

Odtwarzacze F211 i PS212, produkcji Zakładów Mechaniki Precyzyjnej UNITRA MAGMOR w Gdańsku, są przeznaczone do odtwarzania monofonicznego (F211) i stereofonicznego (PS212) nagrań zapisanych na taśmach magnetofonowych w kasetach typu Compact C-60. Obydwa odtwarzacze są przystosowane do odtwarzania nagrań z taśm żelazowych i chromowych.

Wszystkie wzmacniacze, tzn.: wzmacniacz w odtwarzaczu monofonicznym P211, wzmacniacz kanału prawego oraz kanału lewego w odtwarzaczu stereofonicznym PS212, są zamontowane na identycznych płytkach drukowanych i z takich samych elementów.

Schemat odtwarzacza PS212 przedstawiono na str. 16.

### DANE TECHNICZNE

Prędkość przesuwu taśmy:	4,76 cm/s $\pm$ 3%
Nierównomierność przesuwu taśmy:	0,5%
Czas przewijania kasety C-60:	$\leq$ 3 min
Pasma przenieszenia:	80...6300 Hz
Tłumienie przesłuchu:	$\geq$ 15 dB przy $f = 1$ kHz
Odstęp od napięć zakłócających:	38 dB
Znamionowa moc wyjściowa:	
	2x4 W przy $h \leq 7\%$ , $R_{obc} = 4 \Omega$ , $U_{zas} = 14,4$ V
Zasilanie:	12 V, minus na obudowie
Pobór mocy z akumulatora	ok. 15 W
Wymiary.	54x139x166 mm
Masa:	ok. 1,5 kg

węjsia timera US1 rezystor  $R_{X1}$ . Cykl odmierzenia czasu rozpoczyna się po wciśnięciu przycisku P3. Po odmierzeniu zadanego czasu następuje zmiana stanu wyjściowego timera US1. Dalej cykl przebiega analogicznie, jak przy wyzwalaniu automatycznym. Gdy stan niski wystąpi na kolejnym wyjściu demultipleksera US5, jest on blokowany i odmierzenie następnego odcinka czasu nastąpi po ponownym wciśnięciu przycisku P3. Odmierzanie czasu sygnalizuje świecenie diody D32, a odmierzany odcinek czasu sygnalizuje świecenie jednej z diod D17...D31. Zakończenie odmierzenia czasu jest sygnalizowane akustycznie. Źródłem sygnału akustycznego jest multiwibrator zrealizowany z bramek B1, B2 układu US3 i sterowany impulsem z uniwibratora US2. Czas trwania sygnału akustycznego wyznacza stała czasu elementów R7 C3. Cykl odmierzenia czasu można przerwać w dowolnej chwili przyciskiem P4. Realizację odmierzenia dowolnego odcinka czasu uzyskuje się po włączeniu przycisku P1 w pozycję A. Następnie wybiera się żądany odcinek czasu przez wci-

### OPIS DZIAŁANIA

Włożenie kasety do kieszeni odtwarzacza i docisnięcie jej do oporu powoduje przesunięcie w dół tylnej części kieszeni. Kieszeń przesuwa się w dół uruchamiając włącznik zasilania. Napięcia indukowane w głowicy kanału prawego (tak samo i w przypadku kanału lewego) są doprowadzane do wzmacniacza korekcyjnego, pracującego z tranzystorami T1 (małoszumny) i T2. O charakterystyce przenoszenia wzmacniacza decydują elementy C4, R4 i R8, znajdujące się w pętli ujemnego sprzężenia zwrotnego oraz przełącznik S1. Przy zwartym rezystorze R4 odtwarzacz jest przystosowany do odtwarzania nagrań z taśm chromowej.

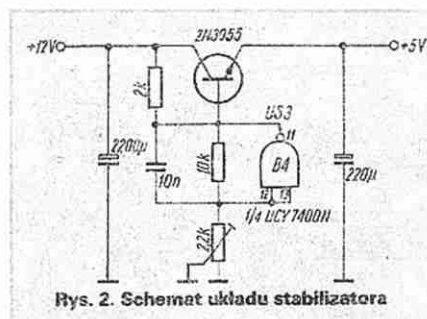
We wzmacniaczu mocy zastosowano układ scalony UL1481P, który może pracować w szerokim zakresie napięć zasilających i ma duży maksymalny prąd wyjściowy. Charakteryzuje się także niewielkimi zniekształceniami nieliniowymi.

Obroty silnika są stabilizowane w zależności od zmian momentu obciążenia, napięcia zasilającego i zmian temperatury otoczenia za pomocą układów znajdujących się na płytce stabilizatora. Rezystor nastawny RN4 służy do regulacji prędkości przesuwu taśmy.

Dioda D1 świecąca sygnalizuje włączenie odtwarzacza.

Dioda D2 zabezpiecza elementy półprzewodnikowe w przypadku odwrotnego dołączenia odtwarzacza do akumulatora.

W odtwarzaczach P211 wyjście G2-1 jest dodatkowo połączone z kontaktem 4 przełącznika S2. Do kontaktu 3 tego przełącznika można dołączyć wyjście do głośnika odbiornika radiofonicznego. Wyłączenie odtwarzacza powoduje wtedy jednocześnie przełączenie głośnika (dołączenie go do odbiornika). „Żybi”



**Rys. 2. Schemat układu stabilizatora**

skanie przycisku P2. Układ programuje się przez włączenie w obwody kolektorów tranzystorów T1...T15 rezystorów  $R_X$  o odpowiednich rezystancjach. Rezystory mogą być zamocowane na wtykach wielostykowych, tworząc gotowe moduły. Moduły te włącza się do układu czasowego za pomocą gniazda wielostykowego. Moduły mogą stanowić zestawy rezystorów przeznaczonych do uzyskania czasu określonych czynności obróbki błon lub papierów. Można je oznaczyć odpowiednimi symbolami, np. NC-19/20°C.

Napięcie zasilające jest stabilizowane

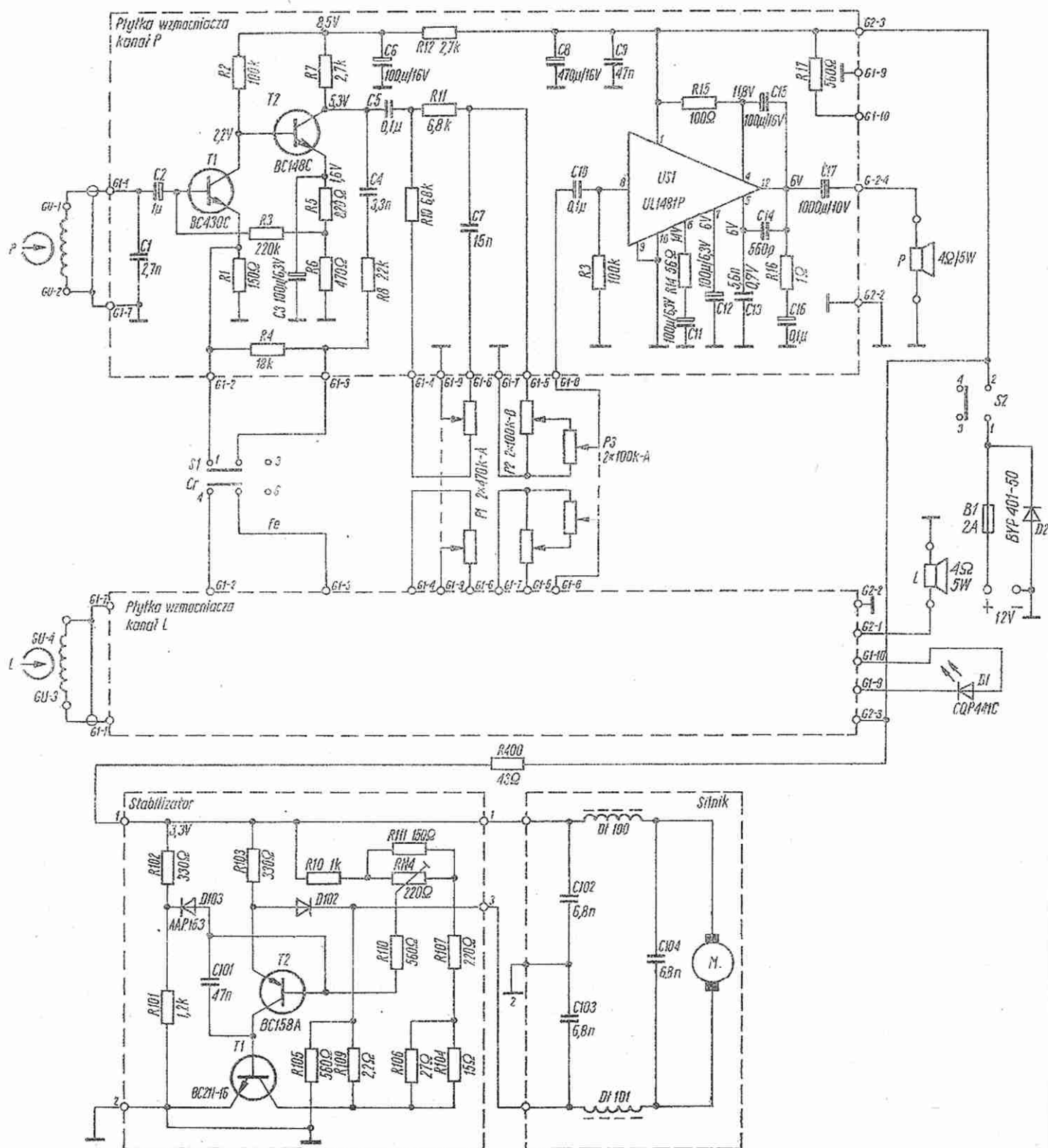
przez układ stabilizatora (rys. 2). W stabilizatorze wykorzystano jedną z bramek NAND układu cyfrowego UCY7400.

## URUCHOMIENIE UKŁADU

Po prawidłowym zmontowaniu układ wymaga tylko dobrania podzespołów ustalających czasy pracy. Kondensator C1 został tak dobrany, aby dla rezystora  $R_X$  o rezystancji  $1\text{ M}\Omega$  został odmierzony czas 1 min. Eventualne odchylenia koryguje się potencjometrem PR.

Dokładność odmierzanych czasów zależy praktycznie tylko od jakości elementów  $R_X$  i  $C1$ . Dlatego kondensator  $C1$  powinien być tantalowy.

Zegar może pracować w cyklu zamkniętym, tzn. po odmierzeniu ostatniego odcinka czasu powraca do pozycji wyjściowej i zaczyna odmierzać odcinki czasu od początku. W tym celu do wyprowadzenia 1 układu US5 należy przyłączyć człon tranzystorowy, taki jak dla pozostałych wyjść układu US5, a wyprowadzenie 17 układu US5 połączyć z wejściem zerującym bramki B3 układu US3.



Schemat kasetowych odtwarzaczy samochodowych P211 i PS212



# Dane techniczne elementów półprzewodnikowych produkowanych w CEMI (11)

## UKŁADY SCALONE

### Cyfrowe układy scalone serii UCY74 (cd.)

Typ układu	Funkcja układu	Obudowa rys.
UCY7406N	cztery dwuwęściowe bramki EXCLUSIVE-OR	1
UCY7490N	licznik dekadowy	1
UCY7492N	licznik modulo 12	1
UCY7493N	czterobitowy licznik binarny	1
UCY7495N	czterobitowy uniwersalny rejestr przesuwany	1
UCY74107N	dwa przerzutniki J-K (MASTER-SLAVE)	1
UCY74121N	przerzutnik monostabilny z wejściem Schmitta	1
UCY74123N	dwa przerzutniki monostabilne z wejściem zerującym	2
UCY74132N	cztery dwuwęściowe bramki NAND z wejściem Schmitta	1
UCY74148N	dekoder kodu BCD na kod dziesiętny z wyjściem typu otwarty kolektor (OPEN COLLECTOR) - 15 V	2
UCY74150N	szesnastowęściowy selektor-multiplexer	3
UCY74151N	ośmiowęściowy selektor-multiplexer	2
UCY74153N	dwa czterowęściowe selektory-multiplexery	2
UCY74154N	dekoder-demultiplexer z 4 linii na 16 linii	2
UCY74155N	dwa dekodery-demultiplexery z 2 linii na 4 linie	2
UCY74157N	cztery dwuwęściowe selektory-multiplexery	2
UCY74164N	synchroniczny ośmiobitowy rejestr przesuwany z wejściem szeregowym i wyjściami równoległymi	1
UCY74165N	synchroniczny ośmiobitowy rejestr przesuwany z wejściami równoległymi i wyjściem szeregowym	2
UCY74174N	sześć przerzutników typu D z zerowaniem	2
UCY74175N	cztery przerzutniki typu D z zerowaniem	2
UCY74180N	ośmiobitowy generator parzystości	1
UCY74181N	czterobitowa uniwersalna jednostka arytmetyczno-logiczna	3
UCY74182N	generator przeniesienia	2
UCY74192N	synchroniczny dziesiętny licznik rowersyjny	2
UCY74193N	synchroniczny binarny licznik rowersyjny (czterobitowy)	2
UCY74194N	uniwersalny czterobitowy rejestr przesuwany	2
UCY74198N	uniwersalny ośmiobitowy rejestr przesuwany	3
UCY74547N	układ sterujący wyświetlaczem kalkulatora $U_{CC\ max}=15\ V$	1
UCY74548N	układ sterujący wyświetlaczem kalkulatora $U_{CC\ max}=15\ V$	4
UCY780101N	sześciodziesięcioczerobitowa pamięć RAM	2

### Cyfrowe układy scalone serii UCY74H

Maksymalne napięcie zasilania:	$U_{CC\ max}$	+7,0 V
Maksymalne napięcie wejściowe:	$U_{I\ max}$	+5,5 V
Zalecane napięcie pracy:	$U_{CC\ typ}$	+5±0,25 V
Napięcie wyjściowe w stanie niskim:	$U_{OL}$	≤0,4 V
Napięcie wyjściowe w stanie wysokim:	$U_{OH}$	≥2,4 V
Typowa moc strat na bramkę:		23 mW
Typowy czas opóźnienia propagacji przez bramkę:		6 ns

Typ układu	Funkcja układu	Obudowa rys.
UCY74H00N	cztery dwuwęściowe bramki NAND	1
UCY74H10N	trzy trzywęściowe bramki NAND	1
UCY74H40N	dwie czterowęściowe bramki mocy NAND	1
UCY74H50N	dwie bramki AND-OR-INVERT z dwiema dwuwęściowymi bramkami AND z możliwością ekspansji OR	1
UCY74H53N	bramka AND-OR-INVERT z czterema dwuwęściowymi bramkami AND z możliwością ekspansji OR	1
UCY74H72N	przerzutnik typu J-K (MASTER-SLAVE)	1
UCY74H74N	dwa przerzutniki typu D	1

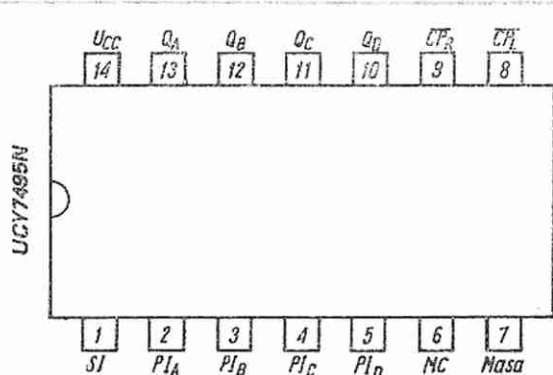
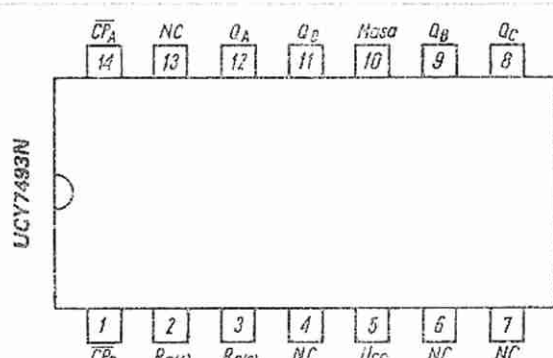
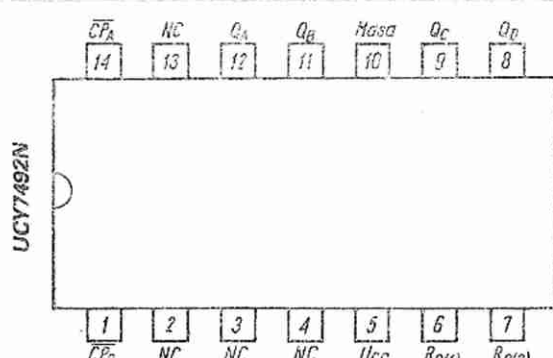
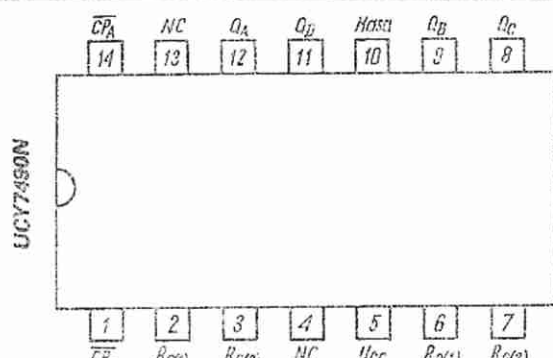
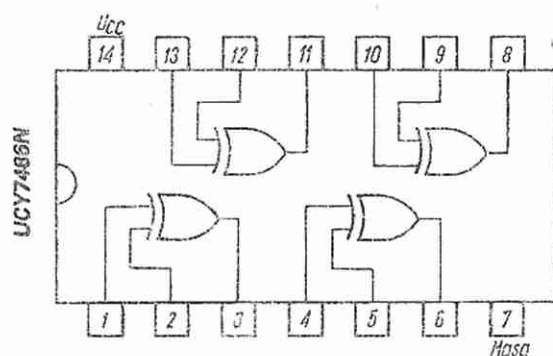
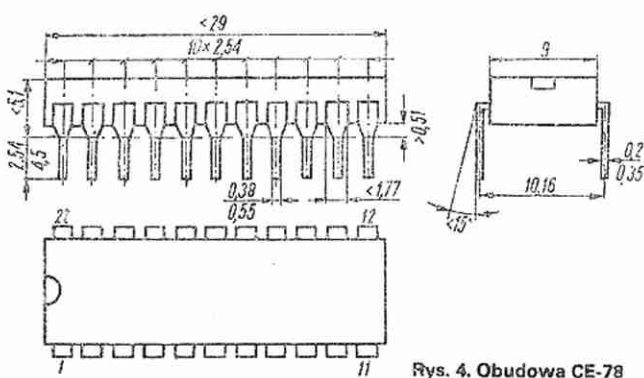
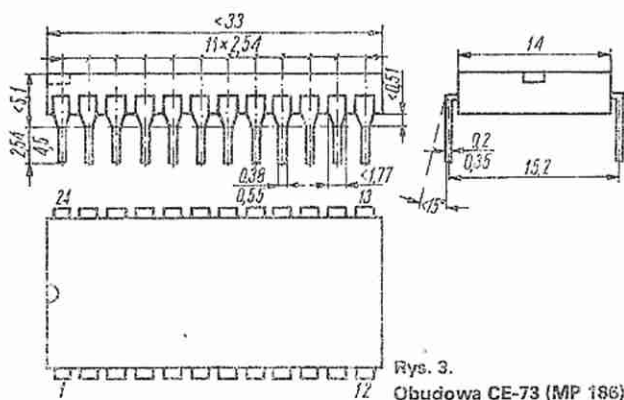
### Cyfrowe układy scalone TTL serii UCY74S

Maksymalne napięcie zasilania:	$U_{CC\ max}$	+7,0 V
Maksymalne napięcie wejściowe:	$U_{I\ max}$	+5,5 V
Zalecane napięcie pracy:	$U_{CC\ typ}$	+5±0,25 V
Napięcie wyjściowe w stanie niskim:	$U_{OL}$	≤0,4 V
Napięcie wyjściowe w stanie wysokim (z wyjątkiem układów z wyjściem typu otwarty kolektor):	$U_{OH}$	≥2,4 V
Prąd wyjściowy w stanie wysokim dla układów z wyjściem typu otwarty kolektor:	$I_{OH}$	250 μA
Typowa moc strat na bramkę:		20 mW
Typowy czas opóźnienia propagacji przez bramkę:		3 ns

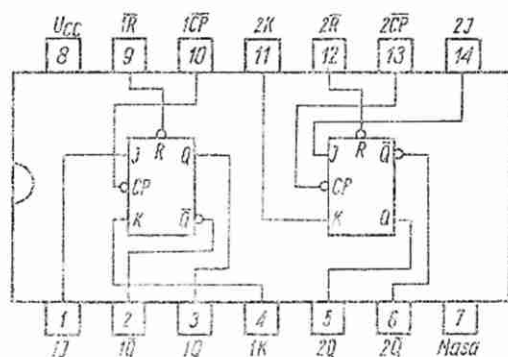
Typ układu	Funkcja	Obudowa rys.
UCY74S00N	cztery dwuwęściowe bramki NAND	1
UCY74S03N	cztery dwuwęściowe bramki NAND z wyjściem typu otwarty kolektor (OPEN COLLECTOR)	1
UCY74S10N	trzy trzywęściowe bramki NAND	1
UCY74S11N	trzy trzywęściowe bramki AND	1
UCY74S15N	trzy trzywęściowe bramki AND	1
UCY74S20N	dwie czterowęściowe bramki NAND	1
UCY74S22N	dwie czterowęściowe bramki NAND z wyjściem typu otwarty kolektor (OPEN COLLECTOR)	1
UCY74S132N	cztery dwuwęściowe bramki NAND z wejściem Schmitta	1
UCY74S157N	cztery dwuwęściowe selektory-multiplexery	2
UCY74S158N	cztery dwuwęściowe selektory-multiplexery z wyjściem odwracającym	2
UCY74S175N	cztery przerzutniki typu D z zerowaniem	2

Maksymalne napięcie zasilania:	$U_{CC\ max}$	+7,0 V
Maksymalne napięcie wejściowe:	$U_{I\ max}$	+5,5 V
Zalecane napięcie pracy:	$U_{CC\ typ}$	+5±0,25 V
Napięcie wyjściowe w stanie niskim:	$U_{OL}$	≤0,4 V
Napięcie wyjściowe w stanie wysokim (z wyjątkiem układów z wyjściem typu otwarty kolektor):	$U_{OH}$	≥2,4 V
Prąd wyjściowy w stanie wysokim dla układów z wyjściem typu otwarty kolektor:	$I_{OH}$	100 μA
Typowa moc strat na bramkę:		2 mW
Typowe opóźnienie propagacji przez bramkę:		10 ns

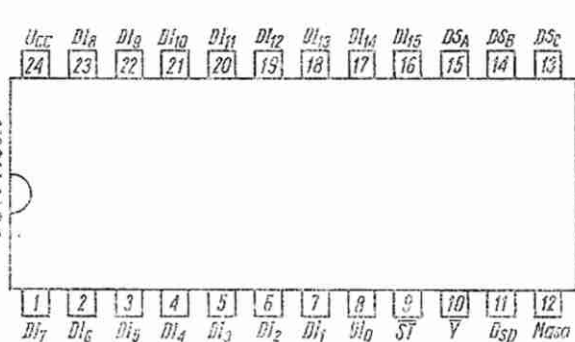
Typ układu	Funkcja układu	Obudowa rys.
UCY74LS00N	cztery dwuwejściowe bramki NAND	1
UCY74LS02N	cztery dwuwejściowe bramki NOR	1
UCY74LS03N	cztery dwuwejściowe bramki NAND z wyjściem typu otwarty kolektor (OPEN COLLECTOR)	1
UCY74LS04N	sześć inwerterów	1
UCY74LS05N	sześć inwerterów-buforów z wyjściem typu otwarty kolektor (OPEN COLLECTOR)	1
UCY74LS08N	cztery dwuwejściowe bramki AND	1
UCY74LS09N	cztery dwuwejściowe bramki AND z wyjściem typu otwarty kolektor (OPEN COLLECTOR)	1
UCY74LS10N	trzy trzywejściowe bramki NAND	1
UCY74LS11N	trzy trzywejściowe bramki AND	1
UCY74LS15N	trzy trzywejściowe bramki AND z wyjściem typu otwarty kolektor (OPEN COLLECTOR)	1
UCY74LS20N	dwie czterowejściowe bramki NAND	1
UCY74LS27N	trzy trzywejściowe bramki NOR	1
UCY74LS32N	cztery dwuwejściowe bramki OR	1
UCY74LS74N	dwa przerzutniki typu D	1



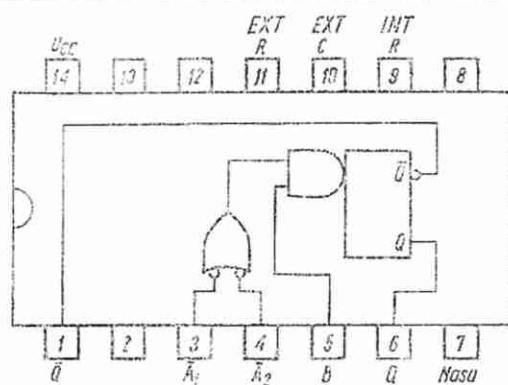
UCY74107N



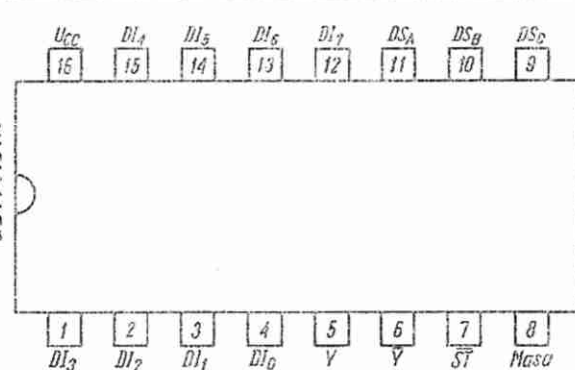
UCY74150N



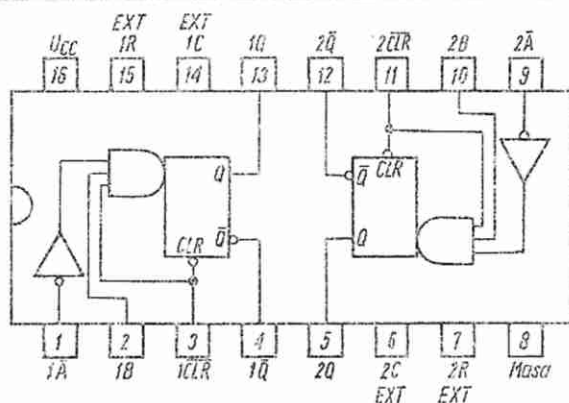
UCY74121N



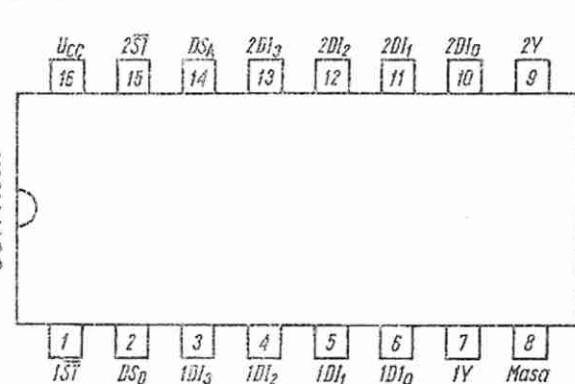
UCY74151N



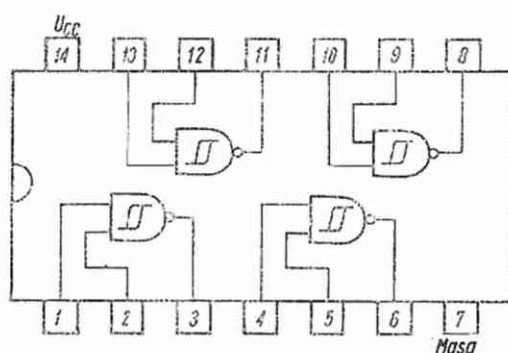
UCY74123N



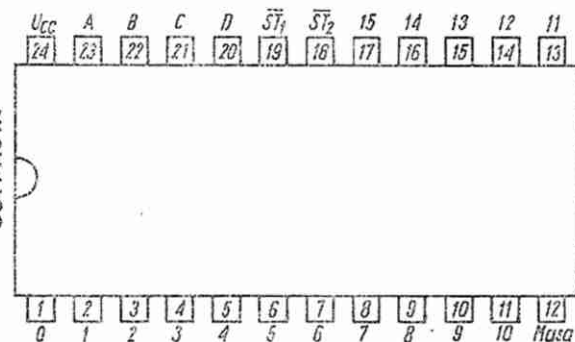
UCY74153N



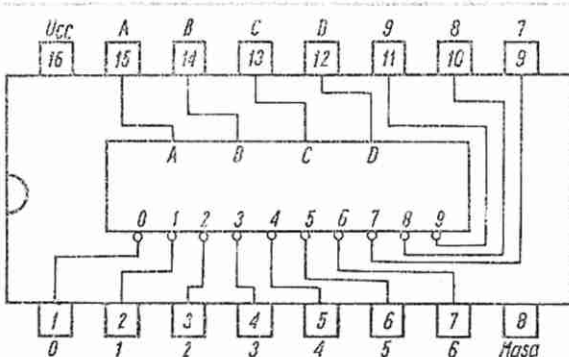
UCY74132N



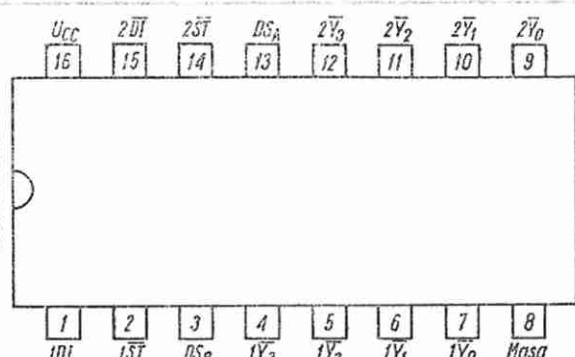
UCY74154N



UCY74145N

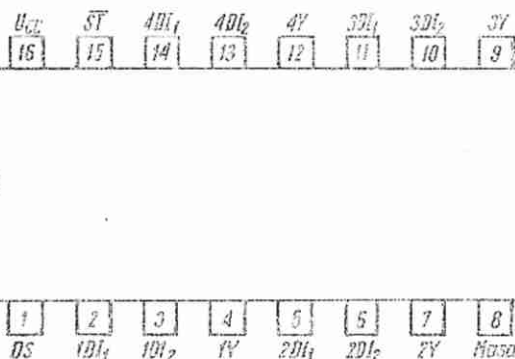


UCY74155N

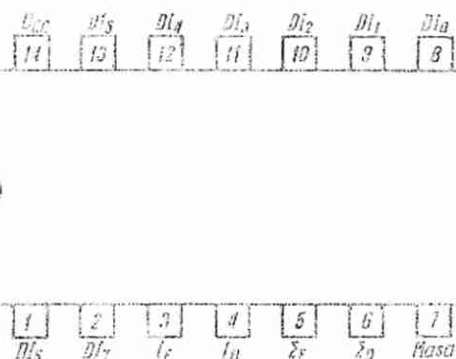




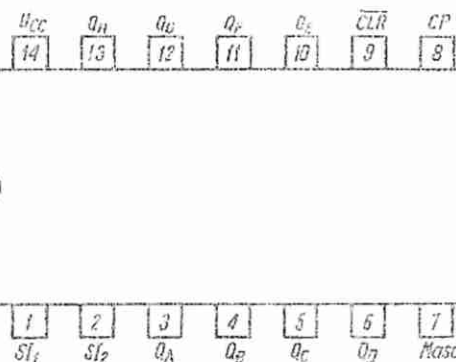
UCY74157N



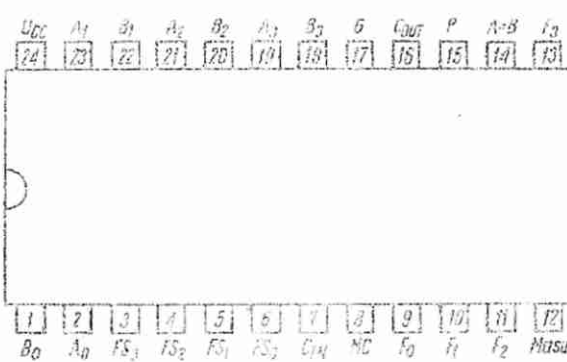
UCY74158N



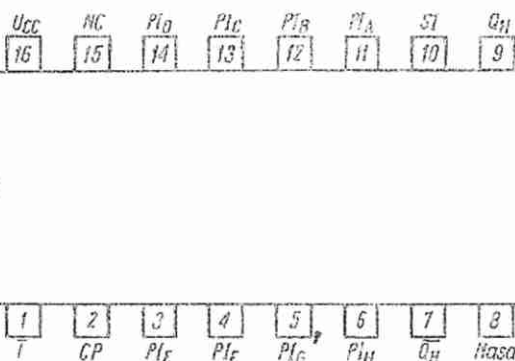
UCY74164N



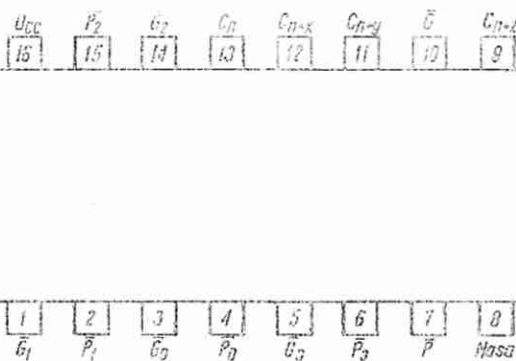
UCY74161N



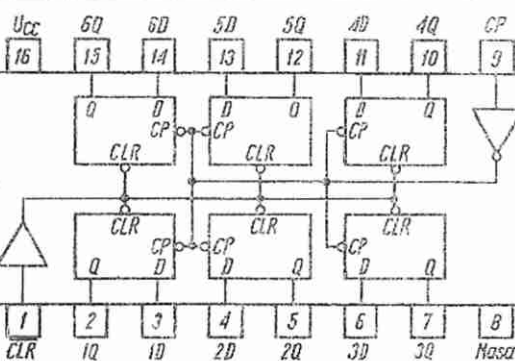
UCY74165N



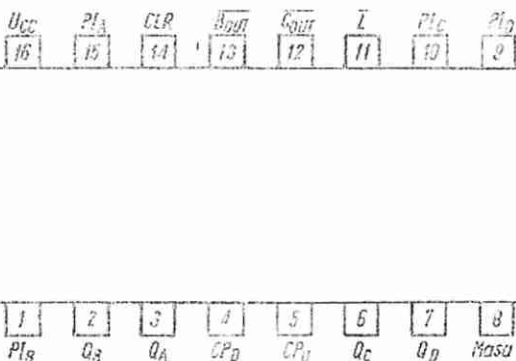
UCY74182N



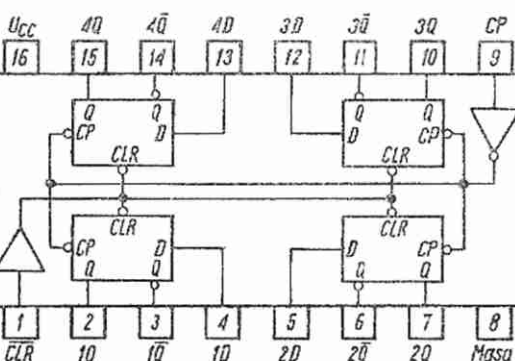
UCY74174N



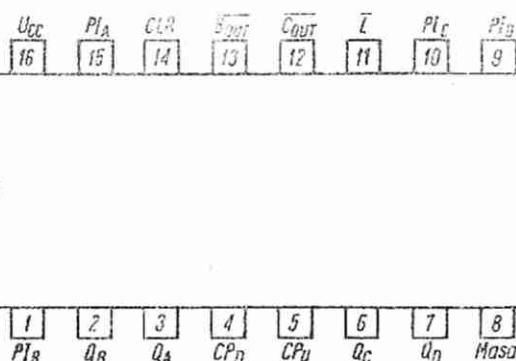
UCY74192N



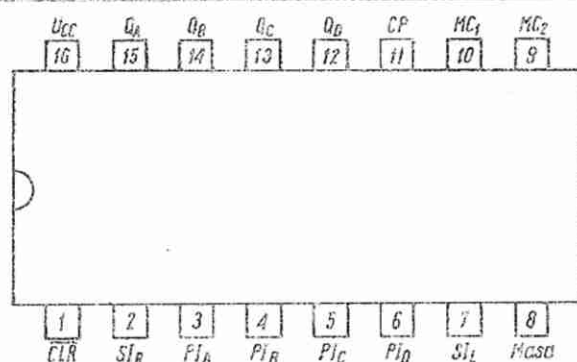
UCY74175N



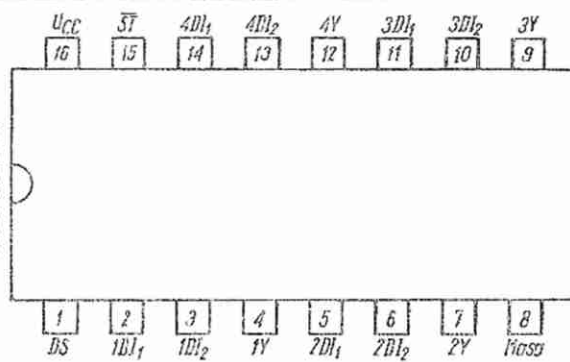
UCY74193N



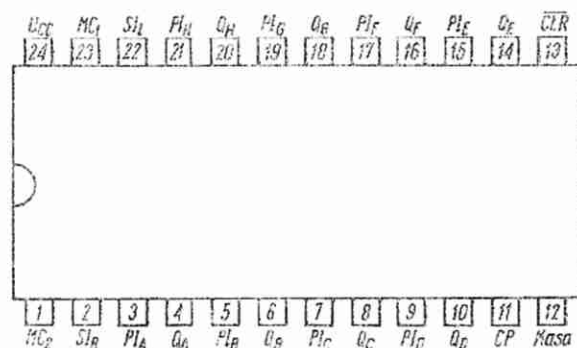
UCY74194N



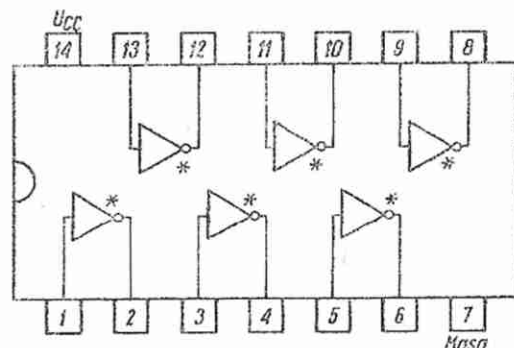
UCY74S158N



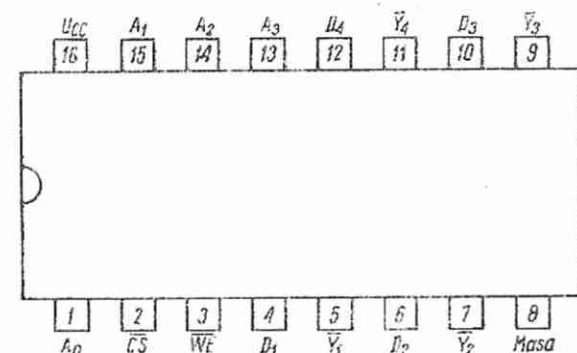
UCY74193N



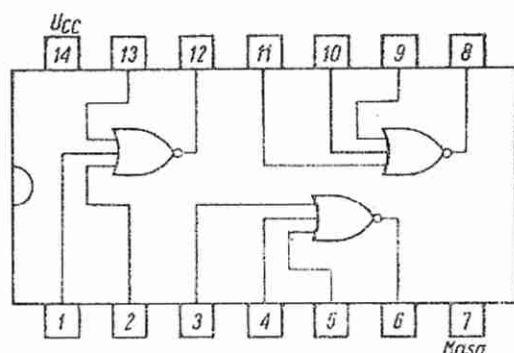
UCY74LS05N



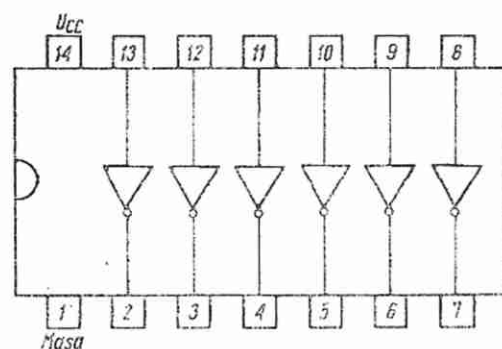
UCY780101N



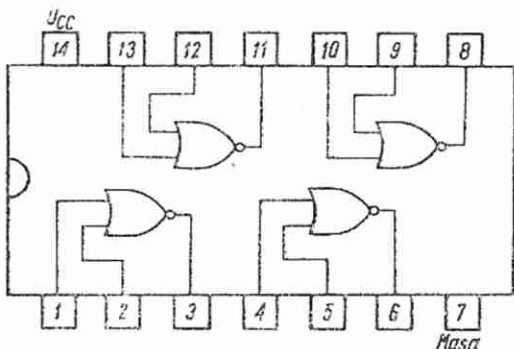
UCY74LS27N



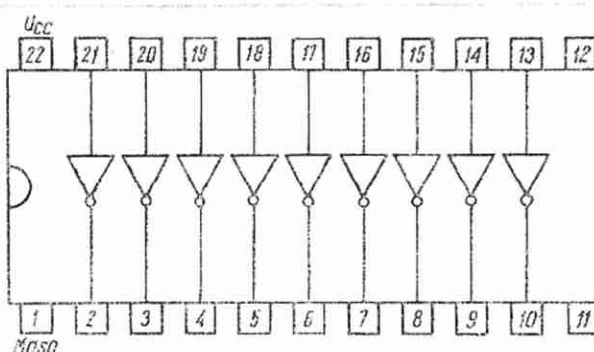
UCY74S47N



UCY74LS32N



UCY74S48N, UCY74S49N



# Precyzyjny wskaźnik dostrojenia tunera FM

W kilku poprzednich numerach „Radioelektronika” były publikowane układy mające na celu ułatwienie dostrojenia detektora FM. Wszystkie one charakteryzowały się niedokładnością wskazań dostrojenia. Niżej opisany wskaźnik (rys. 1) wyróżnia się dużą precyzją działania i wielką czułością. Wskaźnik został zastosowany w tunerze „Faust 206S”. Można go jednak wykorzystać również w innych tunerach, zarówno fabrycznych, jak i wykonanych samodzielnie, w których w torze FM pracuje układ scalony UL1200 lub jego odpowiedniki.

Cechą układu UL1200 jest to, że krzywa S jest podniesiona na poziom napięcia odniesienia  $U_0 = 5,5$  V występującego na wyprowadzeniu 10 (rys. 2a). Dzięki temu można w prosty sposób wykorzystać wzmacniacz operacyjny ULY7741 jako wzmacniacz napięcia różnicowego  $U_S - U_0$ .

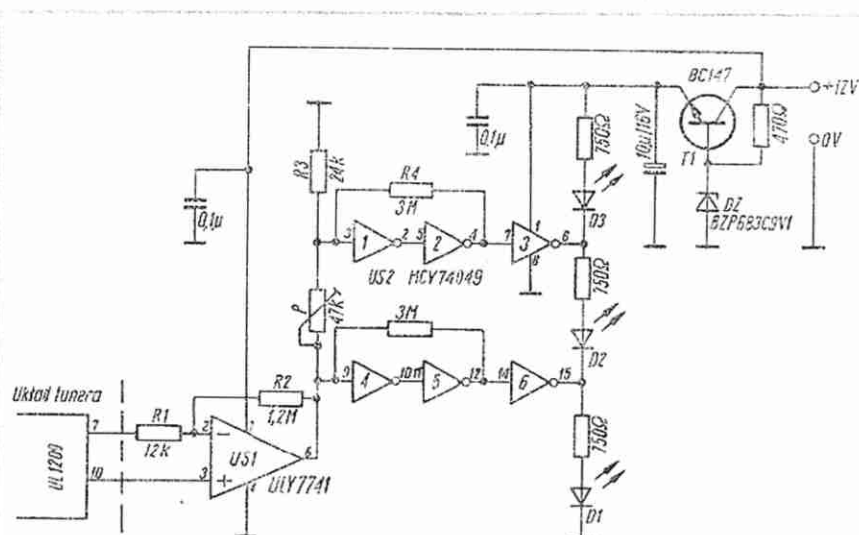
wej częstotliwości  $f_0$ , aby wskaźnik to wykrył.

Powyższy opis dotyczy wzmacniacza błędów; sam wskaźnik jest oparty na produkowanym już w kraju układzie MCY74049 (serie C-MOS), zawierającym sześć inwerterów. Dwa inwertery (1 i 2) objęte dodatnim sprzężeniem zwrotnym (rezystor R4) tworzą przerzutnik Schmitta. Sprzężenie jest tak dobrane, aby histereza przerzutnika była jak najmniejsza. Taki sam przerzutnik tworzą inwertery 4 i 5 oraz rezystor R5. Inwertery 3 i 6 sterują trzema diodami LED umieszczonymi w płycie czołowej odbiornika.

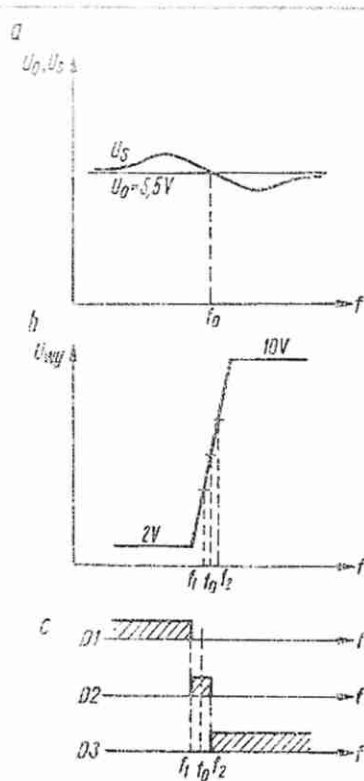
Podczas przejścia od częstotliwości  $f < f_1$  do  $f > f_2$  świeci najpierw tylko dioda D1, potem tylko dioda D2 i na końcu dioda D3. Diody zaświecają się i ciemnieją skokowo, tzn., gdy jedna ciemnieje inna zaświeca się, tak, że świeci zawsze tylko jedna

cym napięcie 8,5 V. Regulacja wskaźnika polega na takim ustawieniu rezystora nastawnego P, aby dioda D2 świeciła przy odstrojeniu od częstotliwości  $f_0$  o taką samą wartość w górę i w dół, tzn. aby  $f_0 - f_1 = f_2 - f_0$ .

Podstawowym warunkiem prawidłowych wskazań jest dokładne zestrojenie samego detektora w tunerze, czego dowodem jest świecenie się diody D2 również podczas pracy odbiornika między stacjami, przy „czystym” szumie.



Rys. 1. Schemat wskaźnika dostrojenia tunera FM



Rys. 2. Przebiegi dostrojenia wskaźnika (objaśnienia w tekście)

(wzmacniacz błędów). W pobliżu częstotliwości dostrojenia  $f_0$  nachylenie napięcia  $U_{wy}$  na wyjściu wzmacniacza jest bardzo duże (rys. 2b), dzięki czemu cały wskaźnik ma dużą czułość. Wystarczy teraz minimalne odstrojenie odbiornika od właści-

wości (rys. 2c). Zakres częstotliwości od  $f_1$  do  $f_2$  jest bardzo wąski, dzięki czemu można z łatwością wykryć odstrojenie tunera od częstotliwości stacji nadawczej ( $f_0$ ). Wskaźnik dostrojenia jest zasilany ze stabilizatora z tranzystorem T1 dostarczają-

## Wykaz ważniejszych elementów

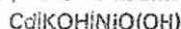
US1 – układ scalony ULY7741 lub  $\mu A741$   
US2 – układ scalony MCY74049 lub MC14049UB  
T1 – tranzystor BC147 lub BC107, BC148, BC149.



# Akumulatory zasadowe szczelnie zamknięte

Akumulatory zasadowe należą do grupy chemicznych źródeł energii elektrycznej reprezentującej jeden z trzech podstawowych układów elektrochemicznych wytwarzanych w skali przemysłowej o szerokim praktycznym zastosowaniu.

Schemat elektrochemiczny akumulatora zasadowego, niklowo-kadmowego:



charakteryzuje skład substancji elektrodowo czynnych i elektrolitu. Po lewej stronie jest podana substancja czynna elektrody ujemnej, po prawej elektrody dodatniej. Pionowe kreski wskazują na granicę elektrody i elektrolitu. Między kreskami jest podawany podstawowy składnik elektrolitu. Z powyższego wynika, że nieodłącznymi częściami chemicznego źródła prądu są elektrody dodatnie i ujemne zdolne do przewodzenia elektronów. Elektrody te jednocześnie zawierają substancje czynne, mogące podlegać procesom utleniania i redukcji. Całość z uwagi na postać elektrolitu, w którym są zanurzone elektrody, jest umieszczona w naczyniu.

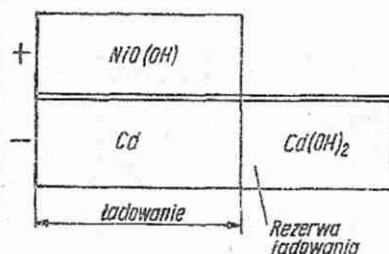
## ZASADA DZIAŁANIA

Końcowy okres ładowania zwykłych otwartych akumulatorów wszystkich układów elektrochemicznych charakteryzuje wydzielanie wodoru i tlenu na elektrodach. Zachodzi to przede wszystkim wskutek elektrolizy ośrodka wędrówki jonów, tzn. wody. W czasie pracy również wydzielają się pewne ilości tych gazów i dlatego akumulatory muszą mieć specjalne otwory umożliwiające ich ulatnianie się. Wydzielające się gazy unoszą ze sobą kropelki elektrolitu, który wywiera szkodliwy wpływ na otoczenie. Akumulatory otwartej budowy wymagają stałej obsługi, a mianowicie: systematycznego

dolewania elektrolitu, usuwania soli z obudowy i regularnych zmian elektrolitu z powodu tworzenia się węglanów. Akumulatory szczelnie zamknięte nie mają tych wad i dlatego są bardzo wygodne w użyciu. Budowę ich przedstawiono na rysunku 1.

Do zastosowania w akumulatorach o szczelnie zamkniętej konstrukcji nadają się tylko te układy elektrochemiczne, w których wydzielające się gazy mogą być pochłaniane przez elektrodową substancję czynną. Do takich należy m. in. układ nikiel-kadm.

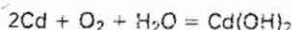
Składniki mas czynnych akumulatora szczelnie zamkniętego w stanie naładowa-



Rys. 2. Składniki mas czynnych akumulatora szczelnie zamkniętego

wanym przedstawiono na rys. 2. Zasada działania tego akumulatora polega na wykorzystaniu właściwości absorbowania tlenu przez gąbczasty kadm. Reakcja ta zachodzi łatwo, gdy tlen może stykać się z częściowo naładowaną elektrodą ujemną. Wodór nie ulega pochłonięciu przez składniki tego układu elektrochemicznego. Wprawdzie podczas ładowania elektrody dodatniej powstają pewne ilości wyższych tlenków niklu, to jednak z wodorem reagują one bardzo powoli. W związku z tym w akumulatorze szczelnie zamkniętym trzeba tak dostosować zawartości mas czynnych pod względem elektrochemicznym, aby nie doszło do wydzielania na ujemnej elektrodzie wodoru. Wydzielania wodoru można uniknąć przez tworzenie w elektrodzie ujemnej rezerwy ładowania, tzn. że po całkowitym naładowaniu elektrody dodatniej, elektroda ujemna ma jeszcze pewną ilość nie wykorzystanego  $\text{Cd}(\text{OH})_2$ .

Tlen powstający na elektrodzie dodatniej reaguje z gąbczastym kadmem metalicznym, tworząc wodorotlenek kadmu zgodnie ze wzorem:



Reakcja ta zachodzi najszybciej na granicy trzech faz  $\text{Cd}|\text{KOH}|\text{O}_2$  i jest reakcją wyładowania elektrody ujemnej. W wyniku tego, nadmierne ładowanie akumulatora szczelnie zamkniętego nie spowoduje nigdy przeładowania elektrody ujemnej, a zatem powstanie wodoru nie jest w nim możliwe.

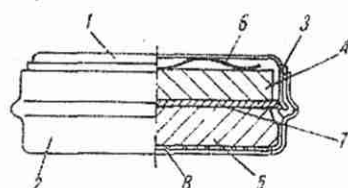
Podczas zmiany biegunowości akumulatora szczelnie zamkniętego, co może się zdarzyć podczas wyładowania baterii, gdy jedno z wielu ogniw połączonych szeregowo wyładowuje się wcześniej, nie może dojść do wydzielania wodoru. Przeciwdziała temu dodatek substancji „antybiegunowych”, czyli wodorotlenku kadmu do elektrody dodatniej i sproszkowanego kadmu do elektrody ujemnej. Schemat elektrodowy akumulatora szczelnie zamkniętego z masami antybiegunowymi przedstawiono na rys. 3.

Wodorotlenek kadmu nie zakłóca pracy elektrody dodatniej podczas normalnego ładowania i wyładowania. Przy głębokim wyładowaniu, kiedy akumulator może zmienić biegunowość,  $\text{Cd}(\text{OH})_2$  w elektrodzie dodatniej redukuje się do metalicznego kadmu, a dodatek sproszkowanego kadmu w elektrodzie ujemnej utlenia się do wodorotlenku.

Po całkowitym wyładowaniu elektrody ujemnej zaczyna się na niej wydzielanie tlenu, który reaguje na elektrodzie dodatniej z gąbczastym kadmem w wyżej opisanym sposobie.

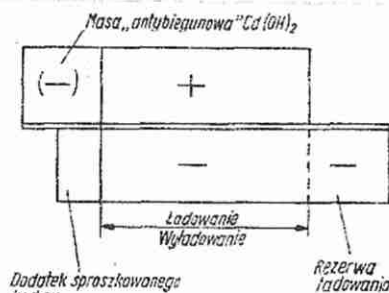
Szybkość pochłaniania gazowego tlenu przez elektrodę kadmową jest czynnikiem określającym dopuszczalne warunki ładowania akumulatorów szczelnie zamkniętych.

Ładowanie prądem 10-godzinny  $I_{10} = Q/10$  w ciągu 14...16 godzin jest normalnym trybem ładowania w temperatu-



Rys. 1. Budowa akumulatora szczelnie zamkniętego

1 - wieczko, 2 - naczynie, 3 - uszczelka, 4 - elektroda ujemna, 5 - elektroda dodatnia, 6 - sprężynka, 7 - przekładka, 8 - podkładka z siatki stalowej



Rys. 3. Schemat elektrodowy akumulatora szczelnie zamkniętego z masami antybiegunowymi

Właściwości fizyczne akumulatorów Ni-Cd szczelnie zamkniętych guzikowych z normalną i zmniejszoną rezystancją wewnętrzną

	Typ	Rozmiary [mm]		Tolerancje rozmiarów [mm]		Masa [g]	Temperaturowy zakres pracy [°C]		
		Ø	H	Ø	H		Ładowanie	Wyladowanie	Magazynowanie
Akumulatory z normalną rezystancją wewnętrzną	KB 12/6	11,6	5,5	-0,3	-0,6	1,5	+15...+35	-10...+40	+5...+30
	KB 16/7	15,5	5,9	±0,3	±0,2	3,1	+15...+35	-10...+40	+5...+30
	KB 26/9	25,2	8,6	±0,2	±0,2	13	+15...+35	-10...+40	+5...+30
	KB 44/8	43	7,5	±0,2	±0,2	39	+15...+35	-10...+40	+5...+30
Akumulatory z zmniejszoną rezystancją wewnętrzną	KBM26/9	25,5	8,8	±0,2	±0,2	13	+15...+35	-18...+40	+5...+30
	KBM 35/10	34,2	9,5	±0,2	±0,3	26	+15...+35	-18...+40	+5...+30

Tablica 2

Właściwości fizyczne akumulatorów Ni-Cd szczelnie zamkniętych cylindrycznych z normalną i małą rezystancją wewnętrzną

	Typ	Rozmiary [mm]		Tolerancja rozmiarów [mm]		Masa [g]	Temperaturowy zakres pracy [°C]		
		Ø	H	Ø	H		Ładowanie	Wyladowanie	Magazynowanie
Akumulatory z normalną rezystancją wewnętrzną	KR 15/51	14,5	50,5	-1	-2	30	+15...+30	-20...+40	+5...+30
	KR 15/90	14,5	90	-1	-2	55	+15...+35	-20...+40	+5...+30
Akumulatory z małą rezystancją wewnętrzną	KRs 15/26	14,5	26,0	-1	-1	13	+15...+35	-18...+40	+5...+30
	KRs 15/51	14,5	50,5	-1	-2	25	+15...+35	-18...+40	+5...+30
	KRs 35/62	34,2	61,5	-2	-2	155	+15...+35	-18...+40	+5...+30

Właściwości elektryczne akumulatorów Ni-Cd szczelnie zamkniętych guzikowych i cylindrycznych z normalną i małą rezystancją wewnętrzną

Tablica 3

		Typ	Napięcie znamio- nowe [V]	Pojemność Q <sub>zn</sub> [Ah]	Parametry optymalne				Tempe- ratura T [°C]
					Ładowanie		Wyladowanie		
					Prąd [mA]	Czas [h]	Prąd [mA]	Napięcie końcowe [V]	
Akumulatory cylindryczne z rezystancją wewnętrzną	normalną	KB 12/6	1,2	0,020	2	15	4	1,0	20±5
		KB 16/7	1,2	0,050	5	15	10	1,0	20±5
		KB 26/9	1,2	0,225	22,5	15	45	1,0	20±5
		KB 44/8	1,2	0,450	45	15	90	1,0	20±5
	zmniejszoną	KB M26/9	1,2	0,225	22,5	15	45	1,0	20±5
		KB M35/10	1,2	0,500	50	15	100	1,0	20±5
Akumulatory guzikowe z re- zystancją wew- nętrzną	normalną	KR 15/51	1,2	0,450	45	15	90	1,0	20±5
		KR 15/90	1,2	0,900	90	15	180	1,0	20±5
	małą	KRs 15/26	1,2	0,225	22,5	15	45	1,0	20±5
		KRs 15/51	1,2	0,500	50	15	100	1,0	20±5
		KRs 35/62	1,2	3,500	350	15	700	1,0	20±5

U w a g a

1. Podczas ładowania w warunkach optymalnych zmiany napięcia ładowania od 1,32...1,50 V/og.

2. Maksymalny, dopuszczalny prąd wyladowania dla akumulatorów guzikowych i cylindrycznych z normalną rezystancją:

 $I_{max} = 1 \cdot Q_{zn}[A]$ , a dla cylindrycznych z małą rezystancją  $I_{max} = 3 \cdot Q_{zn}[A]$

rze pokojowej. W niskiej temperaturze zalecane jest ładowanie mniejszym prądem, ponieważ w tych warunkach elektroda kadmowa bardzo powoli reaguje z tlenem.

## RODZAJE AKUMULATORÓW SZCZELNIE ZAMKNIĘTYCH

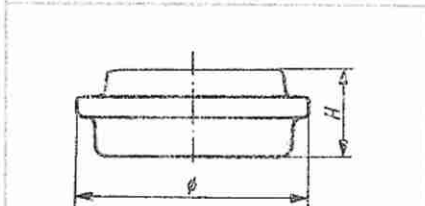
Akumulatory zasadowe, niklowo-kadmowe szczelnie zamknięte są wykonywane w kraju w dwóch zasadniczych wersjach konstrukcyjnych: guzikowej i cylindrycznej. Akumulatory budowy guzikowej są produkowane w sześciu typach o pojemnościach od 20 do 500 mAh z elektrodami prasowanymi, w tym dwa typy w wersji o zmniejszonej rezystancji wewnętrznej. Akumulatory budowy cylindrycznej są produkowane w pięciu typach o pojemnościach od 225 do 3500 mAh, w tym dwa typy z elektrodami prasowanymi, pozostałe trzy z elektrodami spiekanymi. Zarówno akumulatory szczelnie zamknięte guzikowe jak i cylindryczne są wymiarowo zgodne z szeregiem międzynarodowych zaleceń normalizacyjnych IEC (Publikacja 509 i 285).

Właściwości fizyczne i elektryczne akumulatorów szczelnie zamkniętych guzikowych i cylindrycznych produkowanych w kraju przedstawiono w tablicach 1...4, a ich szkice wymiarowe na rys. 4...7.

## WSKAZÓWKI EKSPLOATACYJNE

Akumulatory szczelnie zamknięte są dostarczane przez wytwórcę w postaci uformowanej i naładowanej. Dzięki szczelnej konstrukcji obsługa tego typu akumulatorów poza ładowaniem nie wymaga w zasadzie żadnych zabiegów. Okresowo, w przypadku pojawienia się przy uszczelnieniu białego nalotu wykrystalizowanych soli, należy zetrzeć go suchą szmatką.

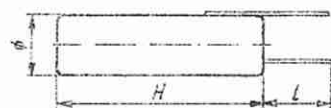
W celu uzyskania maksymalnej trwałości akumulatorów szczelnie zamkniętych należy eksploatować je w warunkach podanych w tablicach i określonych jako warunki optymalne. Akumulatory te mogą pracować w warunkach elektrycznych odbiegających od optymalnych, jednak należy przestrzegać podanych zakresów



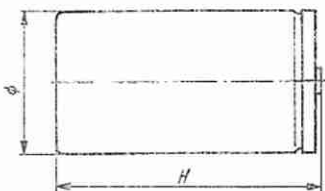
Rys. 4. Szkic akumulatora szczelnie zamkniętego budowy guzikowej, odpowiadający konstrukcji typów KB 12/6, KB 16/7, KB 44/8



Rys. 5. Szkic akumulatora szczelnie zamkniętego budowy guzikowej, odpowiadający konstrukcji typów KB 26/9, KBM 26/9, KBM 35/10



Rys. 6. Szkic akumulatora szczelnie zamkniętego, budowy cylindrycznej, odpowiadający konstrukcji typów KR 15/51, KR 15/90



Rys. 7. Szkic akumulatora szczelnie zamkniętego, budowy cylindrycznej, odpowiadający konstrukcji typów KR 15/51, KR 35/62

temperaturowych, szczególnie górnej granicy  $+40^{\circ}\text{C}$ , przekroczenie której może bardzo szybko doprowadzić do znacznego zmniejszenia pojemności i skrócenia trwałości eksploatacyjnej. Maksymalne dopuszczalne natężenie prądu ładowania nie powinno przekraczać podanych war-

## Leksykon techniki hi-fi i wideo (11)

Drugi dźwięk, drugi sygnał foniczny zawarty w sygnale telewizyjnym. W Europie wprowadzono system nadawania drugiego dźwięku na drugiej częstotliwości nośnej (w odstępnie ok. 242 kHz od pierwszej nośnej), mieszczącej się w pasmie kanału telewizyjnego. Parametry sygnału drugiego dźwięku są takie same, jak pierwszego. Dodatkowo w sygnale d.d. jest nadawany specjalny sygnał, tzw. „pilot”, informujący, czy d.d. ma charakter odrębny, czy też jest to drugi kanał stereofoniczny. Odbiornik telewizyjny przystosowany do odbioru stereofonicznego zawiera dwa toru fonii pracujące z odmiennymi częstotliwościami różnicowymi i jest wyposażony w dekodery stereofoniczne. System TV z drugim dźwiękiem został wprowadzony w końcu 1982 r. do eksploatacji w telewizji zachodniemieckiej i eksperymentalnie w wielu innych krajach. Technika d.d. umożliwia, przy jednoczesnym przesyłaniu dwóch różnych sygnałów fonicznych, wybór jednego z nich przez użytkownika, np. w emisji filmów w oryginale i z dubbingiem.

Duoplay, od Double Play, ang., sposób nagrywania dźwięku na dwóch oddzielnych ścieżkach taśmy magnetofonowej w celu późniejszego jednoczesnego ich odgrywania.

DVE, ang., skrót od Digital Video Effect, nazwa efektów trikowych uzyskiwanych metodą elektroniczną w studiach telewizyjnych, pracujących z sygnałami cyfrowymi. Efekty trikowe polegają na: przenikaniu, łączeniu dwóch lub kilku obrazów bezpośrednio, ograniczaniu obrazu konturami drugiego, ograniczaniu ruchomymi figurami geometrycznymi z jednoczesną zmianą proporcji ich wymiarów. Technika cyfrowa umożliwia uzyskiwanie bardzo różnorodnych efektów trikowych.

Dynaharmony, ang., nazwa firmowa układu wzmacniacza mocy. Składa się on z konwencjonalnego wzmacniacza do wzmacniania wszystkich sygnałów, których amplituda nie przekracza założonego poziomu szczytowego oraz oddzielnego wzmacniacza sygnałów, których amplituda przekracza ten poziom. Przekazywanie sygnałów do wzmacniacza „szczytowego” w miarę pojawienia się sygnałów o dużej amplitudzie następuje automatycznie, bez słyszalnych trzasków przełączeniowych.

Dwuwarstwowa taśma magnetyczna, taśma magnetyczna z dwiema nałożonymi na siebie warstwami materiałów magne-

Wskaźniki energetyczne akumulatorów Ni-Cd szczelnie zamkniętych guzikowych i cylindrycznych

Tablica 4

Typ	Energia (Wh)	Objętość [dcm <sup>3</sup> ]	Masa [kg]	$L_v$ [Wh/dcm <sup>3</sup> ]	$L_g$ [Wh/kg]
KB 12/6	0,0240	0,0005	0,0015	48	16
KB 16/7	0,0600	0,0011	0,0031	55	22
KB 26/9	0,2700	0,0040	0,0130	68	22
KB 44/8	0,5400	0,0120	0,0330	40	18
KBM 35/10	0,6000	0,0090	0,0260	67	23
KBM 26/9	0,2700	0,0044	0,0130	61	20
KRs 15/26	0,2700	0,0043	0,0130	63	21
KRs 15/51	0,6000	0,0083	0,0250	72	24
KRs 35/62	4,2000	0,0520	0,1550	81	29



tycznych, oznaczona symbolem Fe-Cr. Górna warstwa utworzona z tlenku chromu ma na celu dobre przenoszenie górnych częstotliwości sygnału, dolna wykonana z tlenków żelaza, umożliwia dobre przenoszenie małych i średnich częstotliwości sygnału akustycznego. W magnetofonach nie przystosowanych do takiej taśmy należy nagrywać przy ustawieniu przełącznika w pozycji Fe, a odtwarzać w pozycji Cr.

**Dynamiczna korekcja współbieżności**, układ elektroniczny w odbiorniku telewizyjnym wytwarzający prądy elektryczne o odpowiednich przebiegach, które dodane do prądów płynących w zepole cewek odchylających powodują w odbiorniku z kineskopem maskowym, że strumienie elektronów wyrzucanych z poszczególnych dział R, G i B (po przejściu przez otwory maski umieszczonej przed ekranem) są precyzyjnie kierowane na ziarna luminoforu odpowiedniego koloru.

**Dynamiczne śledzenie ścieżki**, DSS, ang., DTF, skrót od Dynamic Track Following; w magnetowidzie, śledzenie ścieżki, polegające na automatycznym precyzyjnym utrzymywaniu głowicy na odczytywanej ścieżce. System opracowany do odczytu gęstych zapisów (HDR). DSS zastosowano po raz pierwszy w magnetowidzie Video-2000, w którym szerokość ścieżek wizyjnych wynosi tylko 22,6  $\mu\text{m}$ , przy czym ścieżki są zapisywane bez odstępów. Głowice wizyjne zamocowane na płytkach piezoceramicznych (aktuatorach) są odchylane pionowo w stopniu zależnym od napięcia doprowadzonego do płytek. Na każdej ścieżce wizyjnej jest zarejestrowany sygnał pilotujący o częstotliwości innej niż na ścieżce sąsiedniej. Po odczycie obu sygnałów z ich różnicy otrzymuje się napięcie, które odchylając głowice wizyjne, zapewnia śledzenie ścieżki. DSS poprawia również jakość odtwarzania powolnego (Slow Motion) i nieruchomego (Freeze Frame). Wprowadzenie DSS umożliwiło w systemie V-2000 pełną wymienną nagrania magnetowidowych.

**Dysk dźwiękowy**, ang., DAD, skrót od Digital Audio Disc, cyfrowa płyta dźwiękowa. Spośród wielu systemów DAD: Compact Disc (CD-Philipsa), AHD (JVC), Mini Disc (Teldec), DAD-2 (Hitachi), P1, P2, P3 (Mitsubishi), DAD-1x (Sony) jeden z nich, a mianowicie Compact Disc (CD) został przyjęty w 1982 r. przez ok. 40 firm i tym samym stał się faktycznym standardem światowym.

**Dyskofon**, odczytywacz dysków, czyli cyfrowych płyt dźwiękowych, zwany też płytofonem cyfrowym bądź gramofonem cyfrowym. Najpopularniejsze dyskofony systemu CD (Compact Disc) są produkowane seryjnie od 1983 r.

tości. Jest to warunek konieczny dla prawidłowego przebiegu reakcji kołowej gazów i niedopuszczenia do wzrostu ciśnienia gazów wewnątrz ogniwa, mogącego spowodować deformację obudowy. Ładowanie mniejszym prądem jest dopuszczalne, należy wówczas odpowiednio przedłużyć czas ładowania, aby dostarczyć właściwy dla pełnego naładowania ładunek elektryczny.

Akumulatory szczelnie zamknięte zaleca się ładować w sposób ciągły, stałym natężeniem prądu ( $I = \text{const.}$ ) najlepiej ze źródła stabilizowanego, do momentu uzyskania niezbędnej pojemności. W przypadku niewiadomego stanu elektrycznego akumulatorów, przed przystąpieniem do ładowania zaleca się przeprowadzić wyładowanie uzupełniające do końcowego napięcia wyładowania wg warunków podanych w tablicach. Czynność ta ma na celu zabezpieczenie przed ewentualnym przeładowaniem, które dla akumulatorów szczelnych nie jest zalecane.

Ładowanie akumulatorów szczelnie zamkniętych stałym napięciem ( $U = \text{const.}$ ), którego szczególną odmianą jest praca buforowa, jest możliwe przy zachowaniu odpowiednich warunków pracy równoległej. Natężenie prądu doładowania naładowanego zestawu akumulatorów szczelnie zamkniętych powinno zawierać się w granicach od  $I = Q/50$  do  $I = Q/100$  [A], co zapewnia właściwy przebieg reakcji wewnątrz ogniwa.

Eksploatacja w temperaturze minusowej powoduje obniżenie oddawanej pojemności w wyniku wzrostu rezystancji wewnętrznej, jednak bez szkody dla akumulatora. Po ogrzaniu do temperatury pokojowej jest on pełnosprawny. Ładowanie akumulatorów szczelnie zamkniętych zasilających urządzenia w temperaturze poniżej  $0^\circ\text{C}$  należy przeprowadzać w temperaturze  $20 \pm 5^\circ\text{C}$ . Przed przystąpieniem do ładowania należy akumulatory ogrzać, przetrzymując je w tej temperaturze przez co najmniej 8 godzin, a następnie wykonać wyładowanie uzupełniające prądem wyładowania podanym w tablicach, do końcowego napięcia wyładowania.

W przypadku zestawów napięciowych, czyli szeregowego połączenia odpowiedniej liczby akumulatorów w celu uzyskania żadanego napięcia źródła, należy okresowo, jednak nie rzadziej niż raz na kwartał lub co 10-15 cykli ładowanie-wyładowanie, przeprowadzić cykl kontrolny. W tym celu należy naładowany zestaw wyładować do napięcia końcowego, kontrolując woltomierzem o zakresie 1,5 V, rezystancji wewnętrznej co najmniej 330  $\Omega/\text{V}$  i klasie dokładności nie niższej niż 1, napięcia wszystkich akumulatorów. Po wyładowaniu określamy pojemność zestawu. Powyższa czynność ma na celu

wykrycie ewentualnych słabych akumulatorów („odstających”) i zastąpienie ich pełnosprawnymi. Przy tej okazji należy obejrzeć i oczyścić akumulatory z nalotów wykrystalizowanych soli, a także wymienić akumulatory wykazujące ślady deformacji obudowy (np. wybrzuszenia).

Akumulatory szczelnie zamknięte przechowuje się w pomieszczeniach suchych, przewiewnych, zabezpieczając je przed korozją oraz przed bezpośrednim promieniowaniem lub innymi źródłami ciepła. W razie przechowywania dłużej niż trzy miesiące, akumulatory szczelnie zamknięte zaleca się przechowywać w stanie wyładowanym. Po okresie przechowywania przekraczającym sześć miesięcy, pierwsze po tym czasie ładowanie lub podładowanie zaleca się przeprowadzić prądem o natężeniu równym połowie prądu optymalnego.

Przestrzeganie opisanych zasad prawidłowej eksploatacji, zawartych również w instrukcjach dołączonych przy zakupie sprawia, że tego typu akumulatory są bardzo praktyczne, ekonomiczne i podatne do wielokrotnego ładowania źródła zasilania.

**Porad w zakresie dobierania i metod eksploatacji miniaturowych akumulatorów zasadowych udziela Centralne Laboratorium Akumulatorów i Ogniwa, ul. Forteczna 12/14, 61-362 Poznań, będące zapleczem naukowo-badawczym przemysłu chemicznych źródeł prądu.**

Przyrządy do sprawdzania i elektronicznej regeneracji kineskopów kolorowych i czarno-białych

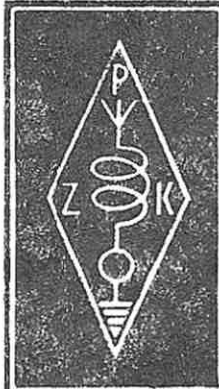
ELJAR

- sprawdzanie zwarcie międzyelektrodowych
- usuwanie zwarcie międzyelektrodowych
- pomiary prądów emisyjnych
- ocena trwałości kineskopów
- elektroniczna regeneracja katod w trzech stopniach intensywności
- wykonanie - metalowy nesoser

Prospekty, aktualne ceny i terminy przekazujemy listownie lub telefonicznie

ZAKŁAD  
ELEKTRONICZNY

inż. ZBIGNIEW JARZĘBIAK  
ul. Żniwna 27E, 94-250 Łódź  
tel. 51-99-83 (w godz. 8-10)



# KRÓTKOFALOWIEC POLSKI

POLSKI ZWIĄZEK KRÓTKOFALOWCÓW  
CZŁONEK MIĘDZYNARODOWEJ UNII RADIODAMATORSKIEJ (IARU)  
Skrytka pocztowa 320, 00-950 Warszawa. Tel. 26-73-73

ORGAN ZARZĄDU GŁÓWNEGO PZK

NR 3 (293) MARZEC 1985

## X PLENUM ZARZĄDU GŁÓWNEGO PZK

W dniu 8 grudnia 1984 r. odbyło się w Warszawie X posiedzenie plenarne Zarządu Głównego Polskiego Związku Krótkofalowców.

W posiedzeniu uczestniczyli członkowie Zarządu Głównego i Głównej Komisji Rewizyjnej PZK. Departament Służby Radiokomunikacyjnej Ministerstwa Łączności reprezentował mgr inż. Zbyszek Kupczyk SP5ZK.

Podczas posiedzenia odbyła się dekoracja grupy działaczy i pracowników PZK Medalami 40-lecia. Otrzymali je: Barbara Staszczak, Jerzy Miśkiewicz SP8TK, Mieczysław Rybak SP5RM i Wiktor Chojnacki SP5QU. Ten ostatni otrzymał także z rąk prezesa PZK Odznakę Honorową PZK.

Porządek dzienny roboczej części posiedzenia obejmował m. in. wystąpienie prezesa PZK, wstępne omówienie wyników kontroli Zarządu Głównego i niektórych Oddziałów Wojewódzkich PZK przez kontrolerów z Ministerstwa Łączności, omówienie przygotowań do Zjazdu Krajowego PZK, nadanie Odznak Honorowych PZK i podjęcie uchwał.

Prezes PZK SP5LVV w swoim wystąpieniu omówił aktualną sytuację Związku ze szczególnym uwzględnieniem przebiegu końcowego etapu tzw. akcji aktualizacji licencji. Stwierdził, że do końca października 1984 r. wydano ogółem 5050 zezwoleń indywidualnych i 468 zezwoleń dla radiostacji klubowych, wliczając w to również zezwolenia wydane po raz pierwszy. W ten sposób stan posiadania krótkofalowców polskich jest większy niż przed dniem 13 grudnia 1981 r.

Protokoły z kontroli Zarządu Głównego i niektórych Oddziałów Wojewódzkich PZK przeprowadzonej przez kontrolerów z Departamentu Rewizji i Kontroli Ministerstwa Łączności omówił obszerne SP5QU. Skontrolowano Oddziały w: Bydgoszczy, Koszalinie, Wrocławiu, Opolu, Rzeszowie (ze szczególnym uwzględnieniem Międzyzakładowego Klubu PZK w Jarosławiu) i Warszawie (ze szczególnym uwzględnieniem Warszawskiego Klubu Krótkofalowców). Najwięcej krytycznych uwag zawarto w protokołach z kontroli OW PZK w Bydgoszczy i Warszawie (WKK). Z uwagi na bardzo obszerny materiał pokontrolny, analizie wyników kontroli i omówieniu koniecznych przedsięwzięć będzie poświęcony główny punkt porządku dziennego następnego posiedzenia plenarnego ZG PZK. Na wniosek skarbnika ZG PZK SP5BFW podjęto uchwałę o formalnym utworzeniu – istniejącego już praktycznie – Funduszu Rozwoju Krótkofalarstwa i powołaniu Rady Funduszu, działającej pod kierownictwem skarbnika Zarządu Głównego.

Przygotowania do Zjazdu Krajowego PZK omówił sekretarz ZG PZK i dyrektor Biura SP8TK. Sprawozdanie z działalności PZK w czasie mijającej kadencji poprawione i uzupełnione zgodnie z propozycjami zgłoszonymi podczas IX Plenum zostało powielone i rozdane uczestnikom posiedzenia.

Wstępne propozycje kandydatur do nowych władz PZK z ramienia ustępującego Zarządu Głównego przedstawił SP5QU. Kandydatury te zostały następnie uzupełnione kilkoma nazwiskami zgłoszonymi przez uczestników posiedzenia, a także dwoma nazwiskami zgłoszonymi na piśmie przez Zarząd OW PZK w Lublinie. Wszystkie kandydatury będą następnie przekazane odpowiedniej komisji zjazdowej, która dokona selekcji według własnego uznania i uzupełni je własnymi propozycjami przed zgłoszeniem pod głosowanie – obok kandydatur zgłoszonych z sali.

Ustalono, że materiały zjazdowe będą uzupełnione opracowaną przez Prezydium ZG PZK analizą realizacji uchwał poprzedniego Zjazdu Krajowego i zaleceń Głównej Komisji Rewizyjnej PZK, a także zaleceniami ustępującego Zarządu Głównego dla jego następcy.

Na zakończenie posiedzenia przyjęto uchwały zredagowane przez Komisję Wniosków i Uchwał, działającą pod kierunkiem SP5HS, a zawierającą wszystkie podjęte w czasie obrad ustalenia. W jednej z uchwał zawarto decyzję Plenum, nadającą Odznaki Honorowe PZK: prezesowi PZK SP5LVV, Janowi Żalikowi SP3AMZ, Ostrołęckiej Spółdzielni Mieszkaniowej i Dyrekcji Pałacu Młodzieży w Szczecinie.

SP5QU

## PRACA POLSKICH STACJI W OCENIE KOMISJI ETTEROWYCH

Wojewódzkie Komisje Eterowe, reaktywowane dwa lata temu, prowadzą już normalną działalność, obserwując pracę polskich radiostacji amatorskich, zwracając w koleżeńskim formie uwagę zainteresowanym w przypadkach drobnych potknięć operatorskich, usterek sygnału i nieumyślnych przekroczeń regulaminu radiokomunikacyjnego czy zasad ham spiritus. Ten blisko dwuletni okres pozwolił Wojewódzkim Komisjom Eterowym, a także Głównej Komisji Eterowej na dokonanie ogólnej oceny jakości pracy polskich radiostacji amatorskich i na wypunktowanie najczęściej spotykanych usterek w ich pracy. Przekazujemy tu w skróconej formie tę ocenę z nadzieją, że ułatwi ona likwidację usterek technicznych i operatorskich oraz przyczyni się do ogólnego podniesienia jakości pracy naszych radiostacji.

Najczęściej spotykane usterki techniczne (jakości sygnału) to:

- niestabilność częstotliwości sygnału VFO, powodująca „wędrowanie” po pasmie radiostacji korespondujących ze sobą,
- nieprecyzyjne wstrzaskanie się na wołanego korespondenta, bądź nadawanie na nieco innej częstotliwości niż częstotliwość odbioru (w przypadku transceiverów), szczególnie utrudniające pracę w grupie,

- modulacja częstotliwości przy emisji SSB, niedostateczne tłumienie zbędnej wstęgi bocznej i fali nośnej, zbyt szerokie widmo częstotliwości zajmowane przez sygnał - zjawiska coraz rzadziej występujące ze względu na coraz większy poziom techniczny sprzętu i dostępność fabrycznych filtrów SSB,

- zniekształcenia nieliniowe, spowodowane złym punktem pracy stopnia końcowego lub sterującego, częstsze w przypadku stopni tranzystorowych niż lampowych, utrudniające odbiór korespondentowi,

- przesterowanie stopni końcowych lub dodatkowych wzmacniaczy mocy, pogarszające jakość sygnału i powodujące zakłócenia, odczuwane dotkliwie przez radiostacje pracujące na zbliżonych częstotliwościach,

- zły ton lub niewłaściwy kształt znaku telegraficznego - zjawiska coraz rzadsze w związku z coraz lepszym poziomem technicznym urządzeń,

- niestabilność częstotliwości generatorów przestrajanych, stosowanych w radiotelefonach UKF-FM w miejsce trudnych do zdobycia rezonatorów kwarcowych, utrudniająca nawiązanie łączności lub pogarszająca zrozumiałość,

- stosowanie zbyt dużej maksymalnej dewiacji częstotliwości przy pracy radiotelefonicznej UKF-FM, co utrudnia odbiór za pomocą sprzętu o węższych filtrach kwarcowych i dodatkowo powoduje występowanie zakłóceń na sąsiednich kanałach,

- nadużywanie mocy przy łącznościach lokalnych lub prowadzonych w bardzo dobrych warunkach propagacyjnych (dotyczy wszystkich pasm i emisji), co przy coraz większym zagęszczeniu radiostacji amatorskich w dużych skupiskach miejskich powoduje u sąsiadów występowanie efektów modulacji skrośnej utrudniającej odbiór słabych sygnałów.

Najczęstszymi usterkami operatorskimi są:

- rozpoczynanie pracy na danej częstotliwości bez uprzedniego upewnienia się, że częstotliwość jest wolna,

- strojenie stopnia mocy na częstotliwości zajętej przez stację, którą zamierzamy zawołać,

- wołanie stacji podczas przeprowadzanej przez nią łączności,

- używanie do literowania znaków wywoławczych imion zdrobniałych i innych wyrazów niż imiona własne i wyrazy przyjęte w literowaniu międzynarodowym,

- niepodawanie znaków wywoławczych radiostacji korespondujących w trakcie dłuższych relacji (rzadziej niż co 5 minut),

- nadmierne gadulstwo, wielokrotnie powtarzane te same zdawkowe grzeczności, nadużywanie w łącznościach fonicznych kodu „Q” i slangu,

- wykraczanie poza dopuszczoną przepisami tematykę rozmów,

- niedostateczna dbałość o czystość języka ojczystego, w którym prowadzone są łączności,

- częste błędy w doborze słów (pomijając błędy gramatyczne), podczas łączności w językach obcych, prowadzonych „z kartki”,

- nierzetelność w podawaniu raportów, niechęć do krytycznej oceny jakości sygnału korespondenta,

- nieprzestrzeganie zasady prowadzenia krótkich łączności z atrakcyjnymi radiostacjami i podczas występowania dobrych warunków propagacyjnych na UKF,

- zanik wzajemnej życzliwości i tolerancji dla drobnych błędów popełnianych w „eterze” przez początkujących, nadmierna drażliwość i nadmierne przekonanie o własnych umiejętnościach operatorskich, a także o jakości posiadanego sprzętu. Komisje Eterowe obserwują szczególne występowanie wymienionych powyżej usterek operatorskich podczas łączności w sieciach radiotelefonicznych UKF-FM, co wynika zapewne z faktu, że wielu początkujących nadawców rozpoczyna tu swoją samodzielną pracę w „eterze”, a także z przekonania, że „To tylko UKF, daleko tego i tak nie słyhać”. Zapomina się

przy tym, że choć zasięg „po Ziemi” takich nadawców jest rzeczywiście niewielki, to „do góry” jest znacznie większy...

Na zakończenie należy zdecydowanie stwierdzić, że wymienione powyżej usterki techniczne i operatorskie naszych radiostacji amatorskich nie są powszechne, stanowią jedynie niewielki margines wielu tysięcy przeprowadzanych codziennie przez nasze radiostacje łączności, poprawnych pod każdym względem. Trzeba jednak o tym mówić i pisać, aby margines ten zniknął zupełnie. Jest to właśnie zadanie Komisji Eterowych.

SP5QU

## W TELEGRAFICZNYM SKRÓCIE

Centralna Radiostacja Amatorska PZK SP5PZK zmienia siedzibę. Zespół przygotowujący i realizujący cotygodniową audycję informacyjną zmuszony był względami technicznymi do przerwania w październiku 1984 r. nadawania audycji, a następnie do zmiany lokalizacji radiostacji SP5PZK. od 16 grudnia 1984 r. audycje informacyjne są nadawane w każdą niedzielę od godziny 11.00 w pasmie 3,5 MHz emisją SSB z Muzeum Techniki (Pałac Kultury i Nauki), skąd radiostacja SP5PZK pracuje niezależnie od radiostacji SP5PMT - stacji klubowej Klubu Krótkofalowców PZK przy Muzeum Techniki. Zespół SP5PZK znalazł tam nie tylko gościnne przyjęcie i dobre warunki do pracy, ale także nowych współpracowników, członków tamtejszego klubu, gościnnie występujących przed mikrofonem SP5PZK. Zespół nadal zaprasza wszystkich chętnych do współpracy, szczególnie przy zbieraniu i opracowywaniu materiałów.

Na stanowisku Award menagera PZK nastąpiła zmiana: po wielu latach pracy odszedł popularny „Kuba” SP5BBB, a jego miejsce zajęła kol. Felicja SP5XYL.

Ukazała się kolejna broszura techniczna wydana nakładem komórki wydawniczej ZG PZK pt. „Cyfrowe układy scalone w urządzeniach KF i UKF” autorstwa mgr inż. Janusza Leszczyńskiego SP5CIB. Bliższe informacje i sprzedaż broszury wyłącznie w Zarządach Oddziałów Wojewódzkich PZK i w Dziale Zaopatrzenia Biura ZG PZK. Tą samą drogą dostępne są jeszcze dwie, poprzednio wydane broszury: „Amatorska radiolokacja sportowa” (autor SP5HS) i „Amatorska łączność radiotelefoniczna UKF-FM w pasmie 144 MHz” (autor SP5QU).

Z okazji zakończenia operacji „Bieszczady 40”, Harcerski Ośrodek Łączności Ełbskiej Chorągwi ZHP wydał 58 okolicznościowych dyplomów za nawiązanie co najmniej 5 łączności z radiostacjami amatorskimi pracującymi ze stanic harcerskich w Bieszczadach, bądź też za 5 nasłuchów tych radiostacji. Wydano: 3 dyplomy dla radiostacji OK, 41 dyplomów dla radiostacji SP oraz 14 dyplomów dla nasłuchowców SP. Za spełnienie dodatkowych warunków 20 stacji SP otrzymało nagrody pamiątkowe.

W dniach od 20 do 27 października 1984 r. odbyły się w Koninie VII Konińskie Dni Techniki pod hasłem: „Młodość - Postęp - Technika” z aktywnym udziałem krótkofalowców województwa. Zorganizowali oni „Dni Aktywności Radiostacji Klubowych” polegające na plenerowej pracy radiostacji klubowych w obiektach, gdzie czynne były stałe ekspozycje „Dni Techniki”. Praca tych radiostacji połączona była z konkursem, mającym na celu popularyzację imprezy. W konkursie wzięło udział 260 krótkofalowców z całego kraju, którzy otrzymali pamiątkowe plakietki. Organizatorzy zapraszają do udziału w podobnej imprezie z okazji tegorocznych VIII Konińskich Dni Techniki.

SP5QU



## NA RATUNEK

Zaczął się dość prozaicznie. W czasie rozmowy SP8COG i SP8IML z dyrektorem Młodzieżowego Domu Kultury w Zamościu zastanawiano się nad celowością większego zainteresowania się miejscowej młodzieży krótkofalarstwem. Wtedy to właśnie SP8IML wysunął projekt zorganizowania obozu harcerskiego wyposażonego w amatorską stację SP8PFI, urządzenia do łowów na lisa itp. Stanowią one nie lada atrakcję dla młodzieży i pozwalają jej spędzić czas na obozie, łącząc przyjemne z pożytecznym.

Dzięki pomocy Komendy Chorągwi ZHP, Ośrodka Łączności LOK i Młodzieżowego Domu Kultury w Zamościu, udało się skompletować potrzebny sprzęt i już w początkach lipca 1984 r. stacja obozowa SP8PFI/8 dała o sobie znać z Majdanu Sopockiego, na skraju malowniczej Puszczy Solińskiej, słynnej z licznych walk partyzanckich 40 lat temu.

Na wyposażenie stacji SP8PFI/8 składały się tx „home made” o mocy 50 W na pasma KF, popularna FM302 z 9-elementową Yagi na pasmo 145 MHz oraz radiotelefony do pracy w paśmie 430 MHz. Służyły one do utrzymywania łączności między pobliskimi czterema obozami harcerskimi. Całość uzupełniały dipole na pasma 3,5 i 14 MHz, skonstruowane przez SP8IML. Dużym powodzeniem cieszyły się „łowcy na lisa”. Trudny teren powodował, że i zbłądzić nie było trudno. Zdarzało się czasem, że to nie zawodnik szukał „lisa” a odwrotnie. No cóż, bywa i tak. Były też chwile pełne szczególnego niepokoju. Oto pewnego popołudnia do namiotu mieszczącego stację SP8PFI/8 wszedł zdenerwowany lekarz jednego z pobliskich obozów harcerskich. Oświadczył on, że ma ciężko chorego pacjenta i prawdopodobnie konieczna będzie operacja chirurgiczna. Należy więc natychmiast wezwać karetkę pogotowia. Ale jak to zrobić? Najbliższy wiejski urząd pocztowy ma wprawdzie telefon, ale po godz. 15 jest już nieczynny. Tomaszów Lubelski był zbyt odległy, aby sprowadzić karetkę pogotowia. Proszę o pomoc nadano drogą radiową. Wezwanie odebrał SP5HS z Warszawy i niezwłocznie na telefoniczne hasło „ratunek” zamówił błyskawiczną rozmowę telefoniczną z Tomaszowem Lubelskim. Trudno opisać zdziwienie pani z centrali telefonicznej tomaszowskiej służby zdrowia, kiedy wiadomość o konieczności wysłania karetki pogotowia do chorego pacjenta w Majdanie Sopockim otrzymała drogą telefoniczną z... Warszawy.

SP8HR

### KĄCIK POCZĄTKUJĄCEGO KRÓTKOFALOWCA

Powracamy do omawiania rodzajów emisji stosowanych w łącznościach krótkofalarskich. Drugą po emisji telegraficznej była – historycznie rzecz biorąc – emisja foniczna, polegająca na modulacji amplitudy sygnału w.cz. fali nośnej przez przebieg akustyczny, uzyskany z mikrofonu i wzmacniony we wzmacniaczu modulacyjnym. Stąd wywodzi się też nazwa tej emisji: AM (z ang. Amplitude Modulation, co można przetłumaczyć jako „amplitudową modulację” – dostosowując tłumaczenie do skrótu). W radiokomunikacji stosuje się dla tej emisji skrót A3E (poprzednio A3).

Nadajnik pracujący z modulacją amplitudy jest nieco bardziej rozbudowany niż nadajnik telegraficzny, za to odbiornik jest prostszy. W nadajniku, poza takimi samymi stopniami jak do pracy telegraficznej, znajduje się wielostopniowy wzmacniacz modulacyjny, którego zadaniem jest wzmacnienie bardzo ma-

łego napięcia o częstotliwości akustycznej, otrzymanego z mikrofonu lub podobnego źródła (magnetofonu, gramofonu), do mocy zbliżonej do wartości mocy wielkiej częstotliwości otrzymywanej ze stopnia końcowego nadajnika. Moc sygnału o częstotliwości akustycznej wydziela się w transformatorze modulacyjnym, przez którego uzwojenie wtórne płynie prąd anodowy lamp końcowych nadajnika. Napięcie o częstotliwości akustycznej występujące we wtórnym uzwojeniu transformatora modulacyjnego dodaje się w ten sposób (lub odejmuje) do napięcia stałego, zasilającego stopień końcowy nadajnika – odpowiednio do chwilowej wartości i kierunku napięcia akustycznego. W rezultacie chwilowa wartość wypadkowa napięcia zasilającego anody lamp końcowych nadajnika zmienia się zgodnie z przebiegiem modulującym, powodując odpowiednie zmiany prądu anodowego, a zatem zmiany chwilowej wartości mocy wielkiej częstotliwości oddawanej przez stopień końcowy nadajnika. Amplituda sygnału w.cz. zmienia się zgodnie z przebiegiem modulującym: zachodzi modulacja amplitudy.

Opisany powyżej proces modulacji określa się mianem modulacji anodowej, ponieważ przebieg modulujący oddziałuje na prąd anodowy stopnia modulowanego. Stosowane są także inne sposoby uzyskania modulacji amplitudy: oddziaływanie jednocześnie na prąd anodowy i prąd siatki ekranującej stopnia modulowanego (modulacja anodowo-ekranowa), a także oddziaływanie na obwód siatki sterującej stopnia modulowanego (modulacja siatkowa).

Widmo częstotliwościowe sygnału w.cz. zmodulowanego częstotliwościowo przebiegiem akustycznym, zawierającym się w granicach np. od 300 do 3000 Hz, o częstotliwości fali nośnej, np. 3600 kHz, zawiera tę właśnie częstotliwość nośną oraz dwie wstęgi boczne. Dolna wstęga boczna zajmuje obszar częstotliwości mniejszych od częstotliwości fali nośnej w granicach od 300 do 3000 Hz, a więc częstotliwości od 3597 do 3599,7 kHz, natomiast druga wstęga boczna (górną), będąca lustrzanym odbiciem wstęgi dolnej – obszar w granicach od 3600,3 do 3603 kHz.

Pasma częstotliwości zajmowane zatem przez sygnał zmodulowany amplitudowo, przy największej częstotliwości modulującej 3000 Hz, wynosi 6 kHz. Powiększenie pasma częstotliwości modulujących powoduje odpowiednie powiększenie pasma częstotliwości, zajmowanego „w eterze”. Na przykład, przy największej częstotliwości modulującej 9000 Hz, pasmo to wzrasta do 18 kHz. Moc wytworzona w nadajniku rozdziela się (przy głębokości modulacji dochodzącej do 100%) następująco: połowa mocy wydziela się w postaci fali nośnej, natomiast pozostała połowa dzieli się na dwie wstęgi boczne.

Odbiornik do odbioru sygnałów zmodulowanych amplitudowo jest najprostszy ze wszystkich rodzajów odbiorników radiowych. Odbiornik detektorowy, zawierający jedynie obwód rezonansowy, diodę półprzewodnikową, kondensator stały i słuchawkę, jest najprostszym wykonaniem takiego odbiornika. Wyselekcjonowany w obwodzie rezonansowym sygnał w. cz. radiostacji odbieranej jest następnie poddany detekcji na diodzie, po której występuje już tylko napięcie o częstotliwości akustycznej, ładujące kondensator stały. Napięcie to steruje słuchawkę, dołączone równolegle do kondensatora.

Praktycznie odbiornik ma więcej stopni: prawie tyle samo, co omówiony już odbiornik do odbioru telegrafii, z wyjątkiem generatora pomocniczego do odbioru CW (BFO). Emisja AM prawie całkowicie zginęła dziś z pasm amatorskich, ze względu na szerokość zajmowanego pasma, a także na fakt, że do przeniesienia informacji wystarczy jedna wstęga boczna, na której wytworzenie zużywa się jedną czwartą mocy nadajnika. Dziś panuje niepodzielnie (jeśli chodzi o nadawanie foniczne) emisja jednowstęgowa (SSB), ale o niej w następnym numerze.

SP5QU

## 35-lecie działalności edytorskiej Wydawnictwa Czasopism i Książek Technicznych SIGMA

W grudniu ub.r. Wydawca naszego pisma – WCIKT SIGMA obchodziło jubileusz 35-lecia swego istnienia. Wydawnictwo Czasopism i Książek Technicznych SIGMA – Przedsiębiorstwo Naczelnej Organizacji Technicznej, bo taka jest pełna nazwa SIGMY, jest największym w Polsce wydawnictwem czasopism naukowo-technicznych: 89 tytułów o łącznym nakładzie 20 mln egzemplarzy (35 lat temu Wydawnictwo firmowało 9 tytułów). Wśród wydawanych obecnie tytułów czasopism wiele z nich znanych jest od ponad 50, 70, a nawet 100 lat. Najstarszymi są: „Przegląd Techniczny” założony w 1866 r., „Przegląd Elektrotechniczny” (1919), „Przegląd Telekomunikacyjny” (1928). Nie można przy tym pominąć i naszego „Radioelektronika”, będącego kontynuatorem dwutygodnika „Radio-Amator” założonego w 1924 r. Pisał o tym dokładniej w numerze 1/1985 z okazji naszego jubileuszu.

Kontynuuje zatem SIGMA i doskonali tradycje polskiej kultury inżyniersko-technicznej, przyczyniając się tym samym do podnoszenia na wyższy poziom kwalifikacji zawodowych w środowiskach technicznych.

„Potentat słowa technicznego” SIGMA skupia w swojej stałej współpracy merytorycznej wielu przedstawicieli nauki i przemysłu, ekonomistów i dziennikarzy. Etatowi dziennikarze legitymują się wyższym wykształceniem technicznym. Co roku publikuje swoje prace na łamach różnych czasopism SIGMY około 14 tys. autorów. Rady programowe działające przy licznych redakcjach reprezentują społecznie pracujący inżynierowie, technicy, ekonomiści – przeważnie działacze stowarzyszeń i komitetów NOT. Ich liczba wynosi około 3 tys.

Silne związki SIGMY ze stowarzyszeniami różnych specjalności ułatwiają i umożliwiają publikowanie fachowych artykułów dot. poszczególnych dziedzin techniki, reportaży, opinii i informacji z zakładów produkcyjnych, ośrodków badawczych i uczelni. Odbiorcami czasopism SIGMY są szerokie rzesze czytelników: kierownicy zakładów przemysłowych, central handlu zagranicznego, studenci i pacownicy naukowcy w uczelniach i w instytutach naukowo-badawczych.

Czasopisma SIGMY są przeznaczone również dla dzieci i młodzieży oraz dla tych wszystkich czytelników, których interesuje technika nieprofesjonalna. Na przykład: „ABC Techniki”, „Kalejdoskop Techniki”, „Horyzonty Techniki”, „Zrób Sam” i oczywiście „Radioelektronika” oraz dodatek „Audio hi-fi Video”.

Jak wynika z oficjalnej nazwy SIGMY, jest to wydawnictwo również książek technicznych. SIGMA rozpoczęła edycję książek popularno-naukowych. Ukazała się już książka „Przygody z Macheim” popularyzująca matematykę, chemię i fizykę. W druku jest książka dla dzieci „Bajki, legendy, opowieści z historii techniki”, „Elektron wokół nas” oraz 3-tomowa encyklopedia „Zrób sam – Vademecum”. Z serii „Biblioteka radioelektronika” ukazała się pozycja „Fonografia '84”. W przyszłym roku i następnych latach zainteresują naszych czytelników na pewno takie wydawnictwa książkowe, jak: „Układy amatorskich wzmacniaczy elektroakustycznych”, „Zestawy głośnikowe”, „Schematy sprzętu radioelektronicznego”, „Układy scalone w sprzęcie elektroakustycznym”, „Mikrokomputer – programowanie w Basicu”, „Mikrokomputer, co to takiego”, „Mikroprocesory 8080 i Z80”. Poza tym w planach wydawnictw książkowych na 1985 r. i lata następne ujęte są pozycje z innych dziedzin (lotnictwo, drewno).

Z okazji jubileuszu 35-lecia SIGMY odbyło się 13 grudnia ub.r. uroczyste spotkanie kierownictwa SIGMY z zaśluzonymi pracownikami, współpracownikami, przedstawicielami NOT oraz zaproszonymi gośćmi. Podczas uroczystości wielu pracowników zostało odznaczonych wysokimi odznaczeniami państwowymi, resortowymi, medalami i odznakami. Wśród nich znalazła się nasza koleżanka, sekretarz redakcji – Eugenia Grudzińska, odznaczona Kawalerskim Krzyżem Odrodzenia Polski. Dekoracji dokonali z-ca przewodniczącego Rady Państwa Tadeusz Młyńczak oraz prezes NOT prof. Jan Kaczmarek.

Uroczystości jubileuszowe zainaugurowane były otwarciem wystawy w klubie SIGMY w Warszawie, prezentującej bogaty dorobek edytorski tego wydawnictwa.

## 26 Międzynarodowe Targi Maszynowe w Brnie

### WYBRANE ZASTOSOWANIA ELEKTRONIKI

#### Korepondencja własna

Niejednokrotnie mieliśmy okazję przekazywać naszym Czytelnikom relację z Międzynarodowych Targów Maszynowych w Brnie. Tym razem nie chcemy przytaczać liczb świadczących o znaczeniu tej imprezy i rozmachu z jakim ją przygotowano, ani dokonywać mniej lub bardziej systematycznego przeglądu ekspozycji krajów uczestniczących w Targach. Pragniemy natomiast zapoznać czytelników z niektórymi ważnymi, lecz mniej znanymi współczesnymi zastosowaniami elektroniki.

#### URZĄDZENIA TERMOWIZYJNE

Dzięki rozwojowi termografii, techniki wykorzystującej promieniowanie podczerwone, stało się możliwe tworzenie obra-

zów, na których są widoczne różnice temperatur poszczególnych obszarów obserwowanych obiektów, a także zmiany rozkładu temperatury. Termografia znajduje obecnie bardzo szerokie zastosowanie. Można na przykład za pomocą odpowiedniej aparatury obserwować rozkład temperatur na płycie drukowanej z elementami elektronicznymi wzmacniacza mocy. Odnalezienie na powierzchni ciała człowieka obszaru o podwyższonej temperaturze pozwala zlokalizować miejsce chorobowych wewnętrznych zmian. Kamera termowizyjna umożliwia ustalenie miejsc w budynku o największych stratach ciepłych. Bez trudności można dzięki promieniowaniu podczerwemu zauważyć nadmiernie nagrzewający się, a więc uszkodzony izolator linii przesyłowej wysokiego napięcia. Naturalnie, istnieje jeszcze wiele przykładów zastosowań termowizji.

Funkcjonowanie urządzeń termowizyjnych można objaśnić na przykładzie aparatury szwedzkiej firmy AGA, specjalizującej się w tej dziedzinie. Najważniejszymi elementami aparatury są: kamera termowizyjna i widoczny niżej monitor z lampą kinoskopową. Całość jest w swojej istocie odmianą telewizji przemysłowej z kamerą wyposażoną w lampę obrazową czującą na niewidzialne dla oka promieniowanie podczerwone. Najprostsza aparatura umożliwia uzyskanie na monitorze czarno-białego obrazu obserwowanego przedmiotu, na którego powierzchni cieplejsze miejsca są jaśniejsze, a obszary o niższej temperaturze ciemniejsze.

Sygnał wizyjny z kamery jest z reguły poddawany dalszej obróbce, aby ułatwić odczytywanie zawartej w obrazie obserwowanego przedmiotu informacji. Np., na fot. 2 przedstawiono transformator oraz jego obraz termiczny, negatywowym, w którym bardziej nagrzana część jest ciemniejsza. Zwiększono przy tym wyrazistość obrazu dzięki 5-stopniowej skali kontrastu, świadomie redukując ilość półcieni. AGA oferuje m. in. złożoną aparaturę typu Thermovision 782 „Discon” (fot. 1), w skład której wchodzi kamera wizyjna wraz z własnym monitorem oraz interfejs „Discon” (nag. Digital Infrared System for Coloration). Interfejs umożliwia dołączanie standardowego telewizyjnego monitora czarno-białego z dużym ekranem, a także monitora telewizji kolorowej, prezentującego obraz termowizyjny w 10 kolorach. Obraz można rejestrować za pomocą magnetowidu systemu VCR, jeśli stosuje się interfejs „Discon” lub za pomocą dostosowanego magnetowidu, dołączonego bezpośrednio do monitora Thermovision 782.

#### KONTROLA STANU TECHNICZNEGO MASZYN

Podstawowym problemem w każdym zakładzie produkcyjnym jest zapewnienie bezawaryjnej pracy maszyn, ponieważ często się zdarza, że uszkodzenie jednego tylko urządzenia dezorganizuje cały proces produkcyjny. Ze względów ekonomicznych jest nie do pomyślenia instalowanie drugiego kompletu maszyn traktowanych jako rezerwowe. Nawet przechowywanie pełnego zestawu części zamiennych do wszystkich maszyn byłoby zbyt kosztowne. Często stosowanym rozwiązaniem jest przeprowadzanie zapobiegawczych przeglądów, przy czym czas od jednego przeglądu do drugiego jest dobierany doświadczeniowo. Ta metoda też nie jest wolna od wad. Nie można wykluczyć nieoczekiwanej awarii jednej z maszyn. Nie ma się pewności, czy przeprowadzenie okresowego, zazwyczaj kosztownego przeglądu było konieczne. Doświadczenie uczy, że podczas przeglądu maszyny można w niej coś mimowolnie uszkodzić.

Od dawna wiadomo, że poziom głośności pracy maszyn pozwala oceniać z pewnym przybliżeniem ich stan techniczny. Wiedzą o tym dobrze doświadczeni mechanicy samochodowi i po „osłuchaniu” silnika potrafią postawić dość dokładną diagnozę określając stopień zużycia i wadliwe zespoły.

Elektronika pozwoliła znacznie udoskonalić metodę określania stanu technicznego maszyn, opartą na ocenie poziomu i charakteru drgań mechanicznych. W konstruowaniu i wykorzystywaniu elektronicznej aparatury do tych celów wyspecjalizowała się znana firma Brüel-Kjaer. Stosowana przez tę firmę metoda polega na analizie widma częstotliwości drgań badanej maszyny. Zmiana drgań mechanicznych na sygnały elektryczne odbywa się za pomocą specjalnych przetworników przymocowanych do korpusu maszyny. Na poglądowej ilustracji (fot. 3) przedstawiono obrazowo zależność między częstotliwością drgań a źródłem, które je wytwarza. Na osi pionowej wykresu zaznaczono amplitudę drgań, a na poziomej ich częstotliwość.

Analiza częstotliwości umożliwia nie tylko wczesne wykrywanie uszkodzenia lub zużycia się elementu maszyn, lecz także ustalenie źródła drgań, którym może być na przykład wirnik silnika, sprzęgło, zużyte koła zębate, nadmierne luzy łożyska.

Wczesne wykrycie postępującego zużycia elementów maszyny pozwala na wyłączenie jej z ruchu w dogodnym momencie, zanim nastąpi awaria. Można, co jest równie ważne, dostosować terminy przeglądów i napraw do technicznie uzasadnionych potrzeb, rezygnując z większości przeglądów profilaktycznych. Obniża się w ten sposób koszty eksploatacji maszyny i bardzo znacznie zmniejsza ryzyko niespodziewanej awarii. Zależnie od potrzeb maszyna może być kontrolowana za pomocą wbudowanej aparatury stale lub okresowo – rzadziej, gdy jest mało zużyta, a coraz częściej gdy wyniki badań wskazują na postępujące zużycie jej zespołów. W tym drugim przypadku stosuje się przenośne zestawy pomiarowe. Firma Brüel-Kjaer oferuje przede wszystkim bardziej złożoną aparaturę diagnostyczną do wykrywania, analizy i rejestracji drgań oraz wibracji. W wielu przypadkach wystarczają prostsze, mniej dokładne urządzenia, np. do oceny stanu technicznego silników elektrycznych. Firma SPM Instrument oferuje przyrząd do sprawdzania stanu technicznego łożysk tocznych (fot. 4). Podczas pracy tego rodzaju łożysk powstają charakterystyczne drgania – „impulsy uderzeniowe”. Ich amplituda jest dobrym miernikiem stanu łożyska. Przyrząd do pomiaru impulsów uderzeniowych zasilany z baterii, charakteryzuje się małymi wymiarami i jest przeznaczony do szybkiej kontroli stanu łożysk. Można go łatwo przenosić. W celu określenia stanu łożyska, na podziałce przyrządu nastawia się dane dotyczące średnicy łożyska. „Impulsy uderzeniowe”, których amplituda przekracza nastawiony poziom, wywołują krótkie, głośne sygnały akustyczne. Podziałkę obraca się następnie do momentu zaniknięcia sygnału i odczytuje zmierzoną wartość określającą stan techniczny łożyska.

Firma SPM Instrument oferuje także złożoną aparaturę kontrolną, nadzorującą w sposób ciągły pracę łożysk w dużych, skomplikowanych maszynach.

#### POMIARY WARSZTATOWE

Także i w tej dziedzinie znalazły zastosowanie urządzenia elektroniczne. Postęp techniczny można zaobserwować na przykładzie warsztatowych narzędzi pomiarowych japońskiej firmy Mitutoyo. Znana od wielu lat suwmiarka niewiele zmieniła swój wygląd zewnętrzny (fot. 5.), ale jej użytkowe właściwości polepszyły się w zasadniczy sposób. Wynik pomiaru odczytuje się na pięciocyfrowym wskaźniku ciekłokrystalicznym z dokładnością do 0,01 mm. Suwmiarkę można wykorzystywać także do pomiarów porównawczych. Na przykład, po zmierzeniu średnicy wzorcowego wałka i nastawieniu zera na wskaźniku, sprawdza się wymiary wyprodukowanych detali i odczytuje odchyłki od nominalnej wartości. Suwmiarka typu Digimatic CD-M jest wyposażona w gniazdo wyjściowe danych pomiarowych i może współpracować z urządzeniem do statystycznej obróbki wyników pomiarów.

Typowym przykładem elektronizacji pomiarów może być przedstawiony na fot. 6 nowoczesny zestaw do pomiarów warsztatowych. W jego skład wchodzi: zegar pomiarowy z czujnikiem (Digimatic ID-M), urządzenie programujące (Digimatic presetter) i procesor (Digimatic DP-1) do obróbki wyników pomiarów. Zegar pomiarowy ma wskaźnik, na którym można odczytywać m. in. wyniki pomiarów z dokładnością 5 µm przy odcinku pomiarowym 50 mm. Na wskaźniku są wyświetlane ponadto informacje dotyczące kierunku pomiaru (ruch czujnika zegara w górę lub w dół), przekroczenia dolnej lub górnej granicy tolerancji. Maksymalna lub minimalna wartość mierzonej wielkości może być utrwalona w wewnętrznej pamięci.

Urządzenie programujące jest wyposażone w klawiaturę do wprowadzania danych dotyczących mierzonej wartości oraz granic tolerancji. Procesor z wbudowaną drukarką odnotowuje maksymalne i minimalne wartości z pomiarów oraz średnią

Cd. na III str. okł.



# OGŁOSZENIA

**Telewizyjne głowice zintegrowane** (typ ZTG) naprawiam. Roczna gwarancja. Mgr inż. Adam Skubis, ul. Karłowicza 2/7, 44-200 Rybnik (można przelać pocztą).

**MIKROFONOWA PRZYSTAWKA** do akordeonu 80 i 120 bas oraz **UCHWYTY** do kolumn. Producent: Mechanika Precyzyjna, ul. Cyprysowa 13/15, 91-365 Łódź.

**Naprawiam** telewizyjne głowice ZTG krajowe i zagraniczne, adaptery UHF oraz wykonuję na zamówienie zestawy VHF/UHF zastępujące przełączniki kanałów w odbiornikach TV lampowych (Ametyst, Beryl, Naptun itp.). Informacje, zamówienia tel. 35-57-80, w godz. 17-19. Andrzej Kulibaba, ul. Andersena 2 m. 6, 01-911 Warszawa. Głowice do naprawy można przelać pocztą.

**Gotowe płytki drukowane** do urządzeń elektronicznych wysyła za zaliczeniem pocztowym Zakład Elektryczno-Elektroniczny, ul. Kalinogrodzka 75/25, skr. poczt. 539, 10-437 Olsztyn. Chcąc otrzymać katalog płytek, należy załączyć w liście pięć znaczków po 10 zł.

**Profesjonalne przyrządy** do badania i elektroniki cznej regeneracji kineskopów czarno-białych i kolorowych wykonuje REWO-Elektronika, skr. poczt. 449, 00-950 Warszawa.

**Sprzedam** kalibrator kwarcowy, multiplexer oscyloskopowy, generator programowy i inne urządzenia zmontowane na płytkach drukowanych. Jerzy Wołk, ul. Chopina 22, 63-600 Kępno. Zestaw do samodzielnego wykonania obwodów drukowanych (laminat, odczynniki, instrukcja) wysyłam za zaliczeniem pocztowym. Zestaw 420 zł. Zamówienia kierować: Krawczyński, 90-950 Łódź 1, skrytka pocztowa 344.

**Kupię** MC1203, odpowiedniki. Urbański, 00-950 Warszawa, skr. poczt. 947.

**Sprzedam** niekompletne obudowy do oscyloskopów. Informacje za znaczek pocztowy 10 zł. „Precmech”, Częstokowska 34, 01-678 Warszawa.

**Próbniki stanów TTL** z pamięcią – 1560 zł, testery układów TTL i inne urządzenia. Informacje – po otrzymaniu koperty + znaczek. Zakład Elektromechaniczny, 90-960 Łódź 11, skr. 54.

**Generatory SECAM**, pasy barwne, cena 32 000 zł. PAL na zamówienie. Producent: Zakład Elektryczny, ul. Bonifacego 11B, 02-909 Warszawa.

**Sprzedam** miernik uniwersalny i oscyloskop MINI-4. Sobel, ul. Pstrowskiego 78/15, 41-803 Zabrze.

**Komplementarne układy** redukcji szumu do M2403/4/5/7/8/11/12/25, M551, ZK246. Generatory funkcyjne. Informacje (znaczką za 30 zł): Stanisławski, os. ZWM 59/5, Poznań.

**Sprzedam** SINCLAIR ZX81. Gdynia, tel. 23-12-86

**Syntezatory MUSEL** – znakomite i tanie, tel. 12-40-73, 38-64-82, Świerczewskiego 88 m. 49, 01-003 Warszawa.

**Sprzedam** układy na fonii niemiecką do OTV. Podać typ OTV. Cena 1220 zł. Zakład Elektroniczny, 68-30 Lubska, skr. poczt. 20.

**Wykonam** na zamówienie elektroniczny syntezytor muzyczny sterowany przez mikrokomputer. Jakość gwarantowana. Krzysztof Kuryłowicz, Opole 1, poste restante.

**Kupię** sondę SWN-302 (lub schemat), triaki TXC 10k40M, etui UM-112, 1  $\mu$ /630 V. Sprzedam części elektroniczne. Aleksander Naumczyk, ul. Bielska 36, 17-106 Orla.

**Kupię** przekształtnik elektromagnetyczny RM 2/12 V styki na 2 A i 220 V, transformator sieciowy TS-2/10, diodę ZENERA BZP611 C 5V1 lub BZP630 C 5V1 oraz układ scalony AY-3-8610. Oferty z ceną kierować na adres: Marek Kosiak, 39-121 Borek Wielki 66, woj. rzeszowskie.

**Specjalistyczne przedsiębiorstwo** polonijno-zagraniczne „Ired” oferuje atestowane wysokiej klasy urządzenia przeciwwłamaniowe i instalacje alarmowe dla instytucji, obiektów sa-

kralnych i willi. Ceny konkurencyjne. Jednocześnie oferujemy magnetyczne czujniki kontaktowe. Zamówienia prosimy składać: Kaziemierzówka, 21-040 Świdnik.

**Odstąpię** różne półprzewodniki jak układy zegarowe z wyświetlaczami LED i LCD (duże cyfry), diody LED, tranzystory, tyrystory, triaki, rezonatory kwarcowe 32 768 Hz, 1 MHz, 10 MHz, filtry 9 MHz z pilotami, gotowe płytki zegarów z programowalnym, odczyt cyfrowy do tunera, multimer V 640. Spis za zaliczeniem znaczka 20 zł z kopertą. Andrzej Górski, Matejki 3, 05-070 Sulejów.

**Atrakcyjne urządzenia elektroniczne** w formie modułów lub zestawów do samodzielnego montażu (cyfrowy odczyt częstotliwości AM/FM do odbiornika radiowego, 10-kanałowy korektor graficzny, zegary cyfrowe, urządzenia pomiarowe i wiele innych). Napisz! Otrzymasz katalog naszych propozycji przysyłając zaadresowaną kopertę ze znaczkiem. JP-electronic, skr. poczt. 29, 83-000 Pruszcz Gdański.

**Poszukuję** kineskopu do OTV Elektronika 100. Oferty z ceną kierować na adres: Andrzej Lewicki, Osiedle Sikorskiego 18B/8, 44-244 Żory.

**Kupię** multimer V640 – może być uszkodzony. A. Kujawski, ul. Armii Czerwonej 63, 97-400 Bełchatów.

**Kupię** układy scalone U401B,  $\mu$ A709,  $\mu$ A741,  $\mu$ A748, tranzystory TIP2955, TIP3055, 2N6491, 2N6488, BC546, BC556, filtry kwarcowe 19 kHz. Oferty z ceną: Robert Koziuk, Plac Obrońców Warszawy 6 m. 5, 09-402 Płock.

**Nowoczesne wykrywacze metali** typu „PULSE-INDUCTION”. Zasięg ok. 1 m. Cena 23 000 zł. Wyrób i naprawa urządzeń elektronicznych – inż. A. Stasiak, ul. Przestrzenna 24/2, 50-533 Wrocław, tel. 67-57-88.

**Sprzedam** dokumentację wykrywaczy metali. Ryszard Siudek, 32-048 Jerzmanowice 120a.

**Sprzedam** Funk Technik, QST, MC10105P, 10109B, 10130B, dokumentację do wykonania monitora SSTV, LC531. Informacja – koperta ze znaczkiem. Stefan Żubił, Pruszków 4, 68-115 Rudawica.

**Sprzedam** uniwersalny oscyloskop radziecki –11 MH. Grażyna Łukasik, Osiedle Witosza 6/5, Jarosław. Wiadomośc po godz. 18.

**Mikrofonowe wkładki** krystaliczne – 300 zł/szt. wysyła za pobraniem Zakład Elektromechaniczny, ul. Nawrot 45, 90-014 Łódź.

**Nawiążę** listowy kontakt z elektronikami. Obustronna pomoc materiałowa. Zawsze aktualne. Konstanty Obuchowicz, 90-960 Łódź 11, skr. poczt. 98.

**Sprzedam** obudowy z kompletną mechaniką od RB-3200. W rozliczeniu mogę przyjąć MC1203 z odpowiednimi układami driverowymi i wyświetlaczami LED o wysokości około 15 mm oraz schematem układu funkcjonalnego ww zegara-timera. Ryszard Żuber, Wyzwolenia 53, 88-200 Radziejów.

**Sprzedam** TV komputer ZX-SPECTRUM Sinclair 48K, programy i gry TV. Jacek Spoczyński, Koralegatan 52 MALMO, S-21470 SVERIGE, tel. 8046-40219197.

**Wykonuję** płytki drukowane. Wysyłkowa sprzedaż płytke uniwersalnych. Szczegóły po przysłaniu koperty zwrotnej. Leszek Kaźmierski, Pomorska 29/3, 50-216 Wrocław.

**Kupię** pilnie małogabarytową lampę oscylograficzną. Typ dowolny. Oferty: Stanisław Matusek, ul. Mikołowska 36/13, 41-400 Mysłowice 1 (Pracownia Bioenergetyki).

**Nowe typy obwodów** do urządzeń elektronicznych oferuje Zakład Rzemieślniczy, 43-445 Dąbrowa 178. Przyślij zaadresowaną kopertę z znaczkiem.

**NEGATYWY**, dia, metodą fotograficzną obwodów drukowanych matryc. Zdjęcia katalogowe urządzeń dla instytucji wykonuje Foto-Studio: Al. Jerozolimskie 99, Warszawa, tel. 28-87-23, od 10-13.

**Sprzedam** wiele ciekawych schematów urządzeń elektronicznych (przystawka zmieniająca odbiornik telewizyjny w oscyloskop, wykrywacze metali itp.). Informacja po otrzymaniu koperty + znaczki za 30 zł. Przybysz, ul. Szkolna 2, 58-550 Bierutów.

**Naprawa** – regeneracja głośników krajowych i zagranicznych. Organowo-gitarowy efekt muzyczny typu „Horus” o brzmieniu chóralnym i katedralnym. Wysyłam na zamówienie pocztą do oceny osobistej. Szczegółowe informacje listownie: „Radiomechanika”, ul. Królewska 20, 05-230 Kobyłka k. W-wy.

**HOBBY ELEKTRONIKA**. Wysyłamy pocztą płytki drukowane do 40 ciekawych urządzeń elektronicznych ze szczegółową instrukcją. Nowoczesna elektronika w muzyce, zabawie, gospodarstwie, fotografii i sporcie. NOWOŚCI! Przyślij adres – otrzymasz katalog. Załącz znaczki za 25+5 zł. HOBBY ELEKTRONIKA, 00-975 Warszawa 12, skr. poczt. 72.

**Wysyłamy** zestawy do zmontowania (płytki + części) przystawki do miernika uniwersalnego. Przystawka daje dodatkowe zakresy: 0,001; 0,01; 0,1; 1; 5 mA oraz 0,01; 0,1; 1; 5; 10 V (100 kV/V) prądu stałego i zmiennego 30 Hz – 20 kHz. Do zapytania prosimy załączyć znaczki za 20 zł. Zakład Elektroniczny FANA, 00-950 Warszawa 1, skr. poczt. 964.

**Sprzedam** japońskie układy zegarowe – wskazanie dwunastogodzinne, alarm, timer, sleep itd. Zasilanie 40  $\mu$ A. Aplikacja jak 1203. Cena 3000 zł za układ. Kompatybilne wyświetlacze czerwone 8 mm – 1100, 13 mm – 2200, 18 mm – 2600 – ceny za 4 cyfry. Płytki drukowane do ww – 400 zł. Dodatkowe informacje – koperta zwrotna i znaczki za 20 zł. Cezary Czerniaków, skr. poczt. 233, 05-800 Pruszków.

**Kupię** transceiver fabryczny. Ryszard Bajerski, ul. Szeptyckiego 9, 44-240 Żory.

**Blok sygnałowy** telewizora T 55-01 color – zespół sterowania i inne kupię Stanisław Hodor, ul. Grochowska 24, 31-521 Kraków.

**Kupię** układy scalone U401B. Robert Gil, ul. Ciasna 11/2, 62-800 Kalisz.

**Kupię** układy LM308 – 2 szt., LM2901 – 1 szt., CA3130 – 1 szt., tranzystory 2N4117 – 2 szt., MPSA13 – 1 szt., MPSA20 – 6 szt., MPSA55 – 4 szt. lub ich odpowiedniki. Mirosław Gumiński, Podlesie Mleczkowskie 9, 26-552 Radom, p-ta Zakrzew.

**Sprzedam** oscyloskop typu OSA 601 z wkładką dwustrumieniową. Edward Nochowicz, ul. Kościuszki 44, 64-610 Rogoźno, tel. 147.

**Sprzedam** do Jowisza kineskop A56-615X na gwarancji, BZ2002, BR2010, płytki zdalnego sterowania. Kupię kwarc 1 MHz lub 1, 5, 2, 3 MHz albo 500, 250 kHz. Zbigniew Kamiński, ul. KEN 25/13, 48-300 Nysa.

**Kupię** dwa układy MCY7855N lub ich odpowiedniki, 8253A oraz klawiaturę do mikrokomputera. Sprzedam AY-3-8610. Oferty z ceną: Wołkowski, 64-920 Piła, skr. poczt. 187.

**Sprzedam** układy do gier TV: AY-3-8610, AY-3-8700, AY-3-8765. Janusz Guzik, ul. Armii Czerwonej 51a/21, 42-400 Zawiercie.

**Zakład Wzrostów Elektronicznych** wykonuje regeneratory testery kineskopów kolorowych i czarno-białych. Cena na 1985 r. – 24 000 zł. R. Dobrut, ul. Klary Zetkin 61/3, 50-310 Wrocław, tel. 21-41-43 (po godz. 15).

**Sprzedam** fotokomórki do systemów alarmowych. Podzwiercień, zasięg do 30 m. Komplet: nadajnik + odbiornik – 9000 zł. Także inne elementy systemów alarmowych. Informacje: Zbigniew Raabe, ul. Rakowiecka 22a m. 38, 02-521 Warszawa. Proszę załączyć kopertę z znaczkiem.

**Kupię** roczniki „Re” 1978–1983, układy: MC1203,  $\mu$ A723,  $\mu$ A758, UL1970, 80, UL1621, UCY7453, kwarc 27, 12 MHz. Artur Zimny, ul. Gwiaździsta 10/18, 66-408 Gorzów Wlkp.



wartość, podaje liczbę sztuk wyrobów o wymiarach przekraczających granice tolerancji, a także drukuje histogramy rozkładu parametrów. Obróbce statystycznej można poddawać do 1000 wyników pomiarów.

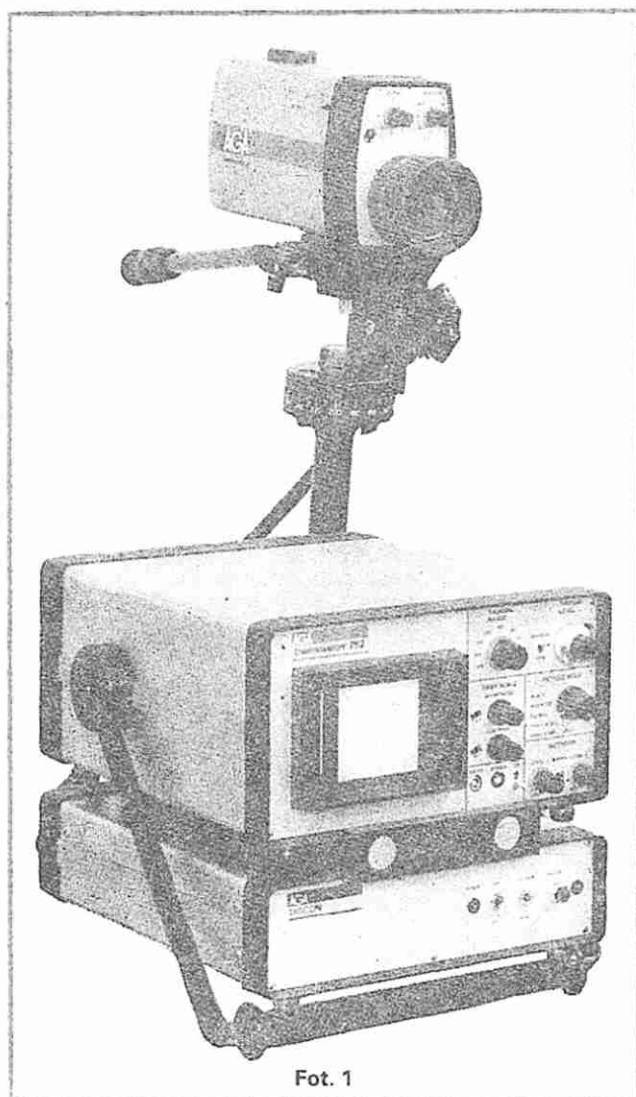
# **NOWY SPOSÓB WAŻENIA**

Problem ważenia ciężkich przedmiotów jest zawsze kłopotliwy wiąże się bowiem z koniecznością transportowania przedmiotu do wagi, zważenia i ponownego transportowania do miejsca przeznaczenia, np. do magazynu. Czynność ważenia udało się znakomicie uprościć za pomocą elektronicznej cyfrowej wagi dźwigniowej, wbudowanej w zespół haka do dźwigu (fot. 7). Tak skonstruowana waga, produkowana przez austriacką firmę EHP, eliminuje niedogodności związane z transportowaniem towaru do stanowiska ze zwykłą wagą. Ważenie odbywa się „po drodze”, gdyż ciężkie przedmioty są z reguły przemieszczane za pomocą dźwigu.

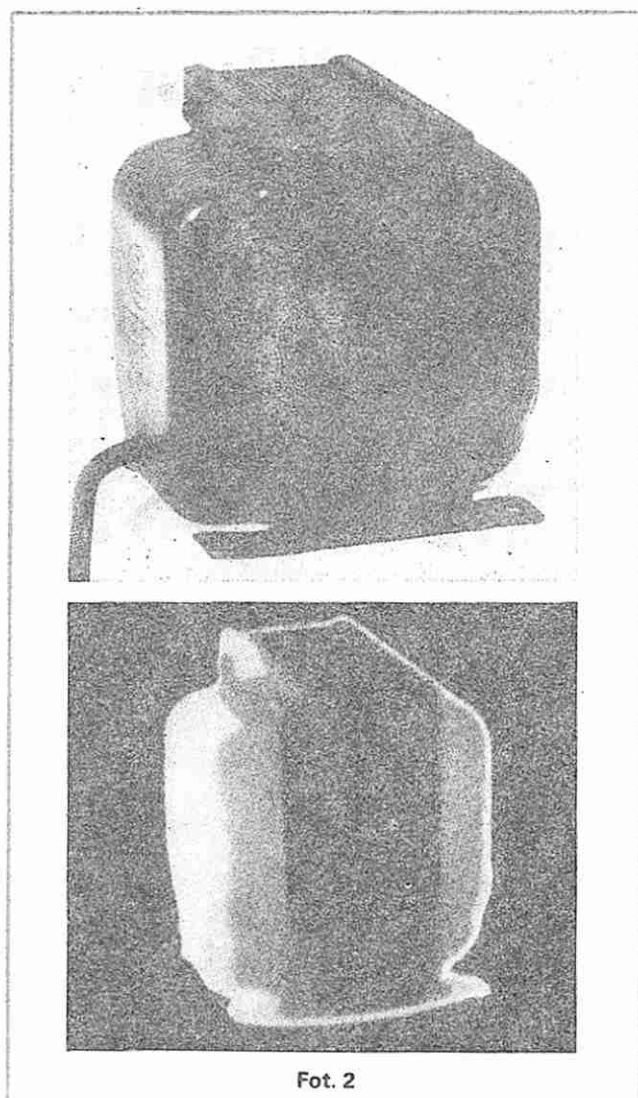
Elektroniczna waga cyfrowa ma jeszcze inne zalety. Pomiar ciężaru odbywa się za pomocą mechanicznego czujnika siły bez udziału jakichkolwiek części ruchomych, ulegających naturalnemu zużyciu. Uzyskano bardzo dużą dokładność  $\pm 0,1\%$  wartości maksymalnej zakresu pomiarowego. Wskaźnik ma duże wymiary – cyfry o wysokości 50 mm mogą być odczytywane z odległości do 50 m. Cyfrowy wskaźnik eliminuje błąd odczytu powodowany paralaksą. Dzięki zdalnemu sterowaniu o zasięgu 20 m można wagę tarować prowadząc wskazania do zera. Można tę zaletę wykorzystywać np. podczas kontroli ilości płynnego żeliwa wylewanego z zawieszanej na dźwigu

wanny. Wskazania będą wtedy oznaczone znakiem „minus”. Waga jest zasilana z umieszczonych wewnątrz niej wymiennych akumulatorów, wystarczających na 16 lub 24 godzin pracy. Do wyposażenia należy urządzenie „Telecontrol 2000”, współpracujące z wagą bezprzewodowo (maksymalna odległość 1000 m), wyposażone we wskaźniki i drukarkę, podające najważniejsze dane: ważony ciężar, datę pomiaru, liczbę sztuk ważonych przedmiotów, numer partii towaru itp. Urządzenie to jest dostosowane do współpracy z komputerem. Produkowane są wagi o różnych obciążalnościach od 1000–30 000 kg.

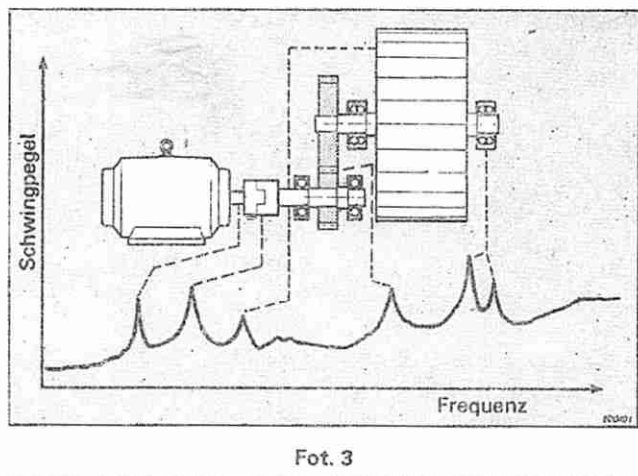
*inż. Janusz Justat.*



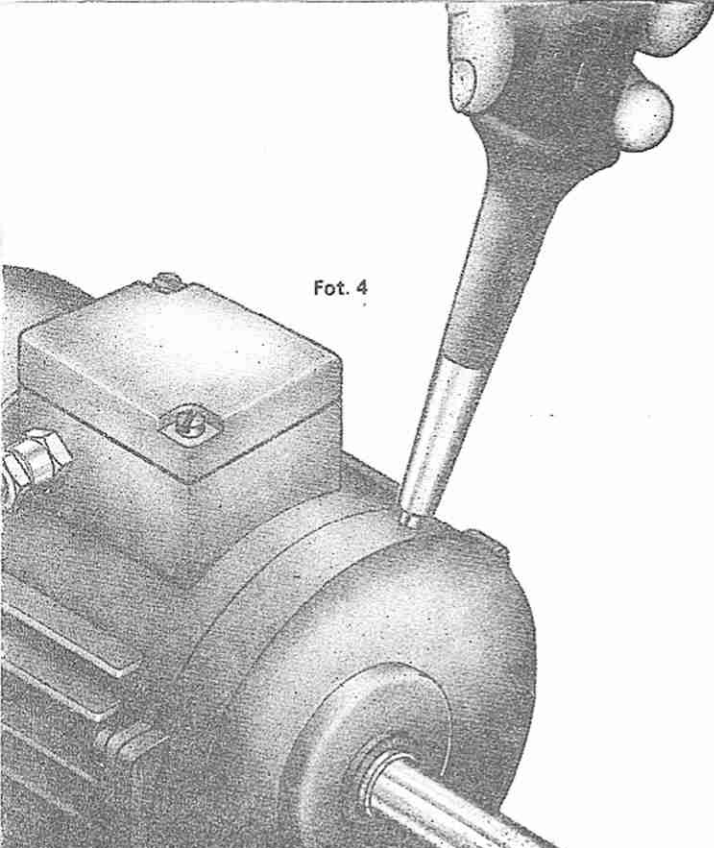
Fot. 1



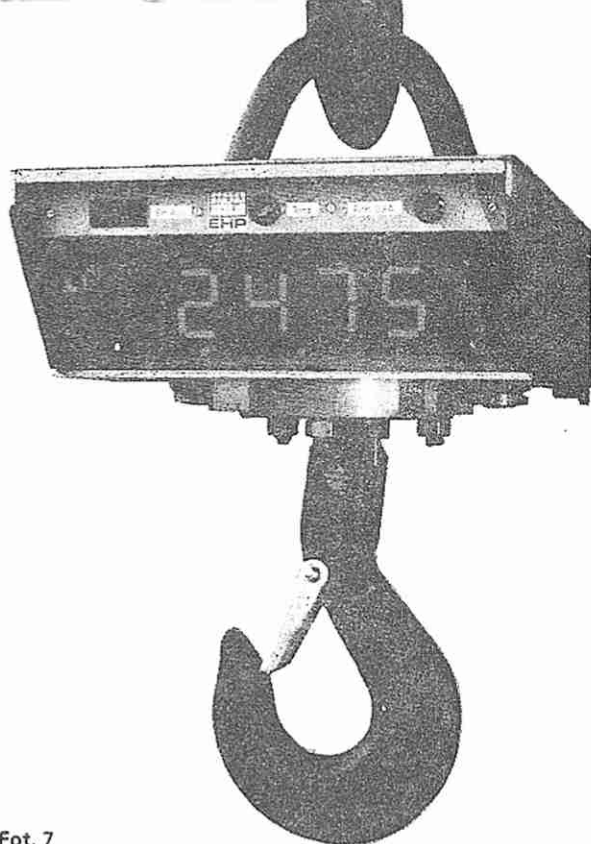
Fot. 2



Fot. 3



Fot. 4



Fot. 7

Fot. 6

Fot. 5

